



TUGAS AKHIR - TM 141585

KARAKTERISASI UNJUK KERJA *BURNER GAS TYPE PARTIALLY PREMIXED* BERBAHAN BAKAR SYNGAS BIOMASSA SERBUK KAYU DENGAN VARIASI *PRIMARY DAN SECONDARY AIR*

FITRIA RACHMAWATI
NRP 2113 105 038

Dosen Pembimbing
Dr. Bambang Sudarmanta, ST., MT

JURUSAN TEKNIK MESIN
Fakultas Teknologi Industri
Institut Teknologi Sepuluh Nopember
Surabaya 2016



FINAL PROJECT - TM 141585

**PERFORMANCE CHARACTERIZATION OF BURNER GAS
TYPE PARTIALLY PREMIXED BIOMASS SYNGAS POWDER
WOOD FUEL BASED WITH VARIATION OF PRIMARY AND
SECONDARY AIR**

**FITRIA RACHMAWATI
NRP 2113 105 038**

**Academic Supervisor
Dr. Bambang Sudarmanta, ST., MT**

**DEPARTMENT OF MECHANICAL ENGINEERING
Faculty of Industrial Technology
Sepuluh Nopember Institute of Technology
Surabaya 2016**

**KARAKTERISASI UNJUK KERJA BURNER GAS TYPE
PARTIALLY PREMIXED BERBAHAN BAKAR SYNGAS
BIOMASSA SERBUK KAYU DENGAN VARIASI
PRIMARY DAN SECONDARY AIR**

TUGAS AKHIR

Diajukan Untuk Memenuhi Salah Satu Syarat

Memperoleh Gelar Sarjana Teknik

pada

Bidang Studi Konversi Energi

Program Studi S-1 Jurusan Teknik Mesin

Fakultas Teknologi Industri

Institut Teknologi Sepuluh Nopember

Oleh :

FITRIA RACHMAWATI

Nrp. 2113 105 038

Disetujui oleh Tim Penguji Tugas Akhir :

1. Dr.Bambang Sudarmanta,ST,MT
(NIP. 197301161997021001)


.....(Pembimbing)

2 Ary Bachtiar K P, ST, MT, PhD
(NIP. 197105241997021001)(Penguji I)

3. Dr. Wawan Aries Widodo, ST, MT
(NIP. 197104051997021001)(Penguji II)

4. Bambang Arip D.,ST,M.Eng,PhD
(NIP. 197804012002121001)(Penguji III)

**SURABAYA
JANUARI, 2016**

**KARAKTERISASI UNJUK KERJA BURNER GAS TYPE
PARTIALLY PREMIXED BERBAHAN BAKAR SYNGAS
BIOMASSA SERBUK KAYU DENGAN VARIASI
PRIMARY DAN SECONDARY AIR**

Nama Mahasiswa : Fitria Rachmawati

NRP : 2113105038

Jurusan : S1 Teknik Mesin FTI – ITS

Dosen pembimbing : Dr. Bambang Sudarmanta, ST. MT.

ABSTRAK

Saat ini biomassa serbuk kayu menjadi salah satu sumber energi alternatif yang cukup melimpah namun banyak menimbulkan masalah dalam penanganannya bila dibiarkan menumpuk, membosuk dan dibakar yang dapat berdampak negatif terhadap lingkungan. Sumber energi alternatif tersebut dapat dimanfaatkan dalam dunia industri. Salah satu industri yang memanfaatkan energi biomassa adalah industri pembuatan karbon aktif. Dalam pembuatan karbon aktif dibutuhkan suhu pemanasan atau pembakaran yang tinggi dan memerlukan proses lanjutan untuk meningkatkan nilai kalor pada gasifikasi.

Penelitian ini dilakukan di Laboratorium Teknik Pembakaran dan Bahan Bakar Teknik Mesin, ITS. Burner ini untuk proses pembuatan karbon aktif dengan bahan bakar syngas biomassa serbuk kayu. Metode yang digunakan adalah dengan pengaturan variasi penambahan primary dan secondary air dengan variasi $\dot{m}_{primary}$ sebesar 0,01; 0,015; 0,02; 0,025; 0,03 (kg/s) dan $\dot{m}_{secondary}$ sebesar 0,04; 0,05; 0,06; 0,07; 0,08 (kg/s) yang sumber udaranya dihasilkan oleh blower. Tipe blower yang digunakan adalah blower sentrifugal. Cara memvariasikan primary dan secondary air ini dengan cara mengatur tegangan voltage regulator dan tekanan. Variasi tekanan yang digunakan adalah 0,2 bar sampai 1 bar dengan kenaikan 0,2 bar. Kemudian

diperoleh perbedaan ketinggian red water yaitu Δl pada masing-masing inclined manometer syngas dan udara.

Dari penelitian ini didapatkan burner yang memiliki temperatur tertinggi sebesar 478°C dengan perbandingan udara $\dot{m}_{\text{primary}}=0,015 \text{ kg/s}$ dan $\dot{m}_{\text{secondary}}=0,06 \text{ kg/s}$ pada tekanan 1 bar, Daya burner tertinggi terdapat pada posisi dengan tekanan syngas 1 bar pada perbandingan udara $\dot{m}_{\text{primary}}=0,015 \text{ kg/s}$ dan $\dot{m}_{\text{secondary}}=0,07 \text{ kg/s}$ sebesar $141,6452 \text{ kW}$., SFC tertinggi terdapat pada posisi perbandingan udara $\dot{m}_{\text{primary}}=0,025 \text{ kg/s}$ dan $\dot{m}_{\text{secondary}}=0,05 \text{ kg/s}$, dan tekanan 1 bar yaitu sebesar $1,0592 \text{ kg/(kWh)}$., dan Efisiensi burner tertinggi terdapat pada posisi perbandingan udara $\dot{m}_{\text{primary}}=0,015 \text{ kg/s}$ dan $\dot{m}_{\text{secondary}}=0,06 \text{ kg/s}$ dan tekanan 0,2 bar, yaitu sebesar $0,3930$ atau $39,30\%$ serta variasi untuk unjuk kerja burner gas type partially premixed terbaik adalah dengan perbandingan udara $\dot{m}_{\text{primary}}=0,015 \text{ kg/s}$ dan $\dot{m}_{\text{secondary}}=0,07 \text{ kg/s}$ serta visualisasi api terbaik pada posisi perbandingan udara $\dot{m}_{\text{primary}}=0,015 \text{ kg/s}$ dan $\dot{m}_{\text{secondary}}=0,06 \text{ kg/s}$.

Kata kunci: burner, biomassa, primary and secondary air, serbuk kayu, syngas , partially premixed.

***PERFORMANCE CHARACTERIZATION OF BURNER GAS
TYPE PARTIALLY PREMIXED BIOMASS SYNGAS
POWDER WOOD FUEL BASED WITH VARIATION OF
PRIMARY AND SECONDARY AIR***

*Student name : Fitria Rachmawati
NRP : 2113105038
Major : Bachelor of Mechanical Engineering FTI-ITS
Supervisor : Dr. Bambang Sudarmanta, ST. MT.*

ABSTRACT

In this day currently sawdust biomass become one of alternative energy sources are abundant yet given rise of problems in handling if allowed to accumulate dormant, decaying and burnt which have negative impact on the environment. That alternative energy sources can be utilized in the industrial world. One of the industries which using biomass energy is the industrial manufacture that make activated carbon. On the process of making activated carbon required heating or high combustion temperature and requires a continued process to improve the calorific value of the gasification.

This research was conducted at Mechanical Engineering Laboratory of Combustion and Fuels, ITS. This burner for the process of making activated carbon with sawdust biomass syngas fuel. The method is using addition of setting variations primary and secondary air with variation of \dot{m}_{primary} such as ; 0.01; 0,015; 0.02; 0,025; 0.03 (kg / s) and $\dot{m}_{\text{secondary}}$ 0.04; 0.05; 0.06; 0.07; 0.08 (kg / s) which is the air source produced by a blower. Blower-type that using in this research is centrifugal blower. To vary the primary and secondary water with regulating the voltage regulator and pressure. The variation of pressure used is 0.2 bar up to 1 bar with a rise of 0.2 bar. Then receive height difference Δl of the red water that each inclined manometer syngas and air.

From this research, the burner that has the highest temperature of 478 °C with air ratio $\dot{m}_{\text{primary}} = 0.015 \text{ kg} / \text{s}$ and $\dot{m}_{\text{secondary}} = 0.06 \text{ kg} / \text{s}$ is at a pressure of 1 bar, the burner power is highest at the position with syngas pressure of 1 bar at air ratio $\dot{m}_{\text{primary}} = 0.015 \text{ kg} / \text{s}$ and $\dot{m}_{\text{secondary}} = 0.07 \text{ kg} / \text{s}$ of 141,6452kW., SFC is highest at the position of \dot{m}_{primary} air ratio = 0.025 kg / s and $\dot{m}_{\text{secondary}} = 0.05 \text{ kg} / \text{s}$, and a pressure of 1 bar is equal to 1.0592 kg/ (kWh), and burner efficiency is highest at the position \dot{m}_{primary} air ratio = 0.015 kg / s and $\dot{m}_{\text{secondary}} = 0.06 \text{ kg} / \text{s}$ and a pressure of 0.2 bar, which is 0.3930 or 39.30% and then a variation to the performance type partially premixed gas burner is best to air ratio $\dot{m}_{\text{primary}} = 0.015 \text{ kg} / \text{s}$ and $\dot{m}_{\text{secondary}} = 0.07 \text{ kg} / \text{s}$ and the visualization of the best fire on the position of the air ratio $\dot{m}_{\text{primary}} = 0.015 \text{ kg} / \text{s}$ and $\dot{m}_{\text{secondary}} = 0.06 \text{ kg} / \text{s}$.

Keywords: burners, biomass, primary and secondary air, sawdust, syngas, partially premixed.

KATA PENGANTAR

Rasa syukur, hormat dan pujian penulis sampaikan kepada Allah SWT yang telah memberikan hidup, teguran, harapan, semangat dan kekuatan sehingga penulis dapat menyelesaikan laporan tugas akhir ini dengan judul:

KARAKTERISASI UNJUK KERJA BURNER GAS TYPE PARTIALLY PREMIXED BERBAHAN BAKAR SYNGAS BIOMASSA SERBUK KAYU DENGAN VARIASI PRIMARY DAN SECONDARY AIR

Keberhasilan tugas akhir ini tidak lepas dari dukungan berbagai pihak. Dengan ini saya mengucapkan terima kasih atas bantuan, petunjuk, arahan, dan bimbingan kepada yang terhormat:

1. Ayah Moch. Syahroji, Ibu Endang Iriani, dan Adikku, Roni Noor Adam yang selalu memahami, memberikan dukungan moral maupun matriil, dan doa yang tulus. Semoga penulis bisa membanggakan keluarga dan menjadi orang yang bermanfaat bagi keluarga dan lingkungan.
2. Bapak Dr. Bambang Sudarmanta, ST., MT., sebagai dosen pembimbing atas segala bimbingan dan bantuannya hingga penulis bisa menyelesaikan tugas akhir dengan baik.
3. Bapak Ir. Bambang Pramujati, Msc.Eng, PhD selaku Ketua Jurusan S1 Teknik Mesin FTI-ITS
4. Bapak Prof. Dr. Ir. Sutardi, M.Eng., sebagai dosen wali.
5. Bapak Ary Bachtiar K. P., ST. MT., Bambang Arip Dwiyantoro, ST., M.Eng, PhD., dan Dr. Wawan Aries Widodo sebagai pembahas dan penguji mulai saat seminar sampai ujian sidang Tugas Akhir saya.
6. Seluruh dosen yang telah memberikan ilmu yang tak ternilai dan karyawan yang memberikan banyak kemudahan dan kerjasama selama ini.

7. Teman seperjuangan dalam Tugas Akhir ini Irvan Hedapratama, Falah, Wisnu, Dicky, Rasyid, Ahmed, Firman, Pasca, Niam, Galih dan Mirza.
8. Teman-teman di Lab. Teknik Pembakaran dan Bahan Bakar, ITS yang telah banyak membantu selama pengerjaan Tugas Akhir ini.
9. Teman-teman Lintas Jalur S1 Teknik Mesin 2013 semester ganjil, edwin, juli, filipi, alif, ina, surya, joko, dian, ayu, robin, edo, septi, eza, hayu, dan lainnya yang tidak dapat disebutkan semua.

Saya mengucapkan terima kasih atas segala bantuan, bimbingan, dan fasilitas yang telah diberikan kepada saya hingga terselesaikannya laporan tugas akhir ini. Saya menyadari bahwa penelitian ini masih jauh dari sempurna, oleh karena itu saya mengharapkan saran dan kritik untuk perbaikan di masa mendatang. Semoga tugas akhir ini bisa memberikan manfaat bagi masyarakat luas.

Penulis

DAFTAR ISI

ABSTRAK.....	i
ABSTRACT	iii
KATA PENGANTAR	v
DAFTAR ISI.....	vii
DAFTAR GAMBAR	xi
DAFTAR TABEL.....	xiv
BAB I PENDAHULUAN	
1.1 Latar Belakang.....	1
1.2 Perumusan Masalah.....	3
1.3 Batasan Masalah	4
1.4 Tujuan Penelitian.....	4
1.5 Manfaat Penelitian.....	4
1.6 Sistematika Penulisan Laporan.....	5
BAB II DASAR TEORI	
2.1 Biomassa.....	7
2.1.1 Karakteristik Serbuk Kayu	8
2.1.2 Gasifikasi Biomassa	9
2.2 Burner	11
2.3 Bahan Bakar	12
2.3.1 Jenis-jenis bahan bakar.....	13
2.4 Teori Pembakaran.....	13

2.4.1	Perhitungan stoikiometri kebutuhan udara	14
2.4.2	Pembakaran non-stoikiometri.....	15
2.4.3	<i>Primary air</i> dan <i>secondary air</i>	16
2.4.4	Pembakaran aktual.....	18
2.4.5	Api	19
2.4.6	Klasifikasi api	21
2.4.7	Udara Pembakaran.....	23
2.4	Indikator Performance Burner	25
2.4.1	Distribusi temperatur	25
2.4.2	Daya burner.....	26
2.4.3	Konsumsi bahan bakar spesifik (SFC).....	27
2.4.4	Efisiensi <i>burner</i>	27
2.5	Campuran Udara - Bahan Bakar	28
2.5.1	Rasio Udara-Bahan Bakar (Air-fuel Ratio/AFR)	28
2.5.2	Rasio Ekuivalensi	29
2.5.3	Udara Berlebih (Excess Air).....	30
2.6	Peneliti Terdahulu.....	30
2.6.1	Penelitian Oleh Mahatma Pandima	30
2.6.2	Peneliti oleh Surjosatyo	32
2.6.3	Peneliti Oleh Yong Liu	33
BAB III METODOLOGI PENELITIAN		
3.1	Tahapan Pengerjaan Tugas Akhir	37
3.2	Penjelasan Flowchart Pengerjaan Tugas Akhir	38
3.2.1	Tinjauan Pustaka	38
3.2.2	Pengamatan Instalasi	38

3.2.3 Perancangan Peralatan Penelitian	38
3.3 Perencanaan dan perencanaan eksperimen	45
3.3.1 Parameter Percobaan	45
3.3.2 Langkah Persiapan Alat.....	47
3.3.3 Langkah Pengujian.....	48
3.3.4 Langkah pengambilan data.....	48
3.4 Flowchart Percobaan	50

BAB IV ANALISA DATA DAN PEMBAHASAN

4.1 Data hasil penelitian	51
4.1.1 Properties Bahan Bakar	51
4.1.2 Analisa Reaksi Pembakaran	51
4.1.3 Low Heating Value (LHV) syngas.....	54
4.2 Perhitungan Data	55
4.2.1 Perhitungan <i>Air Fuel Ratio (AFR)</i>	56
4.2.2 Perhitungan entalpi pembakaran	56
4.2.3 Perhitungan Energi Pembakaran.....	60
4.2.4 Perhitungan daya burner	60
4.2.5 Efisiensi Burner	60
4.2.6 SFC burner.....	60
4.3 Analisa Grafik.....	61
4.3.1 Grafik fungsi temperatur dan tekanan 0.015 kg/s <i>primary</i> dan 0.04-0,06 kg/s <i>secondary</i>	61
4.3.2 Grafik fungsi tekanan dan daya <i>burner</i> 0,015 kg/s <i>primary</i> dan 0,04-0,08 kg/s <i>secondary</i>	64
4.3.3 Grafik fungsi tekanan dan efisiensi <i>burner</i> 0,015 kg/s <i>primary</i> dan 0,04-0,08 kg/s <i>secondary</i>	67

4.3.4 Grafik fungsi tekanan dan SFC <i>burner</i> 0,015 kg/s <i>primary</i> dan 0,04-0,08 kg/s <i>secondary</i>	68
4.4 Visualisasi Nyala Api	69
4.4.1 Visualisasi Nyala Api 0,01 kg/s <i>primary</i> dan 0,04-0,08 kg/s <i>secondary</i>	70
4.4.2 Visualisasi Nyala Api 0,015 kg/s <i>primary</i> dan 0,04-0,08 kg/s <i>secondary</i>	73
4.4.3 Visualisasi Nyala Api 0,02 kg/s <i>primary</i> dan 0,04-0,08 kg/s <i>secondary</i>	76
4.4.4 Visualisasi Nyala Api 0,025 kg/s <i>primary</i> dan 0,04-0,08 kg/s <i>secondary</i>	79
4.4.5 Visualisasi Nyala Api 0,03 kg/s <i>primary</i> dan 0,04-0,08 kg/s <i>secondary</i>	82

BAB V KESIMPULAN DAN SARAN

5.1 Kesimpulan	85
5.2 Saran	86

DAFTAR PUSTAKA

LAMPIRAN

BIOGRAFI PENULIS

DAFTAR GAMBAR

Gambar 2. 1 Jenis Proses Biomassa.....	7
Gambar 2. 2 Jenis Gasifier.....	10
Gambar 2. 3 Premixed Burner	11
Gambar 2. 4 Diffusion mixed	11
Gambar 2. 5 Partially Premixed	12
Gambar 2. 6 Staged Burner.....	12
Gambar 2. 7 Aliran udara <i>primary air</i> dan <i>secondary air</i> pada <i>burner</i>	17
Gambar 2. 8 <i>Furnace</i> dengan natural draft (Lieberman)	18
Gambar 2. 9 Segitiga Api.....	20
Gambar 2. 10 Model pencampuran (a) Premix, (b) Difusi .	22
Gambar 2. 11 Laminar <i>Turbulent Flame</i>	23
Gambar 2. 12 Skema Reaksi Pembakaran	26
Gambar 2. 13 Distribusi temperatur pada tekanan gas 1,2 bar	31
Gambar 2. 14 Grafik Daya Burner.....	32
Gambar 2. 15 Skema pengujian burner gas	33
Gambar 3. 1 Flowchart Pengerajan Tugas Akhir.....	37
Gambar 3. 2 Skema Penelitian	39
Gambar 3. 3 <i>Burner</i>	39
Gambar 3. 4 Blower Sentrifugal	40
Gambar 3. 5 Pemantik Api.....	40
Gambar 3. 6 <i>Thermocouple Type K</i>	41
Gambar 3. 7 Pressure Gauge	41
Gambar 3. 8(a) Konfigurasi <i>pitot static tube</i> (b) <i>Inclined Manometer</i> $\Theta= 15^\circ$	42
Gambar 3. 9 Voltage Regulator	45

Gambar 3. 10 Flowchart Percobaan	50
Gambar 3. 11 Flowchart Percobaan <i>Secondary</i>	50

Gambar 4. 1 Grafik temperatur dan tekanan 0,015 kg/s <i>primary</i> dan 0,04-0,06 kg/s <i>secondary</i>	62
Gambar 4. 2 Grafik daya <i>burner</i> 0,015 kg/s <i>primary</i> dan 0,04-0,08 kg/s <i>secondary</i>	66
Gambar 4. 3 Grafik efisiensi <i>burner</i> 0,015 kg/s <i>primary</i> dan 0,04-0,08 kg/s <i>secondary</i>	67
Gambar 4. 4 Grafik SFC <i>burner</i> 0,015 kg/s <i>primary</i> dan 0,04-0,08 kg/s <i>secondary</i>	68
Gambar 4. 5 Pengukuran distribusi temperatur	69
Gambar 4. 6 Visualisasi nyala api pada (a) 0,01 kg/s <i>primary</i> dan 0,04 kg/s <i>secondary</i> (b) 0,01 kg/s <i>primary</i> dan 0,05 kg/s <i>secondary</i> (c) 0,01 kg/s <i>primary</i> dan 0,06 kg/s <i>secondary</i> (d) 0,01 kg/s <i>primary</i> dan 0,07 kg/s <i>secondary</i> (e) 0,01 kg/s <i>primary</i> dan 0,08 kg/s <i>secondary</i>	72
Gambar 4. 7 Visualisasi nyala api pada (a) 0,015 kg/s <i>primary</i> dan 0,04 kg/s <i>secondary</i> (b) 0,015 kg/s <i>primary</i> dan 0,05 kg/s <i>secondary</i> (c) 0,015 kg/s <i>primary</i> dan 0,06 kg/s <i>secondary</i> (d) 0,015 kg/s <i>primary</i> dan 0,07 kg/s <i>secondary</i> (e) 0,015 kg/s <i>primary</i> dan 0,08 kg/s <i>secondary</i>	75
Gambar 4. 8 Visualisasi nyala api pada (a) 0,02 kg/s <i>primary</i> dan 0,04 kg/s <i>secondary</i> (b) 0,02 kg/s <i>primary</i> dan 0,05 kg/s <i>secondary</i> (c) 0,02 kg/s <i>primary</i> dan 0,06 kg/s <i>secondary</i> (d) 0,02 kg/s <i>primary</i> dan 0,07 kg/s <i>secondary</i> (e) 0,02 kg/s <i>primary</i> dan 0,08 kg/s <i>secondary</i>	78
Gambar 4. 9 Visualisasi nyala api pada (a) 0,025 kg/s <i>primary</i> dan 0,04 kg/s <i>secondary</i> (b) 0,025 kg/s <i>primary</i> dan 0,05 kg/s <i>secondary</i> (c) 0,025 kg/s <i>primary</i> dan 0,06 kg/s <i>secondary</i> (d) 0,025 kg/s <i>primary</i> dan 0,07 kg/s <i>secondary</i> (e) 0,025 kg/s <i>primary</i> dan 0,08 kg/s <i>secondary</i>	81

Gambar 4. 10Visualisasi nyala api pada (a) 0,03 kg/s *primary*
dan 0,04 kg/s *secondary* (b) 0,03 kg/s *primary* dan 0,05 kg/s
secondary (c) 0,03 kg/s *primary* dan 0,06 kg/s *secondary* (d)
0,03 kg/s *primary* dan 0,07 kg/s *secondary* (e) 0,03 kg/s
primary dan 0,08 kg/s *secondary*84

DAFTAR TABEL

Tabel 2. 1 Komposisi syngas serbuk kayu	10
Tabel 2. 2 Tabel komposisi Udara di Atmosfer	24
Tabel 2. 3 Perbandingan hasil eksperimental.....	33
Tabel 2. 4 <i>Experimental Parameters Associated With Each Primary Air Ratio</i>	34
Tabel 2. 5 <i>Experimental Parameters Associated With Each Inner Secondary Air Ratio</i>	34
Tabel 3. 1 Perencanaan percobaan	46
Tabel 3. 2 Rancangan Eksperimen.....	46
Tabel 3. 3 <i>Mapping Rancangan Eksperimen</i>	47
Tabel 4. 1 Besarnya komposisi kandungan <i>syngas</i> serbuk kayu.....	51
Tabel 4. 2 <i>Molecular Weight</i> pada masing-masing komposisi <i>syngas</i> serbuk kayu	52
Tabel 4. 3 <i>Low Heating Value (LHV)</i> [17]	55
Tabel 4. 4 Koefisien reaktan kandungan gas	59

BAB I

PENDAHULUAN

1.1 Latar Belakang

Dalam kehidupan sehari-hari, aktivitas manusia tidak pernah lepas dari kemajuan teknologi dan kebutuhan energi. Dengan banyaknya permintaan akan kebutuhan energi, maka menimbulkan masalah yaitu jumlah energi yang semakin terbatas. Oleh karena itu, krisis energi saat ini menuntut manusia agar dapat menghasilkan energi alternatif dari berbagai sumber. Salah satu cara untuk menghasilkan energi alternatif adalah dengan cara memanfaatkan limbah serbuk kayu.

Data dari Departemen Kehutanan dan Perkebunan untuk tahun 1999/2000 menunjukkan bahwa produksi kayu lapis Indonesia mencapai 4,61 juta m³, sedangkan kayu gergajian mencapai 2,6 juta m³ per tahun. Dengan asumsi bahwa jumlah limbah kayu yang dihasilkan mencapai 61%, maka diperkirakan limbah kayu yang dihasilkan mencapai lebih dari 4 juta m³. Dari data tersebut diatas menunjukkan bahwa potensi limbah kayu cukup besar dan ternyata hanya merupakan bagian prosentase kecil saja kayu yang dieksplorasi dapat digunakan secara maksimal dan selebihnya berupa limbah kayu. Melihat masih besarnya limbah yang dihasilkan dari industri penggergajian kayu tersebut setiap tahunnya dan apabila dibiarkan begitu saja tanpa ada pemanfaatan secara efisien, dikhawatirkan limbah kayu tersebut dapat mencemari lingkungan sekitarnya [1].

Limbah serbuk gergaji yang dihasilkan dari industri penggergajian masih dapat dimanfaatkan untuk berbagai keperluan, diantaranya sebagai media tanam, bahan baku *furniture* dan bahan baku briket arang. Salah satu usaha meningkatkan nilai tambah dari serbuk gergajian ini adalah dibuat karbon aktif[2].

Proses gasifikasi telah dikenal sejak abad lalu untuk mengolah batu bara, gambut atau serbuk kayu yang menjadi bahan bakar gas yang kini mulai dimanfaatkan. Secara sederhana proses gasifikasi dapat dikatakan sebagai reaksi kimia pada temperatur tinggi antara biomassa dan udara[3].

Proses pembuatan arang aktif dapat dibagi menjadi dua jenis yaitu pengaktifan secara fisika dan secara kimia. Pengaktifan secara fisika pada dasarnya dilakukan dengan cara memanaskan bahan baku pada suhu yang cukup tinggi (600 – 1000 C) pada kondisi miskin udara (oksigen), kemudian pada suhu tinggi tersebut dialirkan media pengaktif seperti uap air dan CO₂. Sedangkan pada pengaktifan kimiawi, bahan baku sebelum dipanaskan dicampur dengan bahan kimia tertentu seperti KOH, NaOH, K₂CO₃ dan lain sebagainya. Biasanya pengaktifan secara kimiawi tidak membutuhkan suhu tinggi seperti pada pengaktifan secara fisis, namun diperlukan tahap pencucian setelah diaktifkan untuk membuang sisa – sisa bahan kimia yang dipakai[4].

Untuk industri besar dan terpadu, limbah serbuk kayu gergajian sudah dimanfaatkan menjadi bentuk briket arang dan arang aktif yang dijual secara komersial. Namun untuk industri penggergajian kayu skala industri kecil yang jumlahnya mencapai ribuan unit dan tersebar di pedesaan, limbah ini belum dimanfaatkan secara optimal[5].

Ada empat macam tipe *burner* diantaranya adalah *premixed burner* adalah pencampuran antara oksidator dan bahan bakar pada *burner* tipe ini dilakukan sebelum dipantik, *diffusion-mixed* adalah kebalikan dari *premixed* yaitu tidak dilakukan pencampuran terlebih dahulu sebelum campuran dipantik, *partially premixed* merupakan gabungan antara *premixed* dan *diffusion-mixed* *burner* dan *staged burner* memiliki banyak tingkat/tahap pencampuran antara udara dan bahan bakar[6].

Pengaruh unjuk kerja *burner* terhadap variasi *primary air* dan *secondary air* melalui pengaturan jumlah suplai udara

yang dimasukkan pada *burner*. *Setting burner* yang benar dan ditambah dengan pencampuran udara dan bahan bakar yang baik akan menghasilkan suhu nyala api yang maksimal serta bentuk nyala yang baik (padat dan mengerucut). Udara sekunder yang terlalu banyak ataupun terlalu sedikit akan menghasilkan pembakaran yang buruk. Sejumlah kecil udara *excess* diperlukan untuk menghasilkan pembakaran yang sempurna, sebaliknya terlalu banyaknya udara *excess* akan menurunkan suhu nyala api dan efisiensi *furnace*[7].

Pada proposal tugas akhir ini akan membahas tentang karakterisasi unjuk kerja *burner type partially premixed* berbahan bakar *syngas* biomassa serbuk kayu dengan variasi *primary & secondary air*. Pengaruh perbandingan jumlah udara terhadap burner adalah jika rasio perbandingan udara *primary air* dan *secondary air* sudah tepat maka kualitas pembakaran dan api lebih optimum dan daya yang dihasilkan lebih tinggi serta emisi yang dihasilkan rendah. Dengan dilakukannya penelitian ini dapat diharapkan dapat menghasilkan rancangan *burner* yang memiliki perbandingan *primary and secondary air* yang tepat sehingga mendapatkan distribusi temperatur api sebesar antara 600 - 1000 °C, serta diperoleh daya burner, efisiensi, air fuel ratio (AFR) dan konsumsi bahan bakar spesifik.

1.2 Perumusan Masalah

Unjuk kerja burner gas dipengaruhi oleh kesesuaian antara konsumsi bahan bakar gas, *primary* dan *secondary air*, sehingga permasalahan dirumuskan sebagai berikut:

1. Bagaimana mendapatkan optimasi unjuk kerja dengan pencampuran bahan bakar dan udara melalui variasi komposisi *primary* dan *secondary air* untuk *type burner partially premixed*.
2. Bagaimana mendapatkan visualisasi api pada *burner type partially premixed*.

1.3 Batasan Masalah

Batasan masalah yang diambil pada tugas akhir ini adalah sebagai berikut:

1. Gas *burner* yang digunakan merupakan tipe *partially premixed* dengan penambahan *secondary air* melalui *swirl*.
2. Bahan bakar yang digunakan adalah *syngas* hasil reaktor biomassa dari serbuk kayu.
3. Kondisi suhu dan kelembaban udara dianggap tetap, dilakukan pada ruangan yang dikondisikan.
4. Kondisi instalasi dianggap tidak ada kebocoran.

1.4 Tujuan Penelitian

Adapun tujuan yang ingin dicapai adalah sebagai berikut:

1. Untuk mendapatkan optimasi unjuk kerja dengan pencampuran bahan bakar dan udara melalui variasi komposisi *primary* dan *secondary air* untuk *type burner partially premixed*.
2. Untuk mendapatkan visualisasi nyala api pada *burner type partially premixed*.

1.5 Manfaat Penelitian

Penelitian tugas akhir ini memiliki manfaat antara lain sebagai berikut:

1. Dapat menghasilkan *burner* gas bahan bakar *syngas* dengan perfoma yang baik dan menghasilkan temperatur tinggi sehingga pemanfaatan *syngas* bisa bermanfaat untuk kebutuhan industri dan masyarakat secara umum.
2. Menambah pengetahuan seputar *burner* gas khususnya pada *type partially premixed*.

1.6 Sistematika Penulisan Laporan

Sistematika penulisan terdiri dari 3 bab yang masing-masing bab berisi sebagai berikut:

1. Bab 1 Pendahuluan, bab ini berisi latar belakang, rumusan masalah, batasan masalah, manfaat tugas akhir dan sistematika penulisan laporan.
2. Bab 2 Dasar Teori, bab ini berisi dasar-dasar ilmu yang mendukung pengerjaan tugas akhir.
3. Bab 3 Metodologi Penelitian, bab ini berisi tahapan-tahapan penelitian tentang *burner type partially premixed* serta langkah-langkah pengambilan data pada saat percobaan.
4. Bab 4 Analisa dan Pembahasan, bab ini berisi tentang analisa perhitungan yang diperlukan dalam penelitian, pembahasan grafik serta pembahasan visualisasi nyala api.
5. Bab 5 Kesimpulan dan Saran, pada bab ini berisi tentang kesimpulan dan saran dari penelitian yang telah dilakukan.

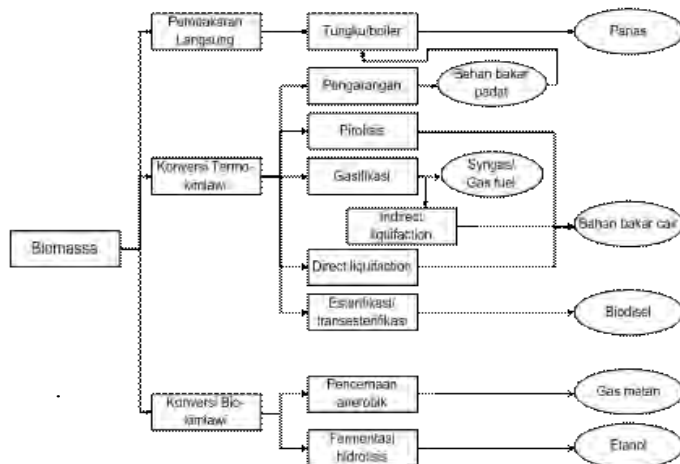
Halaman ini sengaja dikosongkan

BAB II

DASAR TEORI

1.1 Biomassa

Biomassa merupakan sumber energi terbarukan yang mengacu pada bahan biologis yang berasal dari organisme yang belum lama mati (dibandingkan dengan bahan bakar fosil). Sumber-sumber biomassa yang paling umum adalah bahan bakar kayu, limbah dan alkohol. Biomassa merupakan sumber energi terbarukan karena tanaman dapat kembali tumbuh pada lahan yang sama. Kayu saat ini merupakan sumber yang paling banyak digunakan untuk biomassa. Di Amerika Serikat, misalnya hampir berasal dari kayu sebagai bahan bakar.



Gambar 2. 1 Jenis Proses Biomassa

Ada tiga jenis proses yang digunakan untuk menkonversi biomassa menjadi bentuk energi yang berguna, yaitu: pembakaran langsung, konversi termokimiawi dan konversi biokimiawi. Pembakaran langsung merupakan teknologi yang paling sederhana karena pada umumnya biomassa telah dapat langsung dibakar.

Beberapa biomassa perlu dikeringkan terlebih dahulu dan didensifikasi untuk kepraktisan dalam penggunaan. Konversi termokimiawi merupakan teknologi yang memerlukan tenaga termal untuk memicu terjadinya reaksi kimia dalam bahan bakar. Sedangkan konversi biokimiawi merupakan teknologi konversi yang menggunakan bantuan mikroba dalam menghasilkan bahan bakar.

1.1.1 Karakteristik Serbuk Kayu

Serbuk gergaji kayu terbentuk dari zat – zat organik seperti sellulosa, hemisellulosa, lignin, pentosan, silika dan lain – lain. Sedangkan unsur pembentuknya sebagian besar terdiri dari Karbon (C), Hydrogen (H), Nitrogen (N), Oksigen (O₂), abu serta unsur - unsur lainnya. Pemanasan kayu hingga suhu sedikit diatas 100°C sudah menyebabkan peruraian thermal. Sekitar 270°C 10 peruraian thermal ini tidak membutuhkan sumber panas eksternal lagi karena proses menjadi eksotermis. Kayu terurai secara bertahap, hemisellulosa terdegradasi pada kisaran suhu 200 – 260°C, sellulosa pada suhu 240 – 350°C, dan lignin pada 280 – 500°C[8]. Kondisi – kondisi yang berpengaruh terhadap proses ini adalah :

1. Suhu pemasakan yang tinggi lebih dari 180°C akan menyebabkan degradasi sellulosa atau dapat mempersingkat waktu pemasakan. Sedangkan bila suhu pemasakan kurang dari 170°C kualitas yang akan dihasilkan dan rendemen akan menjadi turun untuk bahan baku tertentu. Untuk suhu pemasakan 170°C, Sodium Hydroxide (NaOH) melarutkan lignin sebanyak 87 %[9].
2. Waktu pemasakan pada pembuatan pulp batang rami dengan proses soda anthraquinon diperoleh hasil yang optimum pada 3,5 jam dan 4 jam[9].
3. Penambahan Bahan Kimia Pembuatan lignin dengan proses soda memiliki kelemahan, yaitu rendahnya selektifitas delignifikasi yang memungkinkan terjadinya degradasi

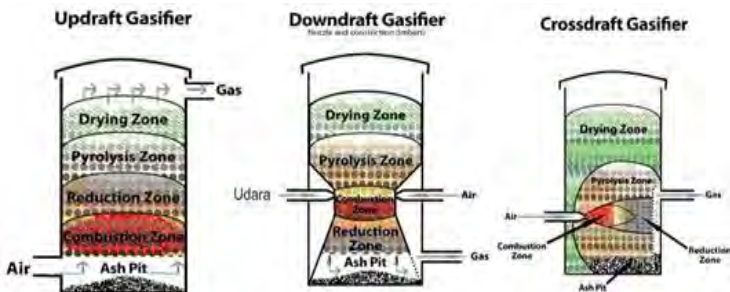
komponen karbohidrat secara berlebihan, sehingga dapat menurunkan sifat – sifat dan rendemen lignin.

1.1.2 Gasifikasi Biomassa

Secara sederhana, gasifikasi biomassa dapat didefinisikan sebagai proses untuk mengkonversi bahan baku biomassa padat menjadi bahan bakar gas atau bahan baku gas kimia (*syngas*). Untuk mengkonversi biomassa padat menjadi gas yang mudah terbakar, diperlukan bahan untuk mendorong reaksi kimia tersebut. Bahan ini utamanya adalah udara (N_2 , O_2), oksigen (O_2), H_2O , atau CO_2 diaplikasikan pada campuran. Udara (hanya O_2 yang bereaksi) dan O_2 membangkitkan panas melalui oksidasi dan peningkatan O_2 efektif menurunkan jumlah gas yang mudah terbakar.

Proses gasifikasi dapat dilihat sebagai konversi sebagai pembakaran, tetapi dengan komposisi oksigen yang jauh lebih sedikit dibandingkan pembakaran. Rasio oksigen yang tersedia dan jumlah oksigen yang dipakai untuk pembakaran penuh disebut sebagai *equivalence ratio*. Untuk *equivalence ratios* dibawah 0,1, proses tersebut dinamakan proses *pyrolysis* dan hanya fraksi sederhana dari energi biomassa yang terdapat pada produk gas. Sisanya menjadi arang dan *oily residues*. Apabila *equivalence ratio* berada diantara 0,2 dan 0,4 proses ini dinamakan gasifikasi yang tepat.

Proses gasifikasi untuk mendapatkan gas dari biomassa dinamakan gasifier. Ada beberapa contoh jenis gasifier antara lain: *updraft gasifier*, *downdraft gasifier* dan *fluidized bed gasifier*. Jenis gasifikasi ini dapat dilihat pada gambar dibawah ini.



Gambar 2. 2 Jenis Gasifier

Berikut data-data komposisi gas syngas serbuk kayu berdasarkan pengujian LPPM – ITS:

Tabel 2. 1 Komposisi syngas serbuk kayu

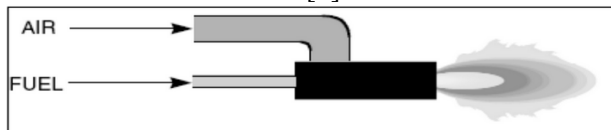
Komposisi	Persentase (% massa)
CH_4	1,81
CO_2	11,23
N_2	49,26
O_2	12,79
H_2	5,34
CO	19,57

1.2 Burner

Pembakar (*burner*) adalah alat yang digunakan untuk mereaksikan secara baik antara bahan bakar dengan oksidator sehingga dapat terjadi proses pembakaran. Pembakar (*burner*) merupakan komponen yang paling penting dalam industri, karena tanpa burner yang baik, akan terjadi pemborosan dari bahan bakar yang akan dipakai. Burner menurut tipe pencampurannya dapat dibagi menjadi :

1. *Premixed burner*

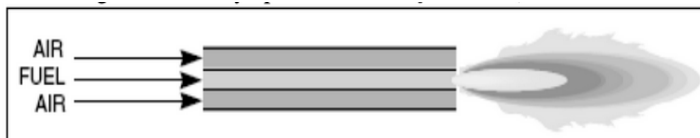
Pencampuran antara oksidator dan bahan bakar pada *burner* tipe ini dilakukan sebelum dipantik. Hasil dari burner tipe ini adalah api yang lebih pendek dan intens jika di bandingkan dengan pembakaran secara difusi. Temperatur hasil pembakaran dengan *premixed burner* ini lebih tinggi di bandingkan dengan difusi. Kerugian *burner* tipe ini adalah besarnya kadar emisi gas buang Nox. Oksidator yang biasa dipakai burner ini adalah udara[6].



Gambar 2. 3 Premixed Burner

2. *Diffusion-mixed burner*

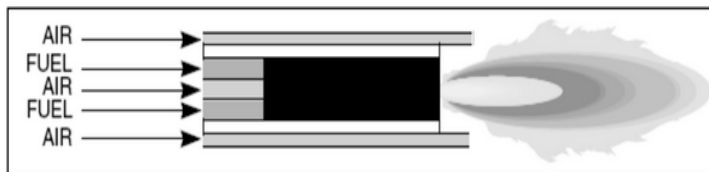
Pada burner tipe ini, tidak dilakukan pencampuran terlebih dahulu sebelum campuran dipantik. Keuntungan dari burner ini adalah api yang lebih panjang dan temperatur api yang lebih seragam. Jika oksidator yang digunakan adalah oksigen murni, biasanya menggunakan burner tipe ini untuk menghindari adanya percikan balik (*flashback*)[6].



Gambar 2. 4 Diffusion mixed

3. *Partially premixed burner*

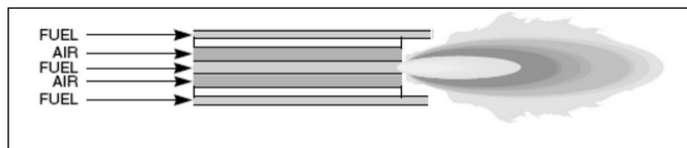
merupakan gabungan antara *premixed* dan *diffusion-mixed* burner. Pada awal / bagian depan *burner*, ada sebagian oksidator dan bahan bakar yang telah dicampur terlebih dahulu sedangkan pada ujung *burner* (ketika akan dipantik) ada saluran untuk suplai oksidator dan bahan bakar[6].



Gambar 2. 5 Partially Premixed

4. *Staged burner*

Burner ini memiliki banyak tingkat/tahap pencampuran antara udara dan bahan bakar. Burner ini bertujuan untuk mengontrol perpindahan panas, membuat api menjadi lebih panjang, dan mengurangi emisi gas buang seperti Nox. Jenis pembakaran ini memiliki kelemahan, yaitu bisa terjadinya interaksi antara masing-masing tahap sehingga pembakaran akan makin tidak stabil dan susah di prediksi[6].



Gambar 2. 6 Staged Burner

1.3 Bahan Bakar

Bahan bakar adalah suatu materi apapun yang bisa diubah menjadi energi. Biasanya bahan bakar mengandung energi panas dan dapat dilepaskan dan dimanipulasi. Kebanyakan bahan bakar digunakan manusia melalui proses pembakaran (reaksi redoks)

dimana bahan bakar tersebut akan melepaskan panas setelah direaksikan dengan oksigen di udara. Proses lain untuk melepaskan energi dari bahan bakar adalah melalui reaksi eksotermal dan reaksi nuklir (seperti fisi nuklir atau fusi nuklir)[10].

1.3.1 Jenis-jenis bahan bakar

Berdasarkan bentuk dan wujudnya adalah sebagai berikut:

- 1. Bahan bakar padat**

Bahan bakar padat merupakan bahan bakar yang berbentuk padat dan kebanyakan menjadi sumber energi panas. Misalnya kayu dan batubara. Energi panas yang dihasilkan bisa digunakan untuk memanaskan air menjadi uap untuk menggerakkan peralatan dan menyediakan energi.

- 2. Bahan bakar cair**

Bahan bakar cair adalah bahan bakar yang strukturnya tidak rapat. Jika dibandingkan dengan bahan bakar padat molekulnya dapat bergerak bebas. Bensin/gasolin/premium, minyak solar, minyak tanah adalah contoh bahan bakar cair.

- 3. Bahan bakar gas**

Bahan bakar gas ada dua jenis, yakni Compressed Natural Gas (CNG) dan Liquid Petroleum Gas (LPG). CNG pada dasarnya terdiri dari metana sedangkan LPG adalah campuran dari propana, butana dan bahan kimia lainnya. LPG yang digunakan untuk kompor rumah tangga, sama bahannya dengan bahan bakar gas yang biasa digunakan untuk sebagian kendaraan bermotor.

1.4 Teori Pembakaran

Pembakaran adalah serangkaian reaksi-reaksi kimia eksotermal antara bahan bakar dan oksidan berupa udara yang

disertai dengan produksi energi berupa panas dan konversi senyawa kimia. Pelepasan panas dapat mengakibatkan timbulnya cahaya dalam bentuk api. Bahan bakar yang umum digunakan adalah senyawa organik, khususnya hidrokarbon dalam fasa gas, cair atau padat.

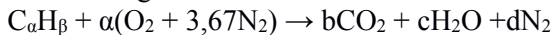
Secara umum, pembakaran dapat didefinisikan sebagai proses atau reaksi oksidasi yang sangat cepat antara bahan bakar (*fuel*) dan oksidator dengan menimbulkan panas. Bahan bakar (*fuel*) merupakan segala substansi yang melepaskan panas ketika dioksidasi dan secara umum mengandung unsur-unsur karbon (C), hidrogen (H), oksigen (O), nitrogen (N) dan sulfur (S). Sementara oksidator adalah segala substansi yang mengandung oksigen (misalnya udara) yang akan bereaksi dengan bahan bakar (*fuel*).

Pada umumnya pembakaran tidak menggunakan oksigen murni melainkan memanfaatkan oksigen yang ada di udara. Jumlah udara minimum yang diperlukan untuk menghasilkan pembakaran lengkap disebut sebagai jumlah udara teoritis (atau stoikiometrik). Akan tetapi pada kenyataannya untuk pembakaran lengkap udara yang dibutuhkan melebihi jumlah udara teoritis. Kelebihan udara dari jumlah udara teoritis disebut sebagai *excess air* yang umumnya dinyatakan dalam persen. Parameter yang sering digunakan untuk mengkuantifikasi jumlah udara dan bahan bakar pada proses pembakaran tertentu adalah rasio udara-bahan bakar. Apabila pembakaran lengkap terjadi ketika jumlah udara sama dengan jumlah udara teoritis maka pembakaran disebut sebagai pembakaran sempurna[11].

1.4.1 Perhitungan stoikiometri kebutuhan udara

Jika ketersediaan oksigen untuk reaksi oksidasi mencukupi, maka bahan bakar hidrokarbon akan dioksidasi secara menyeluruh, yaitu karbon dioksidasi menjadi karbon dioksida (CO_2) dan hidrogen dioksidasi menjadi uap air (H_2O). Pembakaran yang demikian disebut sebagai pembakaran stoikiometri dan selengkapnya persamaan reaksi kimia untuk pembakaran

stoikiometri dari suatu bahan bakar hidrokarbon ($C_\alpha H_\beta$) dengan udara dituliskan sebagai berikut :



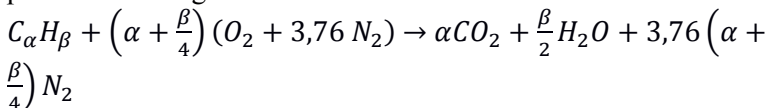
Kesetimbangan C : $\alpha = b$

Kesetimbangan H : $\beta = 2c \rightarrow c = \beta/2$

Kesetimbangan O: $2a = 2b + c \rightarrow a = b + c/2 \rightarrow a = \alpha + \beta/4$

Kesetimbangan N : $2(3,76)a = 2d \rightarrow d = 3,76a \rightarrow d = 3,76(\alpha + \beta/4)$

Substitusi persamaan-persamaan kesetimbangan di atas ke dalam persamaan reaksi pembakaran $C_\alpha H_\beta$ menghasilkan persamaan sebagai berikut :



Jumlah oksigen yang dibutuhkan untuk mendapatkan pembakaran stoikiometri adalah :

$$m_{O_2} = \frac{m_{atom\ O_2}}{m_{mol\ C_\alpha H_\beta}} \times \text{persentase } C_\alpha H_\beta \left(\frac{kg}{kg\ bahan\ bakar} \right) \quad (2.1)$$

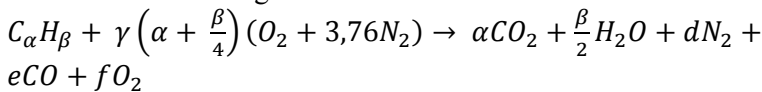
Stoikiometri massa yang didasarkan pada rasio udara dan bahan bakar (*air fuel ratio*) untuk bahan bakar hidrokarbon ($C_\alpha H_\beta$) adalah sebagai berikut :

$$\left(\frac{A}{F}\right)_s = \frac{m_{air}}{m_{fuel}} = \frac{(\sum n_i \bar{M}_i)_{air}}{(\sum n_i \bar{M}_i)_{fuel}} = \frac{\left(\alpha + \frac{\beta}{4}\right) \bar{M}_{O_2} + 3,76 \left(\alpha + \frac{\beta}{4}\right) \bar{M}_{N_2}}{\alpha \bar{M}_C + \beta \bar{M}_H} \quad (2.2)$$

1.4.2 Pembakaran non-stoikiometri

Dalam aplikasinya, mekanisme pembakaran dituntut dapat berlangsung secara cepat sehingga sistem-sistem pembakaran dirancang dengan kondisi udara berlebih. Hal ini dimaksudkan untuk mengantisipasi kekurangan udara akibat tidak sempurnanya proses pencampuran antara udara dan bahan bakar. Pembakaran yang demikian disebut sebagai pembakaran non stoikiometri dan selengkapnya persamaan reaksi kimia untuk pembakaran non

stoikiometri dari suatu bahan bakar hidrokarbon ($C_\alpha H_\beta$) dengan udara dituliskan sebagai berikut :

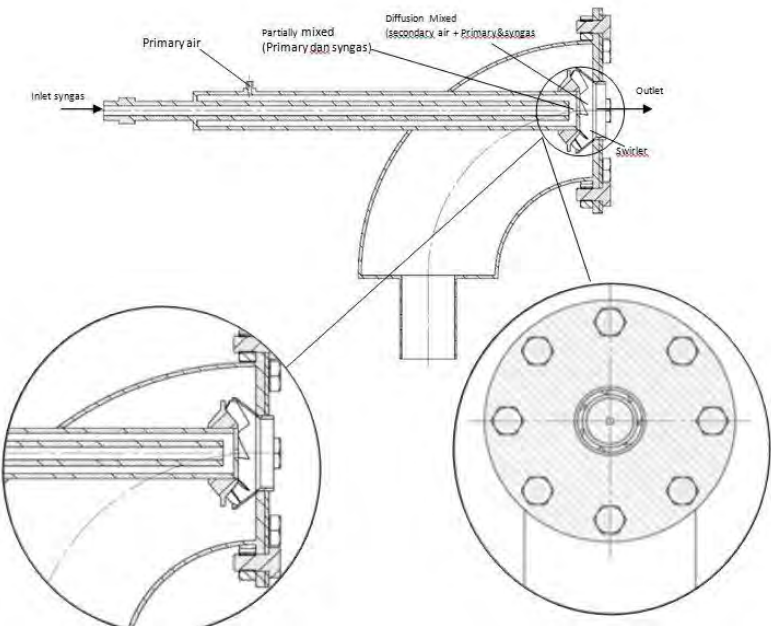


- a. Pembakaran dengan komposisi campuran stoikiometri. Pada proses ini terjadi perpindahan panas yang maksimum dengan kehilangan panas yang minimum. Hasil pembakaran berupa CO_2 , uap air, dan N_2 .
- b. Pembakaran dengan komposisi campuran miskin. Pada proses ini terjadi perpindahan panas yang maksimum tetapi diikuti dengan bertambahnya kehilangan panas karena udara berlebih. Hasil pembakaran berupa CO_2 , uap air, O_2 dan N_2 .
- c. Pembakaran dengan komposisi campuran kaya Pada proses ini terjadi perpindahan panas yang kurang maksimum karena ada bahan bakar yang belum terbakar. Hasil pembakaran berupa HC , CO , CO_2 , H_2O , dan N_2 . Sedangkan fraksi karbon terbentuk dari reaksi sekunder antara CO dan H_2O .

1.4.3 Primary air dan secondary air

Untuk mensuplai udara yang digunakan pada proses pembakaran, burner membutuhkan kerja beberapa kerja dari beberapa jenis. *Primary air* atau udara utama dapat diartikan sebagai udara utama yang memasuki *burner* sebagai pengantar bahan bakar *syngas* kedalam *burner*. *Primary air* pada *burner* berfungsi sebagai pensuplai udara utama pada *burner* untuk membantu proses pembakaran pada *burner*.

Secondary air adalah alat yang mendukung *primary air* untuk mensuplai udara pembakaran. Biasanya *secondary air* 50% dari jumlah udara total yang diumpulkan, dan secara terpisah masuk kedalam *burner* yang disuplai melalui blower sentrifugal. Pengaturan *secondary air* dikontrol dengan menggunakan *voltage regulator*.

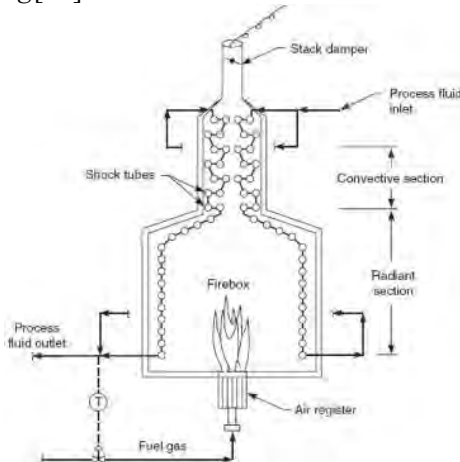


Gambar 2. 7 Aliran udara *primary air* dan *secondary air* pada *burner*

Gambar 2.8 menunjukkan salah satu jenis proses *furnace* dengan *natural draft*. Jika damper atau *air register* ditutup secara bertahap, maka suplai udara yang mengalir ke dalam *firebox* akan berkurang. Jika laju alir fluida proses dan laju alir bahan bakar (*fuel gas*) konstan, maka beberapa kemungkinan akan terjadi:

1. Suhu outlet furnace akan meningkat, sebagaimana penurunan udara *excess*. Hal ini disebabkan lebih banyak panas yang diberikan kepada fluida proses, dan panas yang dibuang melalui stack akan berkurang.
2. Suhu outlet furnace akan turun, sebagaimana penurunan laju alir udara pada saat melewati titik pembakaran absolut (*absolute combustion*). Pada kondisi ini akan diperoleh produk-produk pembakaran tidak sempurna atau pembakaran parsial,

seperti aldehid, keton, dan karbon monoksida yang dibuang melalui *stack*. Hal ini juga menyebabkan *heating value* bahan bakar akan turun dan memungkinkan terjadinya *afterburning*[14].



Gambar 2. 8 *Furnace* dengan natural draft (Lieberman)

Dengan demikian akan berbahaya jika *furnace* dioperasikan dengan jumlah udara yang tidak mencukupi, karena :

1. Produk hasil pembakaran tidak sempurna sangat panas, dan akan menyala dengan segera jika menemukan oksigen dalam jumlah yang cukup. Hal ini biasanya akan menyebabkan *afterburn* di bagian konveksi dan *stack* dan bahkan bisa menyebabkan ledakan.
2. Produk dari pembakaran parsial merupakan polutan yang menyebabkan polusi udara.

2.4.4 Pembakaran aktual

Di dalam pembakaran sebenarnya tidak seluruh unsur dalam bahan bakar terbakar sempurna. Pembakaran tidak sempurna terjadi karena elemen-elemen dari bahan bakar tidak teroksidasi

secara sempurna. Sebagai contoh adalah pembakaran dari karbon (C), tidak seluruh unsur C akan terbakar membentuk CO₂ tetapi terbakar menjadi CO atau tetap masih dalam bentuk C. Adanya unsur C yang tidak terbakar ini menyebabkan kehilangan energi (*losses*), atau dengan kata lain efisiensi pembakaran tidak maksimal (pemborosan bahan bakar).

Dengan demikian maka terdapat kehilangan-kehilangan yang berupa kerugian panas yang seharusnya bisa dibebaskan dalam pembakaran karbon. Di samping itu, produksi karbon monoksida (CO) menimbulkan kontribusi terhadap pencemaran udara. Untuk mengurangi kerugian tersebut sampai pada tingkat yang minimal, maka perlu diberikan udara berlebih (*excess air*) pada sejumlah udara teoritis yang dipakai sehingga tersedia cukup oksigen untuk pembakaran. Dengan adanya udara berlebih maka jumlah udara sebenarnya (*actual air*) yang digunakan adalah :

$$m_{\text{udara actual}} = m_{\text{udara stoikiometri}} + x\% (m_{\text{udara stoikiometri}}) \quad (2.3)$$

dimana:

$m_{\text{udara actual}}$:	massa udara pembakaran aktual
$m_{\text{udara stoikiometri}}$:	massa udara sesuai persamaan stoikiometri
$x\%$:	excess air

Excess air tidak lagi diperlukan apabila dimungkinkan udara dan bahan bakar dapat tercampur secara sempurna. Penting untuk diperhatikan bahwa penggunaan *excess air* yang tidak sesuai justru akan menurunkan efisiensi pembakaran. Karena udara yang tidak bereaksi (karena terlalu banyak), akan turut menyerap kalor pembakaran.

2.4.5 Api

Api sering disebut sebagai zat keempat, karena tidak dapat dikategorikan ke dalam kelompok zat padat, zat cair maupun zat gas. Api disebut memiliki bentuk plasma. Plasma adalah bentuk gas yang mana sebagian dari partikel diionisasi. Seperti halnya gas,

plasma tidak memiliki bentuk yang tetap namun volume yang tetap, kecuali jika dikurung dalam suatu wadah yang tetap.

Segitiga api mengilustrasikan hubungan antara tiga elemen dasar yang diperlukan untuk membangkitkan api. Tiga elemen dasar yang dibutuhkan untuk membangkitkan api adalah senyawa oksigen, bahan bakar yang dapat terbakar dan mengandung energi, serta sumber api atau sumber panas. Jika salah satu dari ketiga elemen dasar tersebut telah habis, maka api akan padam, atau reaksi pembakaran tidak dapat dilanjutkan dengan baik. Ketiga elemen dasar yang dapat membangkitkan api tersebut digambarkan di dalam sebuah segitiga, yang sangat umum dikenal sebagai segitiga api. Berikut ini akan disajikan gambar segitiga api.



Gambar 2. 9 Segitiga Api

Sumber api atau sumber panas, pada awalnya disediakan atau didapatkan di luar sistem pembakaran, misalnya korek api, kilat ketika hujan, percikan listrik dan sumber – sumber api lainnya. Panas yang didapatkan dari luar sistem tersebut akan mulai memutuskan ikatan kimia di dalam bahan bakar, yang pada umumnya merupakan senyawa organik. Pemutusan awal ikatan kimia di dalam bahan bakar merupakan reaksi yang eksoterm atau menghasilkan energi panas. Energi panas yang dihasilkan dari pemutusan awal tersebut akan digunakan sebagai energi untuk pemanasan ikatan kimia berikunya di dalam bahan bakar. Api menyala ketika panas yang dihasilkan dari pemutusan ikatan kimia di dalam bahan bakar dapat digunakan seterusnya untuk

memutuskan ikatan – ikatan kimia lain di dalam bahan bakar. Oleh karena itu, sumber panas hanya merupakan inisiator terbentuknya api. Setelah proses penyalaan api, sumber panas tidak lagi dibutuhkan, melainkan api dari reaksi pembakaran akan menghasilkan panas yang dapat digunakan oleh manusia untuk menunjang proses – proses yang akan dilakukan.

2.4.6 Klasifikasi api

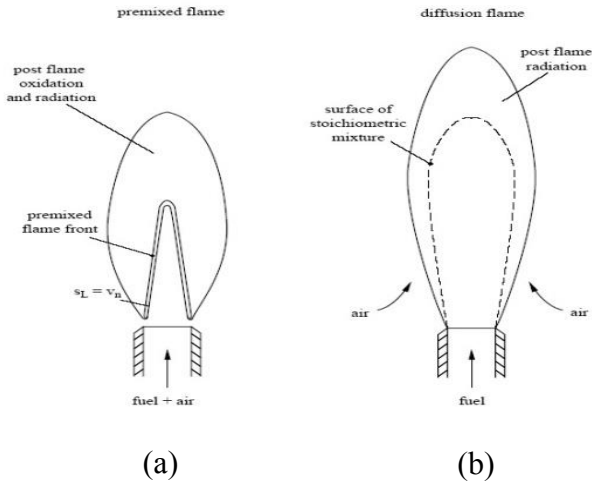
Menurut cara pencampuran dan reaksi (penyalaan) bahan bakar dan *oxidizer*, api dikategorikan menjadi :

1. *Premixed Flame*

Premixed flame akan terjadi bila reaktan tercampur sempurna pada tingkat molekul sebelum terjadinya reaksi kimia yang signifikan. Laju pengembangan api (kecepatan pembakaran) tergantung dari komposisi kimia dan laju reaksi kimia. Pada beberapa kasus sering dijumpai bahwa *premixed flame* memberikan indikasi warna nyala api yang pada umumnya biru. Contoh sederhana tentang *premixed flame* sering dijumpai pada *bunsen burner*.

2. *Diffusion Flame (Non-premixed)*

Diffusion flame akan terjadi bila pada keadaan awal bahan bakar dengan *oxidizer* terpisah dan reaksi terjadi hanya hubungan antara bahan bakar dan *oxidizer*. Waktu terjadinya percampuran antara bahan bakar dengan udara umumnya terjadi secara bersamaan. Pengembangan *diffusion flame* tergantung pada kecepatan berdifusinya reaktan terhadap reaktan lainnya. Berikut contoh gambaran antara *diffusion flame* dan *premixed flame*.



Gambar 2. 10 Model pencampuran (a) Premix, (b) Difusi

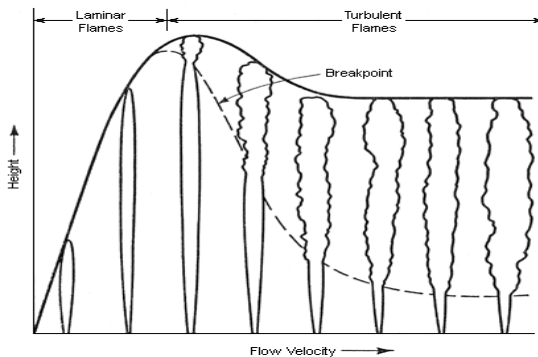
Selain berdasarkan hal diatas, nyala api juga dapat dikategorikan menurut sifat-sifat mekanika fluidanya, yaitu :

1. Api Laminer

Adalah kondisi dimana nyala api bersifat aliran laminer. Pada kondisi aliran ini, aliran dari gas terbakar mengikuti *streamline* aliran tanpa adanya diffusi turbulen di mana diffusi panas dan massa tergantung pada sifat molekul dari komponen gas.

2. Api Turbulen

Adalah kondisi dimana nyala api mempunyai sifat aliran turbulen. Pada kondisi turbulen ini, gas terbakar dengan pola aliran secara acak. Besarnya tingkat keacakan tergantung pada skala dan intensitas turbulensinya.



Gambar 2. 11 Laminar *Turbulent Flame*

Pada semua jenis pembakaran, campuran udara dan bahan bakar merupakan faktor penting yang harus diperhatikan dalam rangka mendapatkan proses pembakaran yang sempurna. Pada kompor minyak tanah dengan proses pembakaran yang sempurna, pembentukan api laminer akan ditandai dengan munculnya berwarna biru dan tanpa goyangan (stabil). Pada kompor dengan pembakaran sempurna dengan pembentukan api yang laminer, maka energi panas berupa temperatur tinggi yang dimiliki api akan disebarluaskan ke sekelilingnya dan akan membentuk dinding temperatur yang isothermal.

2.4.7 Udara Pembakaran

Dalam proses pembakaran selalu diperlukan oksigen. Oksigen ini dapat diperoleh dari udara atmosfer. Beberapa definisi mengenai udara dapat dinyatakan sebagai berikut :

- Udara kering adalah udara tanpa kandungan air (*dry air*)
- Udara basah (*wet air*) adalah udara dengan kandungan air yang masih terikat
- Udara standard (*standard air*) adalah udara dengan kandungan 0,013 kg air per kg udara kering (sesuai dengan RH = 60% pada 25°C)

Komposisi udara dan data lain sebagai berikut :

Tabel 2. 2 Tabel komposisi Udara di Atmosfer

Unsur	% Volume	% Berat
Oksigen (O ₂)	20,99	23,15
Nitrogen (N ₂)	78,03	76,85
Gas lain	0,98	

- Berat molekul ekivalen dari udara = 29
- Mole udara / mole oksigen = 100/10,99
= 4,76
- Mole N₂ / mole oksigen = 78,04/20,99
= 3,76
- Kg udara kering / kg O₂ = 100/23,15
= 4,32
- Kg N₂ / kg O₂ = 76,85/23,15
= 3,32

Jumlah minimum udara yang memberikan oksigen yang cukup untuk pembakaran tuntas terhadap semua karbon, hydrogen, dan sulfur yang terkandung didalam bahan bakar disebut jumlah udara teoritis. Untuk pembakaran tuntas dengan jumlah udara teoritis, produk yang dihasilkan terdiri dari karbondioksida, air, sulfur dioksida, nitrogen yang menyertai oksigen di dalam air, dan setiap nitrogen yang terkandung di dalam bahan bakar. Oksigen bebas tidak akan muncul sebagai salah satu produk pembakaran.

$$\overline{AF} = \left(\frac{\dot{m}_{\text{udara}}}{\dot{m}_{\text{bahan bakar}}} \right)$$

Jumlah udara yang disuplai biasanya lebih besar atau lebih kecil dari jumlah teoritis. Jumlah air *actual* yang disuplai biasanya dinyatakan dalam bentuk presentase udara teoritis. Sebagai contoh, udara teoritis 150% berarti udara actual yang disuplai adalah 1,5 kali jumlah udara teoritis. Jumlah udara yang suplai dapat juga dinyatakan sebagai persentase kelebihan atau persentase

kekurangan udara. Jadi udara teoritis 150% adalah sebanding dengan kelebihan udara 50 %, udara teoritis 80%, adalah sebanding dengan kekurangan udara 20%.

Dua parameter yang sering dipakai untuk memberikan kuantifikasi jumlah bahan bakar dan udara di dalam sebuah proses pembakaran tertentu adalah rasio udara- bahan bakar dan kebalikannya, rasio bahan bakar-udara. Rasio udara- bahan bakar singkatnya adalah rasio jumlah udara didalam sebuah reaksi terhadap jumlah bahan bakar. Rasio ini dapat dituliskan dengan basis molar (mol udara dibagi dengan mol bahan bakar) atau dengan basis massa (massa udara dibagi dengan massa bahan bakar). Konversi diantara kedua ini dilakukan menggunakan berat molekuler dari udara, M_{udara} , dan bahan bakar, $M_{\text{bahan bakar}}$.

$$\frac{\text{Massa udara}}{\text{Massa bahan bakar}} = \frac{\text{mol udara} \times M_{\text{udara}}}{\text{mol bahan bakar} \times M_{\text{bahan bakar}}} = \frac{\frac{\text{mol udara}}{\dot{m}_{\text{udara}}}}{\frac{\text{mol bahan bakar}}{\dot{m}_{\text{bahan bakar}}}} \left(\frac{\dot{m}_{\text{udara}}}{\dot{m}_{\text{bahan bakar}}} \right)$$

atau

$$AFR = \overline{AF} \left(\frac{\dot{m}_{\text{udara}}}{\dot{m}_{\text{bahan bakar}}} \right) \quad (2.4)$$

Dimana \overline{AF} adalah rasio udara-bahan bakar dengan basis molar dan AF adalah rasio dengan basis massa[12].

2.4 Indikator Performance Burner

Performance suatu *burner* dapat dikatakan baik atau tidak bisa dilihat dari beberapa indikator sebagai berikut[13]:

2.4.1 Distribusi temperatur

Distribusi temperatur menjadi salah satu indikator performance *burner*. Karena *burner* bisa dikatakan baik jika bisa menghasilkan temperatur yang tinggi. Distribusi temperatur dapat diukur dengan *thermocouple* dengan beberapa titik penempatan. Sehingga bisa didapatkan data distribusi temperatur api.

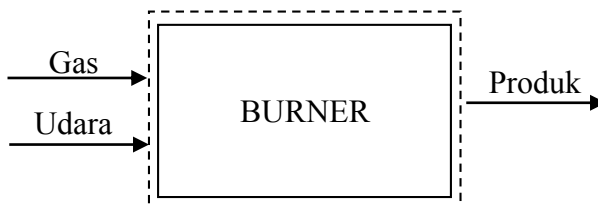
2.4.2 Daya burner

Daya burner yang didapatkan berupa Daya pembakaran yang terjadi pada burner, persamaan yang digunakan untuk mendapatkan energi pembakaran adalah dengan mengkalikan laju aliran massa bahan bakar dan udara dengan entalpi pembakaran. Di rumuskan sebagai berikut :

$$Daya\ Burner = \dot{m}_{syngas} h_{RP} \quad (2.5)$$

Untuk Perhitungan Entalpi Pembakaran (h_{RP}) Gas Hasil Gasifikasi dapat dicari dengan memanfaatkan kandungan gas untuk menghitung entalpi pembakaran. Hal ini dapat dilakukan dengan menganggap pembakar (burner) sebagai sebuah sistem tertutup, dan pembakaran stokimetrik gas hasil gasifikasi terjadi di dalam pembakar (burner). Dalam melakukan perhitungan nilai entalpi pada reaksi pembakaran yang terjadi, beberapa asumsi digunakan untuk menyederhanakan perhitungan. Asumsi-asumsi tersebut diantaranya:

1. Batas volume atur ditunjukkan oleh garis putus-putus pada Gambar 2.12
2. Sistem beroperasi dalam keadaan tunak.
3. Perubahan energi kinetik dan potensial diabaikan.
4. Reaktan dan produk merupakan campuran gas yang berlaku seperti gas ideal.
5. Udara pembakaran yang digunakan adalah udara kering.



Gambar 2. 12 Skema Reaksi Pembakaran

Berdasarkan asumsi yang digunakan, maka kesetimbangan energi yang terjadi pada sistem pada Gambar 2.11 di atas adalah:

$$\begin{aligned} \text{entalpi reaktan} &= \text{entalpi produk} + Q \\ h_R &= h_P + Q \end{aligned}$$

Sehingga,

$$-Q = h_P - h_R = \text{Entalpi pembakaran}$$

$$h_{RP} = h_P - h_R$$

Karena reaktan dan produk merupakan suatu campuran gas dengan jumlah mol tertentu, maka dalam basis mol persamaan menjadi:

$$\bar{h}_{RP} = \sum_P n_p \bar{h}_p - \sum_R n_R \bar{h}_R \quad (2.6)$$

Berdasarkan definisi yang diperoleh dari referensi [9], maka entalpi spesifik \bar{h} pada tingkat keadaan diluar tingkat keadaan standar adalah penjumlahan entalpi pembentukan standar dengan \bar{h}_f^o perubahan entalpi spesifik antara tingkat keadaan standar dengan tingkat keadaan yang ditinjau $\Delta\bar{h}$. Sehingga:

$$\bar{h}(T, p) = \bar{h}_f^o + [\bar{h}(T, p) - \bar{h}_{ref}(T_{ref}, p_{ref})] = \bar{h}_f^o + \Delta\bar{h} \quad (2.7)$$

Untuk mengetahui entalpi pembakaran dalam basis massa, maka perlu diketahui massa molar rata-rata dari gas, yaitu:

$$M_{rata-rata} = \sum n_i M_i \quad (2.8)$$

Maka entalpi pembakaran dalam basis massa adalah:

$$h_{RP} = \frac{\bar{h}_{RP}}{M_{rata-rata}} \quad (2.9)$$

Setelah didapatkan nilai entalpi pembakaran maka dibutuhkan laju aliran massa (\dot{m}). Laju aliran massa yang digunakan adalah laju aliran massa total yaitu penambahan laju aliran massa *syngas* ditambah dengan laju aliran massa udara.

2.4.3 Konsumsi bahan bakar spesifik (SFC)

Konsumsi bahan bakar spesifik ini laju aliran bahan bakar untuk memperoleh daya efektif. Sehingga dapat dirumuskan dengan persamaan berikut :

$$SFC = \frac{\text{Laju Aliran bahan bakar}}{\text{Daya yang dihasilkan}} = \frac{\dot{m}_{gas}}{\text{Daya Burner}} \quad (2.10)$$

2.4.4 Efisiensi burner

Dari hasil perhitungan di atas, kita dapat menentukan besarnya nilai efisiensi *burner*. Besarnya efisiensi *burner* adalah :

$$\eta_{Burner} = \frac{\text{Daya Burner}}{\text{Daya Bahan Bakar}} \times 100 \quad (2.11)$$

Energi Bahan Bakar merupakan perkalian antara kandungan energi (LHV) dikalikan dengan laju aliran massanya. Sehingga:

$$Daya Bahan Bakar = \dot{m}_{gas} LHV_{gas} \quad (2.12)$$

Untuk Perhitungan *Low Heating Value* (LHV) dapat dicari dengan mengetahui komposisi bahan bakar gas dan dihitung dengan persamaan :

$$LHV_{GAS} = \sum_{i=1}^n (Y_i \cdot LHV_i) \quad (2.13)$$

Sedangkan untuk laju aliran massa (\dot{m}) yang digunakan adalah laju aliran masa *syngas*.

2.5 Campuran Udara - Bahan Bakar

Dalam suatu proses pembakaran beberapa hal penting yang perlu diperhatikan antara lain bahan bakar, udara (oksigen), kalor, dan reaksi kimia. Selain itu, perbandingan campuran udara dan bahan bakar memegang peranan yang penting pula dalam menentukan hasil proses pembakaran itu sendiri yang secara langsung mempengaruhi reaksi pembakaran yang terjadi serta hasil keluaran (produk) proses pembakaran.

Beberapa metode yang dapat digunakan untuk menghitung rasio campuran udara dan bahan bakar antara lain AFR (*Air-fuel Ratio*), FAR (*Fuel-air Ratio*), dan Rasio Ekivalen (Φ).

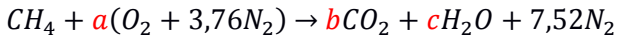
2.5.1 Rasio Udara-Bahan Bakar (Air-fuel Ratio/AFR)

Metode ini merupakan metode yang paling sering digunakan dalam mendefinisikan campuran dan merupakan perbandingan antara massa dari udara dengan bahan bakar pada suatu titik tinjau.

$$AFR = \frac{\dot{m}_{udara}}{\dot{m}_{bahan\ bakar}} = \frac{\dot{m}_{primary} + \dot{m}_{secondary}}{\dot{m}_{bahan\ bakar}} \quad (2.14)$$

Jika nilai *actual* lebih besar dari nilai AFR, maka terdapat udara yang jumlahnya lebih banyak daripada yang dibutuhkan system dalam proses pembakaran dan dikatakan miskin bahan bakar dan jika nilai *actual* lebih kecil dari AFR stokimetrik maka tidak cukup terdapat udara pada system dan dikatakan kaya bahan

bakar. Berikut adalah perhitungan kebutuhan udara teoritis dengan bahan bakar gas metana:



$$\text{C: } 1 = b$$

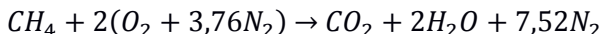
$$\text{H: } 4 = 2c \rightarrow c = 2$$

$$\text{O: } 2a = 2b + c$$

$$2a = 2(1) + 2$$

$$a = \frac{2+2}{2} = 2$$

Sehingga persamaannya menjadi:



$$AFR = \frac{\dot{m}_{\text{udara}}}{\dot{m}_{\text{bahan bakar}}} = \frac{2 + (2 \times 3,76)}{1}$$

$$= 9,52 \frac{\text{kmol (udara)}}{\text{kmol (bahan bakar)}}$$

Rasio udara bahan bakar dengan basis massa adalah:

$$AF = \left[9,52 \frac{\text{kmol (udara)}}{\text{kmol (bahan bakar)}} \right] \left[\frac{28,97 \frac{\text{kg (udara)}}{\text{kmol (udara)}}}{16,04 \frac{\text{kg (bahan bakar)}}{\text{kmol (bahan bakar)}}} \right]$$

$$AF = 17,19 \frac{\text{kg (udara)}}{\text{kg (bahan bakar)}}$$

2.5.2 Rasio Ekuivalensi

Rasio ekuivalensi adalah rasio dari rasio aktual bahan bakar-udara untuk pembakaran dengan jumlah udara teoritis. Jika rasio ekuivalensi lebih kecil daripada satu, reaktan-reaktan membentuk apa yang disebut encer (*lean*). Jika rasio tersebut lebih besar daripada satu, reaktan-reaktan membentuk apa yang disebut cairan kental (*rich*)[12].

2.5.3 Udara Berlebih (Excess Air)

Dalam proses pembakaran sulit untuk mendapatkan pencampuran yang memuaskan antara bahan bakar dengan udara pada proses pembakaran aktual. Udara perlu diberikan dalam jumlah berlebih untuk memastikan terjadinya pembakaran secara sempurna seluruh bahan bakar yang ada.

Udara lebih (*excess air*) didefinisikan sebagai udara yang diberikan untuk pembakaran dalam jumlah besar dari jumlah teoritis yang dibutuhkan bahan bakar. Udara lebih dapat dideduksi dengan pengukuran komposisi produk pembakaran dalam keadaan kering (*dry basis*). Jika produk merupakan hasil pembakaran sempurna, maka presentasi udara berlebih dapat dinyatakan sebagai:

$$\text{excess air} = \left[\left(\frac{\text{CO}_2 \text{ stokimetrik}}{\text{CO}_2 \text{ aktual}} \right) - 1 \right] \times 100\% \quad (2.15)$$

Dengan CO_2 stokimetrik adalah volume CO_2 stokimetrik (α) dalam flue gas kering

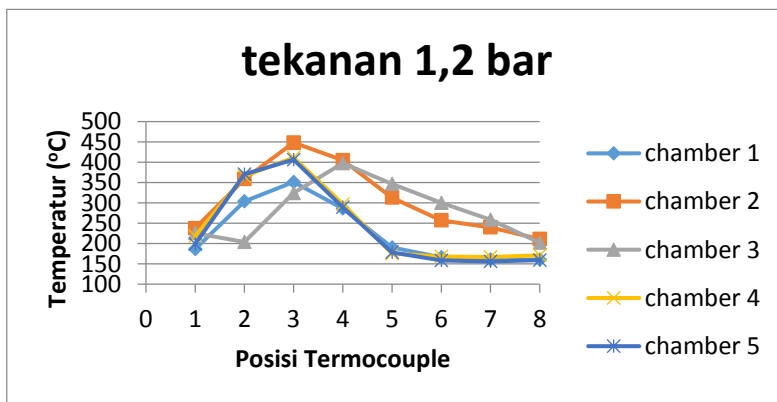
- Natural gas and producer gas; CO_2 stokimetrik: $11 < \alpha < 12\%$.
- Commercial butane and propane: CO_2 stokimetrik: $\alpha = 14\%$.
- Fuels; CO_2 stokimetrik: $15 < \alpha < 16\%$.
- Marketed coal; CO_2 stokimetrik: $18 < \alpha < 20\%$.

2.6 Peneliti Terdahulu

2.6.1 Penelitian Oleh Mahatma Pandima

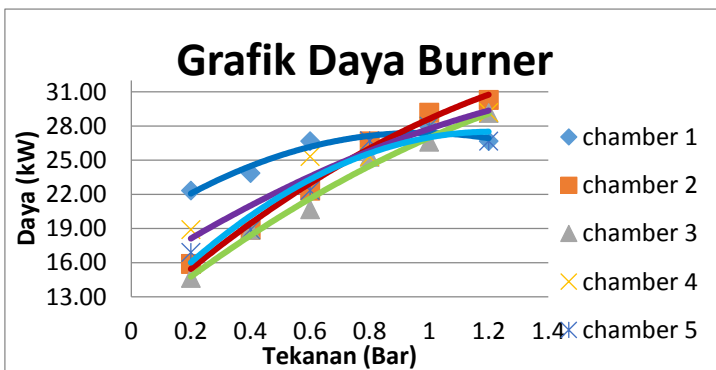
Dari penelitian oleh mahatma yang berjudul Studi Eksperimen Burner *Type Partially Premixed* Dengan Bahan Bakar *Syngas* Biomassa Serbuk Kayu Dengan Variasi Dimensi *Mixed Chamber* didapatkan hasil burner yang memiliki distribusi temperatur api maksimum sebesar $448,15^\circ\text{C}$ pada tekanan syngas 1,2 bar dengan posisi *nozzle* 1 cm dari ujung *mixed chamber*. Serta diperoleh daya burner tertinggi sebesar 30,30 kW dan efisiensi tertinggi sebesar 47,17 % pada tekanan *syngas* 1,2 bar dengan

posisi *nozzle* 1 cm, dan konsumsi bahan bakar spesifik optimum 0,82 kg/ kW h. Dari data hasil penelitian yang didapatkan dapat disimpulkan dengan hasil unjuk kerja yang didapat dimensi *mixed chamber* yang terbaik saat nozzle pada posisi 1 cm pada kondisi tekanan 1,2 bar[13].



Gambar 2. 13 Distribusi temperatur pada tekanan gas 1,2 bar

Pada grafik menunjukkan perbandingan temperatur pada 5 posisi *Chamber* yang berbeda. Temperatur tertinggi yang di dapat pada posisi *termocouple* ke 3 adalah 445°C pada posisi *chamber* 2. Sedangkan tempreratur terendah pada posisi *termocouple* ke 8 sebesar 158°C pada posisi chamber 5. Pada tekanan syngas 1,2 bar, posisi *chamber* 1,2,4 dan 5 memiliki temperatur tertinggi pada posisi *termocouple* ke 3 sedangkan posisi *chamber* 2 memiliki temperatur tertinggi pada posisi *termocouple* ke 4. Fenomena perbedaan ini disebabkan karena perbedaan panjang api. Pada chamber 2 terdapat penurunan temperatur pada posisi *termocouple* ke 2.

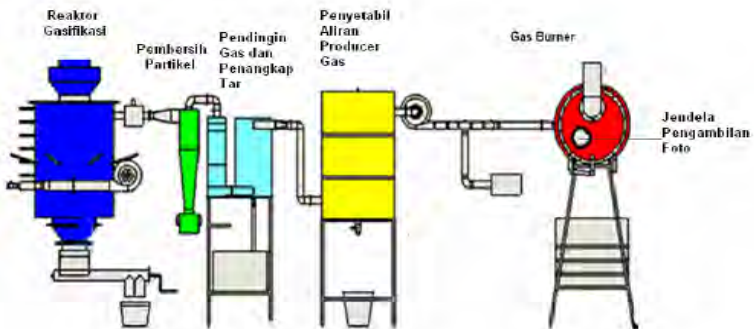


Gambar 2. 14 Grafik Daya Burner

Pada gambar grafik diatas menunjukkan daya pembakaran burner terhadap perubahan tekanan *syngas*. Pada umumnya seluruh posisi *chamber* mengalami peningkatan daya hanya saja pada beberapa pada *chamber* 0,1,2 dan 3 terjadi penurunan daya pada tekanan yang berbeda-beda. Pada *chamber* 1 terjadi penurunan pada tekanan *syngas* 0,8 bar. Pada *chamber* 2 terjadi penurunan pada tekanan *syngas* 1 bar. Pada *chamber* 3 terjadi penurunan pada tekanan *syngas* 1bar. Dan pada *chamber* 3 terjadi penurunan pada tekanan *syngas* 0,8 bar. Pada *chamber* 1 terjadi penurunan pada tekanan *syngas* 0,6 bar.

2.6.2 Peneliti oleh Surjosaty

Jurnal tentang “pembakaran gas hasil gasifikasi biomassa di *premixed* burner gas dengan metode 3D *computational fluid dynamics*” oleh Surjosaty jurnal tersebut membahas tentang penelitian dengan metoda 3D *computational fluid dynamics* dan studi eksperimen pada *premixed* gas burner dengan bahan bakar biomass. Penelitian burner gas dengan bahan bakar gas hasil gasifikasi dilakukan dengan variasi kecepatan gas dan perubahan jarak aksial terhadap ruang bakar[15].



Gambar 2. 15 Skema pengujian burner gas

Dari penelitian tersebut menghasilkan kesimpulan berikut :

Tabel 2. 3 Perbandingan hasil eksperimental

Jarak aksial dari pusat ruang bakar (m)	Temperatur (K)					
	Kecepatan 3 m/s		Kecepatan 6 m/s		Kecepatan 9 m/s	
	Eksperimental	Simulasi	Eksperimental	Simulasi	Eksperimental	Simulasi
0.3	1078	1128	698	751	501	533
0.6	769	815	488	528	412	454

2.6.3 Peneliti Oleh Yong Liu

Makalah ini menyajikan studi sistematis aliran dingin karakteristik bahan bakar pusat pusaran kaya burner. Medan aliran di outlet burner sesuai dengan variasi primary dan rasio *primary air* diukur. Dengan penurunan rasio *primary air* dan peningkatan rasio *secondary air*, intensitas *swirl* dari jet meningkat, pencampuran antara udara primer dan sekunder adalah ditingkatkan, dan difusi luar dari jet meningkat. Bersamaan titik awal dari zona resirkulasi bergerak menuju *outlet* dari *burner*. Juga zona ini diameter maksimum dan panjang aksial keduanya meningkat tapi lebih sangat dipengaruhi oleh perubahan daripada mengubah rasio *secondary air*. Pengaruh ini terbalik dengan memperhatikan intensitas turbulensi, menjadi lemah untuk mengubah rasio udara utama daripada mengubah rasio udara sekunder.

Tabel 2. 4 *Experimental Parameters Associated With Each Primary Air Ratio*

Parameter	Case 1	Case 2	Case 3	Case 4	Case 5	Case 6
Inner secondary air ratio	30%	35%	40%	45%	50%	55%
Primary air mass flow rate (kg/s)	0.0262	0.0262	0.0262	0.0262	0.0262	0.0262
Inner secondary air mass flow rate (kg/s)	0.0227	0.0264	0.0302	0.0340	0.0378	0.0415
Outer secondary air mass flow rate (kg/s)	0.0529	0.0492	0.0457	0.0416	0.0378	0.0339
swirl number	0.354	0.365	0.375	0.387	0.399	0.412
Air temperature (°C)	20					

Tabel 2. 5 *Experimental Parameters Associated With Each Inner Secondary Air Ratio*

Parameter	Case 1	Case 2	Case 3	Case 4	Case 5	Case 6
Primary air ratio	15%	20%	25%	27.5%	30%	35%
Primary air mass flow rate (kg/s)	0.0134	0.0189	0.0252	0.0288	0.0325	0.0407
Inner secondary air mass flow rate (kg/s)	0.0303	0.0303	0.0303	0.0303	0.0303	0.0303
Outer secondary air mass flow rate (kg/s)	0.0454	0.0454	0.0454	0.0454	0.0454	0.0454
swirl number	0.453	0.422	0.391	0.375	0.358	0.321
Air temperature (°C)	20					

Dalam mengubah rasio udara sekunder, yaitu penurunan luar udara secondary air sambil meningkatkan udara sekunder bagian dalam, dan *vice versa*, kami mempertahankan tingkat total volume secondary air secara konstan. Dari karakteristik burner kami, sesuai rasio udara sekunder bagian dalam adalah 30%, 35%, 40%,

45%, 50%, dan 55%. Nilai spesifik primer untuk rasio udara sekunder adalah 27,5% sampai 72,5%. Tabel 2.5 berisi daftar parameter eksperimental yang diberikan pada rasio udara sekunder[16].

Distribusi udara memiliki dampak signifikan pada bidang aliran jet pada *swirl burners*. Dengan meningkatnya rasio *primary air* dari 15% sampai 35%, titik awal dari *recirculation zona* dari $x/d=0,05$ sampai $x/d=0,26$, diameter maksimum menurun dari 1.27d ke 0.75d dan panjang aksial menurun dari 1.43d ke 0.68d. dengan naiknya *inner secondary air ratio*, dari 30% menjadi 55%, diameter maksimum menurun dari 0,87d sampai 1,13d dan panjang aksial meningkat dari 0,91d sampai 1,25d. dengan penurunan rasio *primary air* atau peningkatan rasio *inner secondary air*, intensitas pada *swirl* meningkat, pencampuran *primary air* dan *secondary air* meningkat dan difusi pada jet meningkat sehingga kekakuan pada jet menurun. Di satu sisi, pengaruh pada kecepatan aksial dan kecepatan tangensial dari perubahan rasio *primary air* lebih besar dibandingkan pada rasio *inner secondary air*. Di sisi lain, dibandingkan pada perubahan rasio *inner secondary air*, perubahan rasio *primary air* menjadi berkurang dampaknya pada kecepatan radial dan *turbulence intensity*.

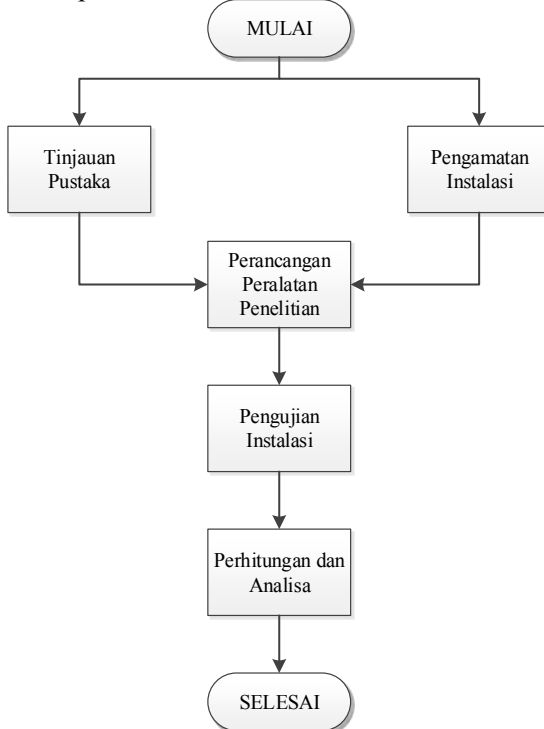
Halaman ini sengaja dikosongkan

BAB III

METODOLOGI PENELITIAN

1.1 Tahapan Pengerjaan Tugas Akhir

Agar penelitian ini dapat mencapai tujuan yang diinginkan seperti yang tercantum pada tujuan, maka perlu dilakukan langkah – langkah yang sesuai dengan prosedur pengerjaan. Prosedur analisa akan dijelaskan melalui flowchart pada Gambar 3.1 dibawah ini:



Gambar 3. 1 Flowchart Pengerjaan Tugas Akhir

1.2 Penjelasan Flowchart Pengerjaan Tugas Akhir

Proses dalam menyelesaikan tugas akhir ini melalui beberapa tahap sebagai berikut:

1.2.1 Tinjauan Pustaka

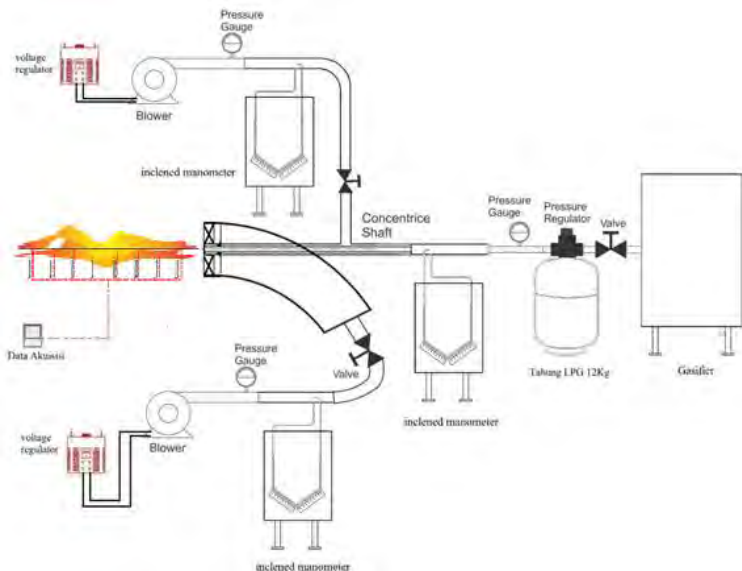
Tahapan awal adalah melakukan studi literatur dengan tujuan untuk merangkum teori-teori dasar, acuan secara umum dan khusus, serta untuk memperoleh berbagai informasi pendukung lainnya yang berhubungan dengan penggerjaan Tugas Akhir ini. Studi literatur ini diperoleh dari buku-buku yang berhubungan dengan proses penelitian dan jurnal-jurnal penelitian yang berhubungan dengan penelitian ini. Selain itu studi literatur juga dilakukan dengan cara observasi instalasi dan tambahan pengetahuan melalui internet. Pada studi literatur ini juga meliputi mencari dan mempelajari bahan pustaka yang berkaitan dengan segala permasalahan mengenai burner dengan bahan bakar *syngas* serbuk kayu dan perbandingan variasi *primary and secondary air*.

1.2.2 Pengamatan Instalasi

Setelah membaca studi literatur, kami melakukan pengamatan instalasi yang dirancang sebelumnya oleh Mahatma dan Henik secara langsung. Pengamatan instalasi ini dimaksudkan untuk memperoleh gambaran lebih detail mengenai perancangan sebuah burner berbahan bakar *syngas* beserta karakteristik dan permasalahannya. Dari pengamatan instalasi ini kami mempunyai rencana untuk mengupgradenya dengan *variasi primary and secondary air* dan mengoptimasi suhu nyala api hingga mencapai 1000°C.

1.2.3 Perancangan Peralatan Penelitian

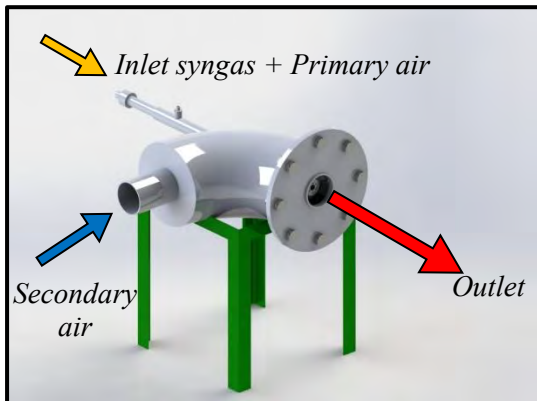
Dalam penelitian ini, peralatan yang digunakan seperti Gambar 3.2 dibawah ini:



Gambar 3. 2 Skema Penelitian

Adapun peralatan penelitian yang digunakan adalah sebagai berikut:

1. *Burner*



Gambar 3. 3 Burner

2. *Blower* Sentrifugal

Blower Sentrifugal ini digunakan pada saluran udara pembakar, berfungsi untuk mengalirkan udara masuk agar pembakaran lebih sempurna. Dengan spesifikasi berikut :

Merk	: Generic
Tipe	: sentrifugal
Berat	: 5 kg
Daya	: 370 W
Diameter Output	: 3"
Kecepatan	: 3000 Rpm



Gambar 3. 4 Blower Sentrifugal

3. Pemantik api

Pemantik api befungsi untuk memantikkan/menyalakan api pada bahan bakar *syngas* sehingga pembakaran dapat terjadi.



Gambar 3. 5 Pemantik Api

4. *Thermocouple type K*

Thermocouple digunakan mengetahui temperatur api hasil pembakaran. *Thermocouple* yang digunakan adalah type K. Type ini memiliki range temperatur 50°C – 1300°C.



Gambar 3. 6 *Thermocouple Type K*

5. Pressure Gauge

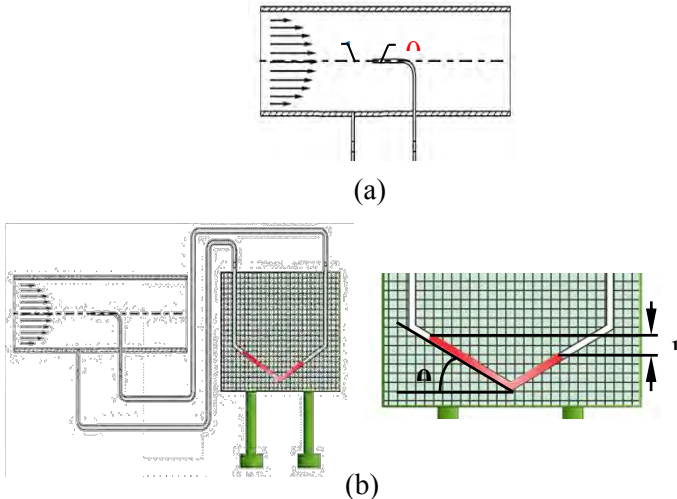
Pressure gauge yang digunakan berskala maksimal 100 mbar. Alat ini digunakan untuk mengukur tekanan suplai bahan bakar gas yang dikonsumsi oleh *burner*.



Gambar 3. 7 Pressure Gauge

6. *Pitot static tube dan Inclined manometer*

Alat ini dipergunakan untuk mengukur jumlah udara masuk yang disuplai ke ruang bakar.



Gambar 3. 8(a) Konfigurasi *pitot static tube* (b) *Inclined Manometer*
 $\Theta = 15^\circ$

Pitot static tube dihubungkan dengan *inclined manometer* untuk mengetahui besarnya perbedaan ketinggian cairan pada *inclined manometer* yang nantinya akan digunakan untuk mengetahui *mass flow rate* udara dan syngas yang masuk ke ruang bakar dengan menggunakan persamaan *Bernoulli* sebagai berikut:

$$\frac{P_1}{\rho} + \frac{V_1^2}{2} + gz_1 = \frac{P_2}{\rho} + \frac{V_2^2}{2} + gz_2 \quad (3.1)$$

Dimana:

P_2 : tekanan stagnasi pada titik 2 (Pa)

P_1 : tekanan statis pada titik 1 (Pa)

ρ : massa jenis (kg/m^3)

V_1 : kecepatan di titik 1 (m/s)

V_2 : kecepatan di titik 2, kecepatan pada P stagnasi = 0 (m/s)

Dengan mengasumsikan $\Delta z = 0$ maka persamaannya menjadi:

$$\frac{V_1^2}{2} = \frac{P_2}{\rho} - \frac{P_1}{\rho} \quad (3.2)$$

Sehingga dari persamaan diatas untuk mendapatkan kecepatan udara yang masuk ke dalam ruang bakar menjadi:

$$V_1 = V = \sqrt{2 \left(\frac{P_2 - P_1}{\rho} \right)} \left(\frac{m}{s} \right) \quad (3.3)$$

Dimana:

$$P_2 - P_1 = \rho_{red\ oil} x g x l = \rho_{H2O} x g x l (SG_{red\ oil})$$

$\Delta l = 2(l_2 - l_1) \sin \theta$ dan $(l_2 - l_1)$ adalah perbedaan ketinggian cairan pada inclined manometer dengan $\theta = 15^\circ$, maka persamaan menjadi:

$$V = \sqrt{\frac{2x\rho_{H2O}xSG_{red\ oil}xg x 2(\Delta l) \sin \theta}{\rho}} \left(\frac{m}{s} \right) \quad (3.4)$$

Dimana:

$SG_{red\ oil}$: spesific gravity red oil

ρ_{H2O} : massa jenis air $T=27^\circ\text{C}$ (997 kg/m^3)

ρ_{udara} : massa jenis udara $T=32^\circ\text{C}$ ($1,1447 \text{ kg/m}^3$)

L : selisih ketinggian cairan pada manometer (m)

θ : besar sudut yang digunakan pada manometer V ($^\circ$)

Namun V merupakan kecepatan maksimal, terlihat dari profil kecepatan aliran pada *internal flow*. Hal ini dikarenakan posisi pitot berada pada *centerline* pipa. Sehingga perlu dirubah menjadi *average velocity* (\bar{V}) yang dapat dirumuskan sebagai berikut:

$$\frac{\bar{V}}{V_{max}} = \frac{2n^2}{(n+1)(2n+1)} \quad (3.5)$$

Dimana:

\bar{V} : Kecepatan rata – rata (m/s)

V_{max} : Kecepatan maksimal dari profil kecepatan aliran.

n : *variation of power law exponent*. Yang di rumuskan sebagai berikut:

$$n = -1,7 + 1,8 \log Re_{V_{max}} \quad (3.6)$$

Nilai dari Re dapat dirumuskan sebagai berikut:

$$Re = \frac{\rho V D}{\mu} \quad (3.7)$$

Dimana:

Re : bilangan *reynold number*

ρ : massa jenis (kg/m^3)

D : diameter (m)

μ : *dynamic viscosity* ($\text{N.s}/\text{m}^2$)

untuk $Re_{V_{max}} > 2 \times 10^4$ (aliran turbulen).

Sedangkan untuk aliran laminar dapat diperoleh melalui persamaan berikut:

$$V_{max} = 2\bar{V} \quad (3.8)$$

Penggunaan *pitot tube with static wall pressure tap and inclined manometer* digunakan untuk memperoleh mass flow *syngas* dan mass flow udara yaitu langkah-langkahnya sebagai berikut:

1. Pada setiap variasi tekanan *syngas* dan udara lihat beda ketinggian masing-masing *inclined manometer*.
2. Dalam percobaan ini tekanan dan voltage regulator masing-masing memiliki 5 macam variasi. Variasi tekanan yang digunakan adalah 0,2 bar, 0,4 bar, 0,6 bar, 0,8 bar dan 1 bar. Kemudian variasi *voltage regulator*.
3. Kemudian diperoleh perbedaan ketinggian *red water* yaitu Δl pada masing-masing *inclined manometer* *syngas* dan udara.
4. Hasil nilai dari perbedaan ketinggian red water yang didapatkan dimasukkan pada persamaan berikut ini:

$$V_{udara} = \sqrt{\frac{2x\rho_{H_2O}xSG_{red\ oil}x g x 2(\Delta l) \sin \theta}{\rho_{udara}}} \quad (3.9)$$

$$V_{syngas} = \sqrt{\frac{2x\rho_{H_2O}xSG_{red\ oil}x g x 2(\Delta l) \sin \theta}{\rho_{syngas}}} \quad (3.10)$$

5. Hasil nilai dari V_{udara} dan V_{syngas} dimasukkan ke dalam persamaan sebagai berikut ini:

$$\dot{m}_{udara} = \rho_{udara}xV_{udara}xA_{inlet\ udara} \quad (3.11)$$

$$\dot{m}_{syngas} = \rho_{syngas}xV_{syngas}xA_{syngas} \quad (3.12)$$

- Dengan $A = \frac{1}{4}\pi D^2$, dimana D adalah diameter dari pipa *inlet syngas* dan diameter pipa *inlet* udara.
6. Maka akan didapatkan hasil nilai dari \dot{m}_{udara} dan \dot{m}_{syngas}
 7. Ulangi langkah 2 sampai 6 dengan variasi tekanan 0,2 bar sampai 1 bar dan variasi penambahan *voltage regulator* sebesar 100V sampai 200V.
 7. Voltage regulator
Alat ini berfungsi sebagai pengatur tegangan udara yang masuk ke dalam ruang bakar.



Gambar 3. 9 Voltage Regulator

1.3 Perencanaan dan perencanaan eksperimen

1.3.1 Parameter Percobaan

Dalam perancangan eksperimen ini ada beberapa parameter yang ingin didapatkan dalam percobaan ini dengan menetapkan parameter input. Parameter-parameter tersebut dinyatakan sebagaimana dinyatakan dalam Tabel 3.1 yaitu :

Tabel 3. 1 Perencanaan percobaan

Parameter input		Parameter output		Visualisasi
Tetap	Berubah	Pengukuran	Perhitungan	
Bahan bakar <i>syngas biomassa</i> serbuk kayu	Tekanan bahan bakar: 0,2; 0,4; 0,6; 0,8; 1 (bar)	Perbedaan ketinggian level manometer (Δl) bahan bakar Temperatur nyala api	\dot{m}_{syngas}	Nyala api
Diameter = 10 mm	$\dot{m}_{primary}$: 0,01; 0,015; 0,02; 0,025; 0,03 (kg/s) $\dot{m}_{secondary}$: 0,04; 0,05; 0,06; 0,07;0,08 (kg/s)	Perbedaan ketinggian level manometer (Δl) udara	Daya, efisiensi, konsumsi bahan bakar	Panjang api

Tabel 3. 2 Rancangan Eksperimen

KONDISI BAHAN BAKAR (bar)	PRIMARY AIR (kg/s)	SECONDARY AIR (kg/s)
$P_1 = 0,2$	0,01	0,04
$P_2 = 0,4$	0,015	0,05
$P_3 = 0,6$	0,02	0,06
$P_4 = 0,8$	0,025	0,07
$P_5 = 1$	0,03	0,08

Tabel 3. 3 *Mapping* Rancangan Eksperimen

<i>PRIMARY AIR</i>	<i>SECONDARY AIR</i>	Perbandingan <i>primary</i> dan <i>secondary air</i>
0,01	0,04	20%
	0,05	16%
	0,06	14%
	0,07	12,5%
	0,08	11%
0,015	0,04	27%
	0,05	23%
	0,06	20%
	0,07	17,6%
	0,08	15,7%
0,02	0,04	33%
	0,05	28%
	0,06	25%
	0,07	22%
	0,08	20%
0,025	0,04	38%
	0,05	33%
	0,06	29%
	0,07	26%
	0,08	24%
0,03	0,04	43%
	0,05	37%
	0,06	33%
	0,07	30%
	0,08	27%

1.3.2 Langkah Persiapan Alat

Langkah awal yang dilakukan untuk pengujian adalah tahap persiapan. Berikut tahapan-tahapan persiapan :

1. Persiapkan seluruh alat yang akan digunakan seperti *Burner*, *Blower*, dan Alat ukur.
2. Pastikan semua alat yang akan digunakan dalam kondisi baik dan berfungsi normal.
3. Susun peralatan yang telah disiapkan sesuai dengan gambar skema alat pengujian (Gambar 3.2).
4. Pastikan alat tersusun dengan baik dan siap untuk melakukan pengujian.

1.3.3 Langkah Pengujian

Tahapan pengujian ini merupakan tahapan menfungsikan *burner* gas dan menghasilkan api. Berikut langkah-langkah yang dilakukan :

1. Sambungkan inlet *syngas* ke *burner*.
2. Pastikan tidak terjadi kebocoran pada rangkaian alat pengujian.
3. Atur *pressure regulator syngas* dengan awal penyalaan sebesar $P = 0,2$ bar.
4. Nyalakan api dengan pemantik api di ujung *burner*.
5. Nyalakan blower untuk masukan secondary air
6. Tunggu nyala api sampai stabil dan ambil data.

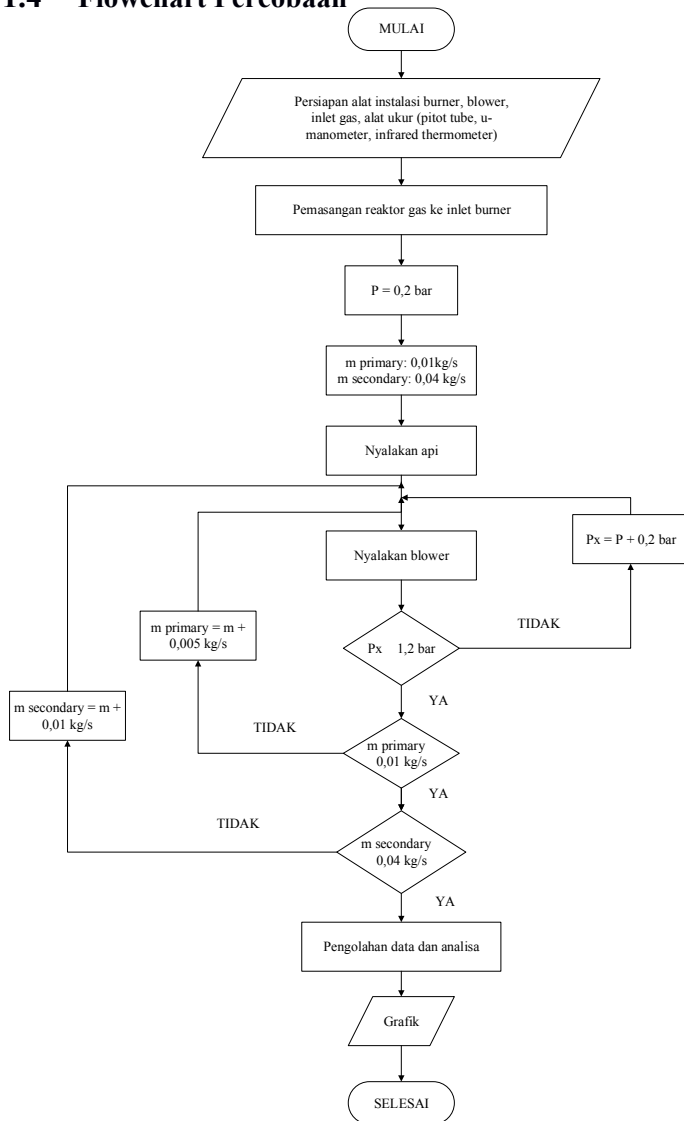
1.3.4 Langkah pengambilan data

Pada tahap pengambilan data dengan memvariasikan tekanan *syngas* dan, bukaan *voltage regulator blower* langkah-langkahnya adalah sebagai berikut:

1. Atur tekanan awal *syngas* 0,2 bar.
2. Variasikan $\dot{m}_{primary}$ sebesar 0,01 kg/s dan $\dot{m}_{secondary}$ sebesar 0,04 kg/s.
3. Tunggu beberapa menit.
4. Ambil data.
5. Ulangi percobaan 1 sampai 4 dengan variasi tekanan *syngas* 0,2; 0,4; 0,6; 0,8; 1 (bar).

6. Ulangi percobaan 1 sampai 5 dengan variasi $\dot{m}_{primary}$ sebesar 0,01; 0,015; 0,02; 0,025; 0,03 (kg/s) dan $\dot{m}_{secondary}$:0,04; 0,05; 0,06; 0,07; 0,08 (kg/s).
7. Setelah pengambilan data selesai, posisikan kembali pressure regulator pada posisi 0 dan matikan blower pada posisi voltage regulator 0.

1.4 Flowchart Percobaan



Gambar 3. 11 Flowchart Percobaan

BAB IV

ANALISA DATA DAN PEMBAHASAN

Pada bab ini akan menjelaskan mengenai perhitungan-perhitungan yang diperlukan dalam penelitian. Perhitungan yang dimaksud adalah perhitungan dari karakterisasi unjuk kerja *burner* gas antara lain daya burner, efisiensi, *air fuel ratio* (AFR) dan konsumsi bahan bakar spesifik serta hasil analisa dan pembahasan grafik, distribusi temperatur dan visualisasi nyala api. Berikut adalah data-data yang didapat dari hasil penelitian:

1.1 Data hasil penelitian

1.1.1 Properties Bahan Bakar

Berdasarkan hasil pengujian yang dilakukan Mahatma [13], kandungan yang ada dalam gas adalah sebagai berikut:

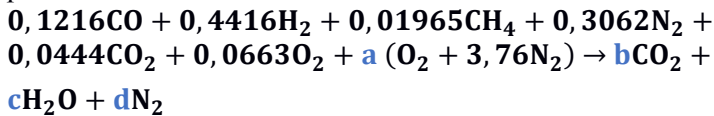
Tabel 4. 1 Besarnya komposisi kandungan *syngas* serbuk kayu

Komposisi	Presentase massa (%)	Berat Mol (kg/kmol) [12]	(kmol.%)	Basis mol (kmol.%)
<i>CO</i>	19,57	28,01	0,0069	0,1216
<i>H</i> ₂	5,34	2,106	0,0253	0,4416
<i>CH</i> ₄	1,81	16,04	0,0011	0,0196
<i>N</i> ₂	11,23	28,01	0,0175	0,3062
<i>CO</i> ₂	49,26	44,01	0,0025	0,0444
<i>O</i> ₂	12,79	32	0,0038	0,0663
TOTAL			0,0574	1

1.1.2 Analisa Reaksi Pembakaran

Berikut adalah hasil reaksi pembakaran gas hasil gasifikasi biomassa serbuk kayu. Koefisien reaksi pembakaran

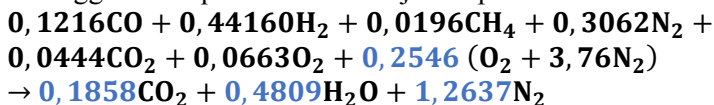
gas dapat diperoleh dari basis mol *syngas* yang dapat dilihat pada Tabel 4.1.



Menyetarkan koefisien reaktan dan produk persamaan reaksi pembakaran:

$$\begin{aligned} C & : 0,12168 + 0,01965 + 0,04444 = b \\ & \quad b = 0,1858 \\ H & : (2x0,44160) + (4x0,01965) = 2c \\ & \quad c = 0,4809 \\ O & : 0,12168 + (2x0,04444) + (2x0,06634) + 2a = \\ 2b + c & 0,12168 + (2x0,04444) + (2x0,06634) + 2a = \\ & (2x0,1858) + 0,4809 \\ & \quad a = 0,2546 \\ N & : (2x0,30629) + (ax3,76x2) = 2d \\ & (2x0,30629) + (0,25463x3,76x2) = 2d \\ & \quad d = 1,2637 \end{aligned}$$

Sehingga reaksi pembakaran menjadi seperti berikut ini:



Tabel 4. 2 *Molecular Weight* pada masing-masing komposisi *syngas* serbuk kayu

Komposisi	Presentase massa (%)	<i>Molecular Weight</i> (kg/kmol)
CO	19,57	28,01
H ₂	5,34	2,106
CH ₄	1,81	16,04
N ₂	11,23	28,01

CO_2	49,26	44,01
O_2	12,79	32

Untuk menghitung rasio udara bahan bakar dengan basis massa diperlukan *molecular weight* yang didapatkan dari Tabel A1 Termodinamika, berikut adalah perhitungan pada masing-masing komponen syngas serbuk kayu:

$$\begin{aligned}
 CO &: \frac{19,57}{100} x 28,01 = 5,481 \frac{kg}{kmol} \\
 H_2 &: \frac{5,34}{100} x 2,016 = 0,0264 \frac{kg}{kmol} \\
 CH_4 &: \frac{1,81}{100} x 16,04 = 0,2903 \frac{kg}{kmol} \\
 CO_2 &: \frac{11,23}{100} x 44,01 = 4,9423 \frac{kg}{kmol} \\
 N_2 &: \frac{49,26}{100} x 28,01 = 13,7977 \frac{kg}{kmol} \\
 O_2 &: \frac{12,79}{100} x 32 = 4,0928 \frac{kg}{kmol} \\
 \text{TOTAL} &= 28,6305 \frac{kg}{kmol}
 \end{aligned}$$

Rasio udara bahan bakar dengan basis mol adalah:

$$\begin{aligned}
 AF &= \frac{0,2546 + 0,2546(3,76)}{1} \\
 &= 1,212 \frac{kmol(\text{udara})}{kmol(\text{bahan bakar})}
 \end{aligned}$$

Rasio udara bahan bakar dengan basis massa adalah:

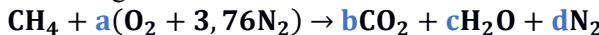
AF

$$AF = \left[1,212 \frac{kmol(\text{udara})}{kmol(\text{bahan bakar})} \right] \left[\frac{28,97 \frac{kg(\text{udara})}{kmol(\text{udara})}}{28,6305 \frac{kg(\text{bahan bakar})}{kmol(\text{bahan bakar})}} \right]$$

$$AF = 1,2263 \frac{kg(\text{udara})}{kg(\text{bahan bakar})}$$

Sedangkan berikut adalah kebutuhan udara teoritis untuk pembakaran tuntas terhadap gas metana. Untuk reaksi ini,

produk yang dihasilkan hanya mengandung karbondioksida, air dan nitrogen. Reaksi tersebut adalah:



Menyetarkan koefisien reaktan dan produk persamaan reaksi pembakaran:

$$C : b = 1$$

$$H : 4 = 2c$$

$$c = 2$$

$$O : 2a = 2b + c$$

$$2a = (2 \times 1) + 2$$

$$a = 2$$

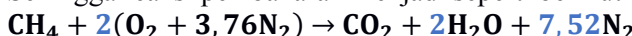
$$N : ax3,76x2 = 2d$$

$$3,76a = d$$

$$d = 3,76 \times 2$$

$$d = 7,52$$

Sehingga reaksi pembakaran menjadi seperti berikut ini:



Rasio udara bahan bakar dengan basis mol adalah:

$$\overline{AF} = \frac{2 + 2(3,76)}{1} = 9,52 \frac{\text{kmol(udara)}}{\text{kmol(bahan bakar)}}$$

Rasio udara bahan bakar dengan basis massa adalah:

AF

$$= \left[9,52 \frac{\text{kmol(udara)}}{\text{kmol(bahan bakar)}} \right] \left[\frac{28,97 \frac{\text{kg(udara)}}{\text{kmol(udara)}}}{16,04 \frac{\text{kg(bahan bakar)}}{\text{kmol(bahan bakar)}}} \right]$$

$$AF = 17,19 \frac{\text{kg(udara)}}{\text{kg(bahan bakar)}}$$

1.1.3 Low Heating Value (LHV) syngas

Dari nilai presentase komposisi syngas dapat dilakukan perhitungan LHV syngas biomassa serbuk kayu, berikut adalah persamaan untuk mencari LHV *syngas*.

$$LHV_{GAS} = \sum_{i=1}^n (Y_i \cdot LHV_i)$$

Dimana:

Y_i : konsentrasi gas yang terbakar dalam basis massa
 LHV_i : nilai kalor rendah dari gas yang terbakar (kJ/kg)

Nilai LHV_i dapat dilihat pada tabel di bawah LHV_i dari gas yang terbakar (CO, CH_4, H_2). Berikut Tabel komposisi LHV_{syngas} :

Tabel 4. 3 *Low Heating Value (LHV) [17]*

Nilai kalor bawah (LHV_i) gas yang terbakar		
CO	H_2	CH_4
(kJ/kg)	(kJ/kg)	(kJ/kg)
10110	119494	49915

- Y_i untuk gas $CO = 19,57\% = 0,1957$
- Y_i untuk gas $H_2 = 5,34\% = 0,0534$
- Y_i untuk gas $CH_4 = 1,81\% = 0,0181$

$$LHV_{syngas} = \sum_{i=1}^n (0,1957 \times 1101110) + (0,0534 \times 119494) \\ + (0,0181 \times 49915)$$

$$LHV_{syngas} = 9262,96 \frac{kJ}{kg}$$

1.2 Perhitungan Data

Pada langkah perhitungan data akan didapatkan hasil penelitian. Data yang didapatkan diantaranya adalah temperatur api dan m_{syngas} . Dari data yang diperoleh tersebut maka dapat

dihitung sehingga didapatkan daya burner, konsumsi bahan bakar spesifik dan efisiensi *burner*.

1.2.1 Perhitungan Air Fuel Ratio (AFR)

Perhitungan Air Fuel Ratio (AFR) dapat dirumuskan sebagai berikut:

$$AFR = \frac{\dot{m}_{udara}}{\dot{m}_{syngas}}$$

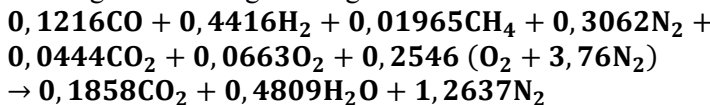
Dengan menggunakan data $\dot{m}_{primary} = 0,01 \frac{kg}{s}$,
 $\dot{m}_{secondary} = 0,07 \frac{kg}{s}$ dan $\dot{m}_{syngas} = 0,02244 \frac{kg}{s}$

$$AFR = \frac{\dot{m}_{udara}}{\dot{m}_{syngas}}$$
$$AFR = \frac{\dot{m}_{primary} + \dot{m}_{secondary}}{\dot{m}_{syngas}}$$
$$AFR = \frac{(0,01 + 0,07) \frac{kg}{s}}{0,02244 \frac{kg}{s}}$$

$$AFR = 3,5650$$

1.2.2 Perhitungan entalpi pembakaran

Dengan mengacu pada persamaan reaksi pembakaran *syngas* yang sudah disetarakan sebelumnya, maka dapat dihitung kesetimbangan energi.



Maka kesetimbangan energi yang terjadi pada reaksi pembakaran diatas adalah:

$$entalpi\ reaktan = entalpi\ produk + Q$$

$$h_R = h_p + Q$$

$$-Q = h_p - h_R = entalpi\ pembakaran$$

$$h_{RP} = h_p - h_R$$

Karena reaktan dan produk merupakan suatu campuran gas dengan jumlah mol tertentu, maka dalam basis mol persamaan menjadi:

$$\bar{h}_{RP} = \sum_P n_p \bar{h}_P - \sum_R n_R \bar{h}_R$$

1.2.1.1 Perhitungan entalpi pembakaran produk

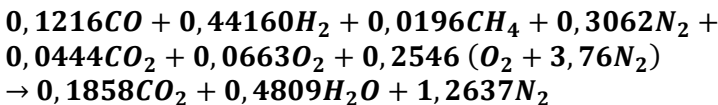
Dengan melakukan contoh perhitungan pada $\dot{m}_{primary} = 0,01 \frac{kg}{s}$, $\dot{m}_{secondary} = 0,05 \frac{kg}{s}$, $P = 0,6\ bar$ dan $T = 583^{\circ}K$

$$\begin{aligned}\Sigma_P n_p \bar{h}_P &= 0,1858[(\bar{h}_f^0) + (\Delta \bar{h})]_{CO_2} + 0,4809[(\bar{h}_f^0) + \\&(\Delta \bar{h})]_{H_2O} + 1,2637[(\bar{h}_f^0) + (\Delta \bar{h})]_{N_2} \\ \Sigma_P n_p \bar{h}_P &= 0,1858[(-393520 + 12317)]_{CO_2} + \\&0,4809[(-241800 + 9820,3)]_{H_2O} + 1,2637[(0 + 8329)]_{N_2} \\ \sum_P n_p \bar{h}_P &= -171861,1978\ kJ/kmol\end{aligned}$$

Nilai entalpi pembentukan standar untuk CO₂, H₂O dan N₂ diperoleh dari (Tabel A-25 *Thermophysical properties of gases at atmospheric pressure*). Sedangkan nilai entalpi spesifik untuk CO₂, H₂O dan N₂ diperoleh dari (Tabel A-23 *Thermophysical properties of gases at atmospheric pressure*) melalui interpolasi temperatur rata-rata keluaran syngas dari *burner* pada masing-masing pengambilan data.

1.2.1.2 Perhitungan entalpi pembakaran reaktan

Dengan melakukan contoh perhitungan pada $\dot{m}_{primary} = 0,01 \frac{kg}{s}$, $\dot{m}_{secondary} = 0,05 \frac{kg}{s}$, $P = 0,6 \text{ bar}$ dan $T = 583^\circ K$



$$\begin{aligned} \sum_P n_R \bar{h}_R &= 0,1216[(\bar{h}_f^0) + (\Delta \bar{h})]_{CO} + 0,4416[(\bar{h}_f^0) + \\ & (\bar{c}_p \cdot \Delta T)]_{H_2} + 0,0196[(\bar{h}_f^0) + (\bar{c}_p \cdot \Delta T)]_{CH_4} + \\ & 0,0444[(\bar{h}_f^0) + (\Delta \bar{h})]_{N_2} + 0,0663[(\bar{h}_f^0) + (\Delta \bar{h})]_{CO_2} + \\ & 0,3062[(\bar{h}_f^0) + (\Delta \bar{h})]_{O_2} \\ \sum_P n_R \bar{h}_R &= 0,12168[(-110530 + 8362)]_{CO} + \\ & 0,4416[29,329 + (583 - 300)]_{H_2} + 0,01965[(-74850 + \\ & (51,156(583 - 300))]_{CH_4} + 0,04444[21478 - 9431]_{N_2} + \\ & 0,06634[17386 - 8736]_{CO_2} + 0,30629[17052 - 8723]_{O_2} \end{aligned}$$

$$\sum_P n_R \bar{h}_R = -6291,45 \text{ kJ/kmol}$$

Nilai entalpi pembentukan standar untuk CO, H₂, CH₄, N₂, CO₂ dan O₂ diperoleh dari Tabel A-25 (*Thermophysical properties of gases at atmospheric pressure*). Sedangkan entalpi spesifik untuk CO, H₂, CH₄, N₂, CO₂ dan O₂ diperoleh dari Tabel A-23 (*Thermophysical properties of gases at atmospheric pressure*) melalui interpolasi temperatur rata-rata keluaran *syngas* dari *burner* pada masing-masing pengambilan data.

Sedangkan entalpi spesifik untuk H₂ dan CH₄ diperoleh melalui persamaan:

$$(\Delta \bar{h}) = \bar{c}_p \cdot \Delta T$$

Harga \bar{c}_p diperoleh dari Tabel A-21 adalah:

$$\bar{c}_{p_{H_2}} = 29,329 \text{ kJ/kmol.K}$$

$$\bar{c}_{p_{CH_4}} = 51,156 \text{ kJ/kmol.K}$$

Sehingga entalpi pembakaran gas hasil pembakaran dalam basis mol adalah:

$$\bar{h}_{RP} = \sum_P n_p \bar{h}_P - \sum_R n_R \bar{h}_R$$

$$\bar{h}_{RP} = [-171861,1978 - (-6291,45)] \text{ kJ/kmol}$$

$$\bar{h}_{RP} = -165569,7478 \text{ kJ/kmol}$$

Untuk mengetahui entalpi pembakaran dalam basis massa, maka perlu diketahui massa molar rata-rata dari gas, yaitu:

$$M_{rata-rata} = \sum n_i \cdot M_i$$

Tabel 4. 4 Koefisien reaktan kandungan gas

Komposisi	Koefisien Reaktan	Mi	Molar rata-rata
CO	0.1957	28.01	5.48
H ₂	0.0534	2.106	0.11
CH ₄	0.0181	16.04	0.29
N ₂	0.4926	28.01	13.80
CO ₂	0.1123	44.01	4.94
O ₂	0.1279	32	4.09
TOTAL			28,97

Maka entalpi pembakaran dalam basis massa adalah:

$$h_{RP} = \left[\frac{\bar{h}_{RP}}{M_{rata-rata}} \right]$$

$$h_{RP} = \frac{-165569,7478 \text{ kJ/kmol}}{28,72 \text{ kJ/kg}}$$

$$h_{RP} = 5764,963 \text{ kJ/kg}$$

4.2.3 Perhitungan Energi Pembakaran

Perhitungan energi pembakaran dapat dirumuskan sebagai berikut:

$$\begin{aligned} \text{energi pembakaran} &= \dot{m}_{syngas} \times LHV \\ \text{energi pembakaran} &= 0,02805 \frac{\text{kg}}{\text{s}} \times 9262,968 \frac{\text{kJ}}{\text{kg}} \\ \text{energi pembakaran} &= 259,8262 \text{ kW} \end{aligned}$$

4.2.4 Perhitungan daya burner

Untuk menghitung daya burner dapat dirumuskan sebagai berikut:

$$\begin{aligned} \text{daya burner} &= \dot{m}_{syngas} \times h_{RP} \\ \text{daya burner} &= 0,02805 \frac{\text{kg}}{\text{s}} \times 5764,963 \frac{\text{kJ}}{\text{kg}} \\ \text{daya burner} &= 141,6452 \text{ kW} \end{aligned}$$

4.2.5 Efisiensi Burner

Dari perhitungan daya burner dan energi pembakaran dapat ditentukan efisiensi burner, yaitu:

$$\begin{aligned} \eta_{burner} &= \frac{\text{daya burner}}{\text{energi pembakaran}} \times 100\% \\ \eta_{burner} &= \frac{141,6452 \text{ kW}}{365,3315 \text{ kW}} \times 100\% \\ \eta_{burner} &= 0,3877 \times 100\% \\ \eta_{burner} &= 38,77\% \end{aligned}$$

4.2.6 SFC burner

Untuk menghitung daya burner dapat dirumuskan sebagai berikut:

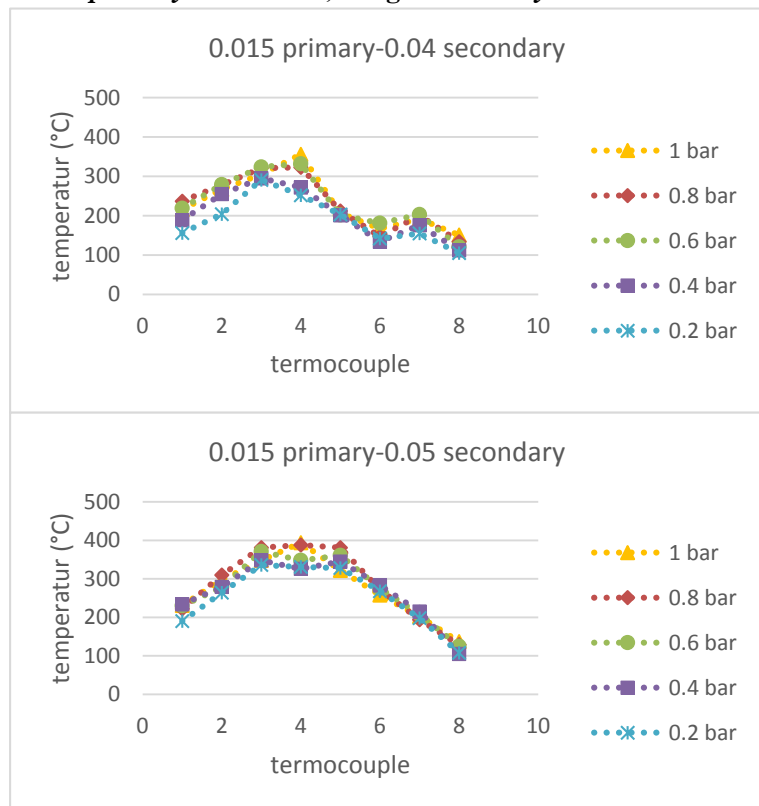
$$SFC = \frac{\dot{m}_{syngas} (\frac{\text{kg}}{\text{s}})}{\text{Daya Burner}(kW)} \times \frac{3600 \text{ s}}{1 \text{ h}}$$

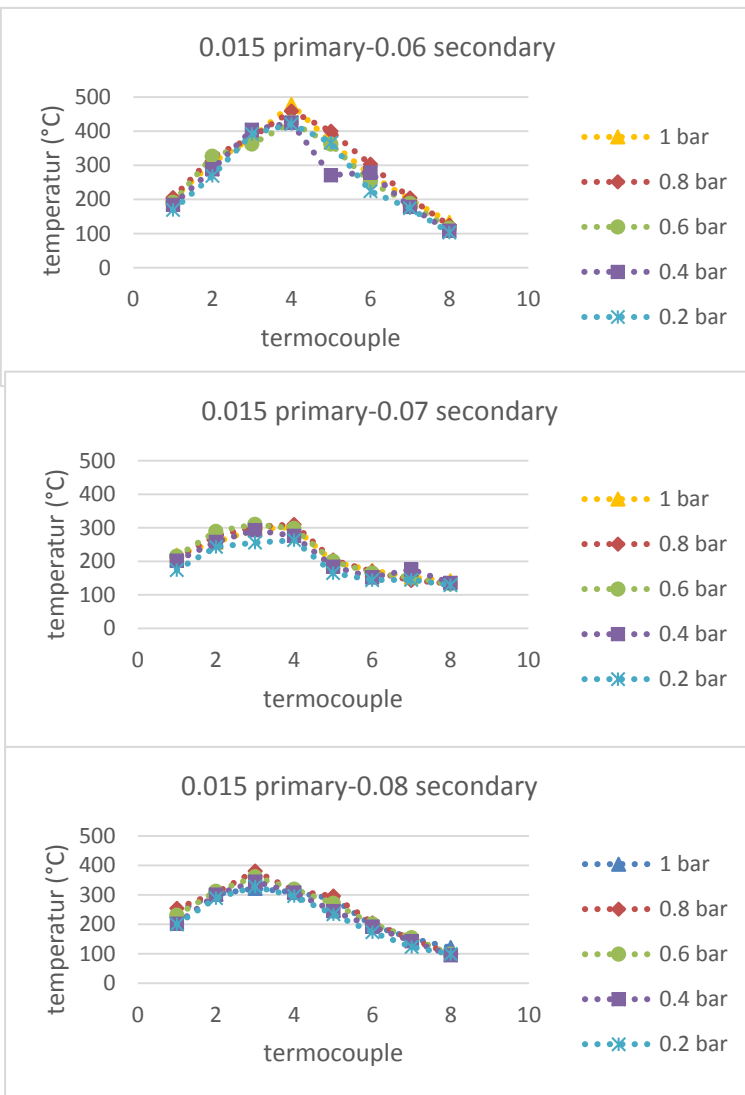
$$SFC = \frac{0,02805 \frac{kg}{s}}{141,6452 kW} \times \frac{3600 s}{1 h}$$

$$SFC = 1,0024 \frac{kg}{kw.h}$$

1.3 Analisa Grafik

1.3.1 Grafik fungsi temperatur dan tekanan 0.015 kg/s primary dan 0.04-0,06 kg/s secondary





Gambar 4. 1 Grafik temperatur dan tekanan 0,015 kg/s
primary dan 0,04-0,06 kg/s secondary

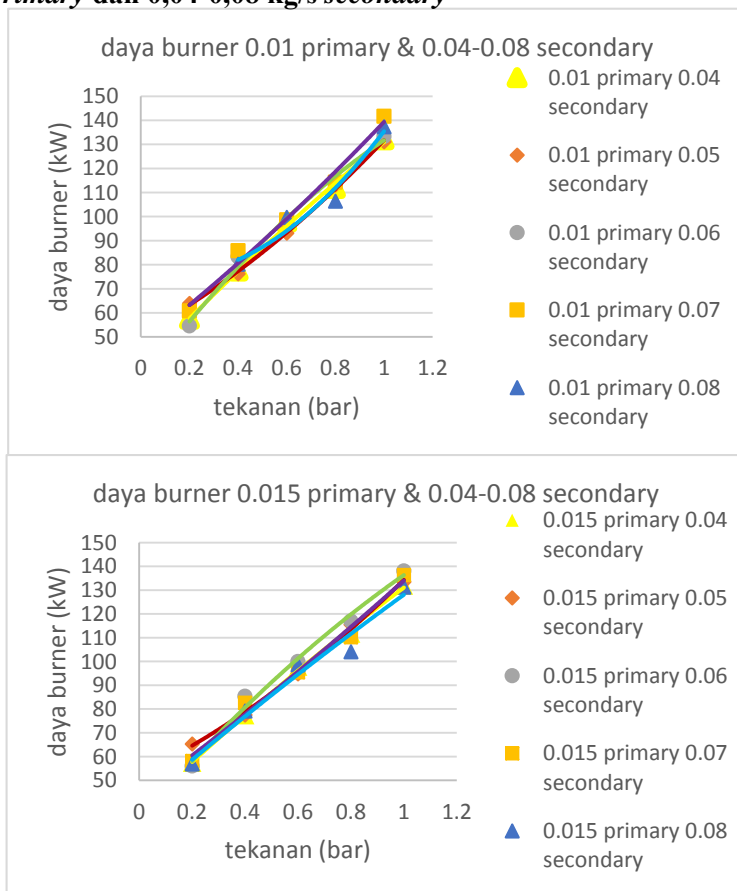
Gambar 4.1 menunjukkan grafik distribusi temperatur pada 8 titik pengukuran. Pengukuran diambil pada $\dot{m}_{primary} = 0,015 \frac{kg}{s}$ dan $\dot{m}_{secondary} = 0,04 - 0,08 \frac{kg}{s}$. Pada grafik menunjukkan perbandingan temperatur pada 5 tekanan yang berbeda yaitu 0,2 bar sampai 1 bar dengan kenaikan 0,2 bar. Grafik menunjukkan pada tiap posisi tekanan memiliki *trendline* yang serupa.

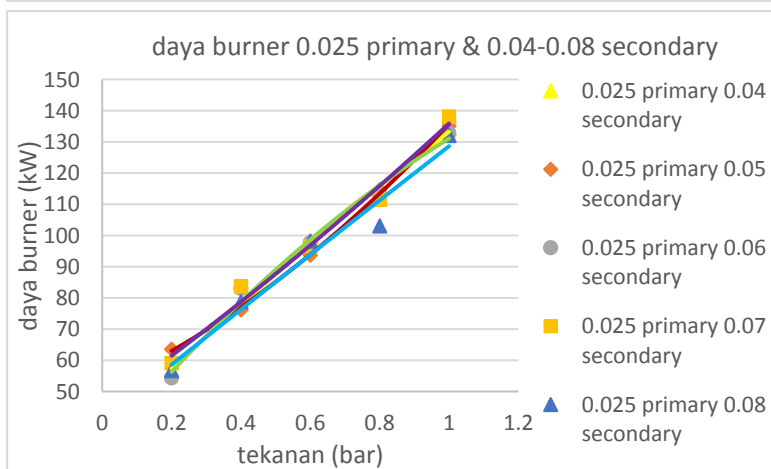
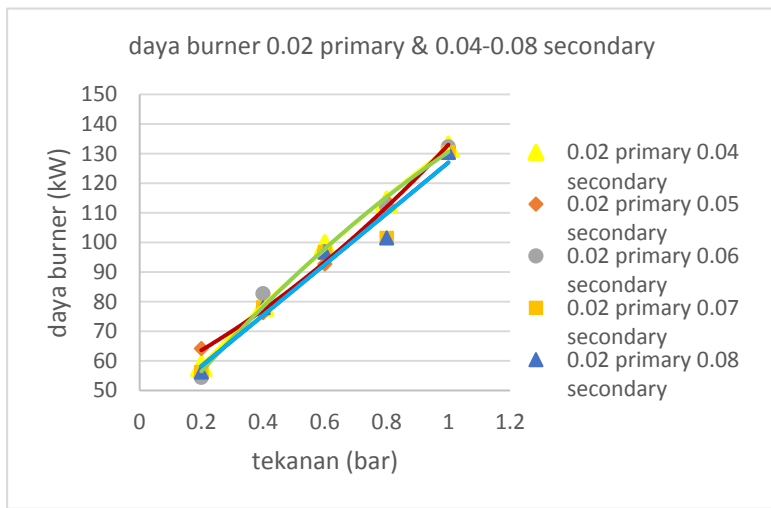
Temperatur tertinggi berada pada $T = 478^\circ\text{C}$ dengan posisi perbandingan udara $\dot{m}_{primary} = 0,015 \frac{kg}{s}$ dan $\dot{m}_{secondary} = 0,06 \frac{kg}{s}$, *termocouple* ke 4 dan pada tekanan 1 bar. sedangkan temperatur terendah terletak pada $T = 95^\circ\text{C}$ dengan posisi perbandingan udara $\dot{m}_{primary} = 0,015 \frac{kg}{s}$ dan $\dot{m}_{secondary} = 0,08 \frac{kg}{s}$ *termocouple* ke 8 dan tekanan 0,2 bar. Hal ini terjadi karena kondisi *premixed flame*. *Premixed flame* akan terjadi apabila reaktan tercampur sempurna pada tingkat molekul sebelum terjadinya reaksi kimia yang signifikan, sehingga pada posisi zona tersebut memiliki temperatur yang lebih tinggi dibanding pada posisi yang lain. Sedangkan pada posisi *termocouple* ke 8 merupakan temperatur terendah. Selain itu, pada tekanan yang rendah akan menghasilkan kecepatan yang rendah sehingga temperatur yang dihasilkan menjadi rendah, sebaliknya jika tekanan yang diberikan tinggi, maka kecepatan akan tinggi sehingga menghasilkan temperatur yang tinggi.

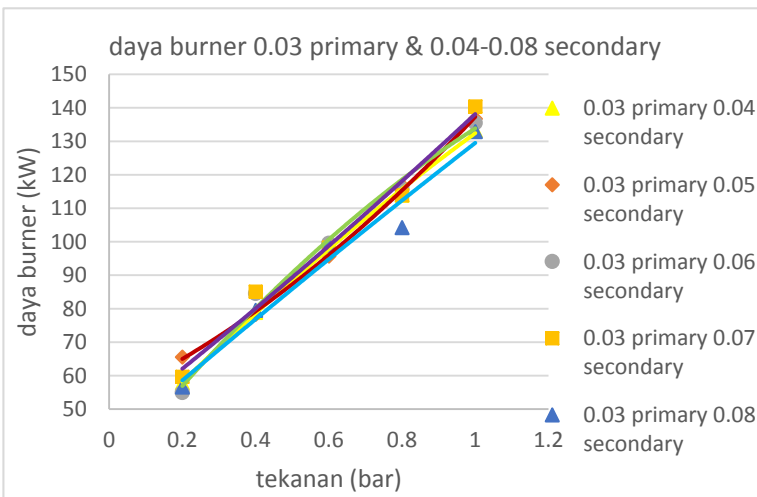
Pada grafik $\dot{m}_{primary} = 0,015 \frac{kg}{s}$ dan $\dot{m}_{secondary} = 0,04 - 0,08 \frac{kg}{s}$ rata-rata titik puncak tertinggi temperatur berada pada posisi *termocouple* ke 4 dan . Sedangkan titik terendah temperatur berada pada posisi *termocouple* ke 8. Fenomena perbedaan ini disebabkan karena perbedaan panjang

api. Hal ini kemungkinan disebabkan adanya gangguan dari luar seperti adanya gangguan angin.

4.3.2 Grafik fungsi tekanan dan daya *burner* 0,015 kg/s primary dan 0,04-0,08 kg/s secondary







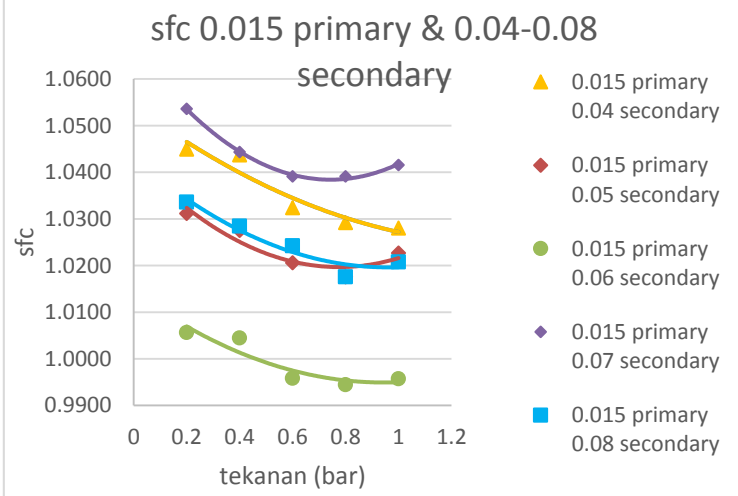
Gambar 4. 2 Grafik daya *burner* 0,015 kg/s *primary* dan 0,04-0,08 kg/s *secondary*

Pada gambar grafik diatas menunjukkan daya pembakaran burner terhadap perubahan tekanan syngas. Daya pembakaran yang didapatkan merupakan kemampuan burner dalam mendapatkan nilai pembakaran yang dihasilkan suatu burner. Dari grafik diatas dapat dilihat semakin tinggi tekanan berbanding lurus dengan peningkatan daya yang dihasilkan. Hampir semua Grafik diatas menunjukan pada tiap posisi tekanan memiliki *trendline* yang serupa.

Daya tertinggi terdapat pada posisi dengan tekanan *syngas* 1 bar pada perbandingan $\dot{m}_{primary} = 0,015 \frac{kg}{s}$ dan $\dot{m}_{secondary} = 0,07 \frac{kg}{s}$ yaitu sebesar 141,6452 kW. Sedangkan daya terendah terdapat pada posisi tekanan *syngas* 0,2 bar pada perbandingan $\dot{m}_{primary} = 0,025 \frac{kg}{s}$ dan $\dot{m}_{secondary} = 0,06 \frac{kg}{s}$

yaitu sebesar 54,3604 kW Sesuai dengan kenaikan tekanan laju aliran massa juga meningkat. Sehingga daya burner juga meningkat. Sedangkan untuk entalpi pembakaran merupakan fungsi temperatur, sehingga semakin meningkat temperatur daya pembakaran akan meningkat. Sehingga jika dihubungkan dengan distribusi temperatur sesuai dengan kenaikan temperatur maka daya *burner* juga meningkat.

4.3.3 Grafik fungsi tekanan dan efisiensi *burner* 0,015 kg/s primary dan 0,04-0,08 kg/s secondary



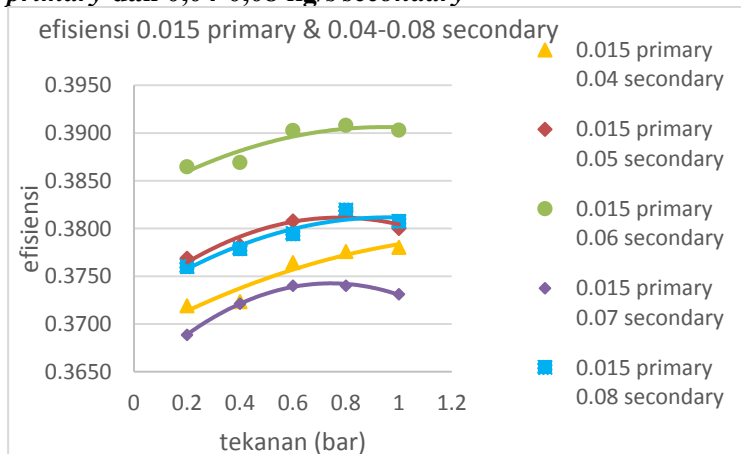
Gambar 4. 3 Grafik efisiensi *burner* 0,015 kg/s primary dan 0,04-0,08 kg/s secondary

Pada gambar grafik diatas adalah grafik effisiensi burner pada kenaikan tekanan. Grafik menunjukan trendline effisiensi semakin menurun dengan perubahan tekanan yang semakin tinggi.

Efisiensi tertinggi terdapat pada posisi $\dot{m}_{primary} = 0,015 \frac{kg}{s}$ dan $\dot{m}_{secondary} = 0,06 \frac{kg}{s}$, dan tekanan 0,2 bar yaitu sebesar 0,3930. Sedangkan efisiensi terendah terdapat pada posisi $\dot{m}_{primary} = 0,025 \frac{kg}{s}$ dan $\dot{m}_{secondary} = 0,05 \frac{kg}{s}$, dan tekanan 1 bar yaitu sebesar 0,3669.

Efisiensi didapatkan dari pebandingan daya burner dan daya bahan bakar. Daya Bahan Bakar di dapatkan dari pengalian laju aliran massa syngas dengan LHV gas. Laju aliran massa gas berbeda pada setiap kondisi. Hal ini dapat mempengaruhi unjuk kerja burner. LHV di dapatkan dari properties dan komposisi gas yang terkandung.

4.3.4 Grafik fungsi tekanan dan SFC burner 0,015 kg/s primary dan 0,04-0,08 kg/s secondary



Gambar 4. 4 Grafik SFC burner 0,015 kg/s primary dan 0,04-0,08 kg/s secondary

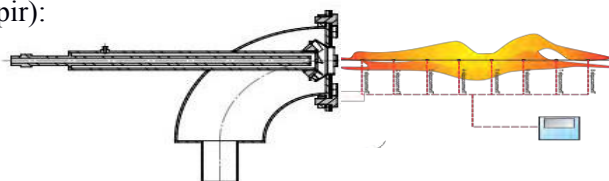
Pada gambar grafik diatas menunjukkan konsumsi bahan bakar spesifik burner terhadap perubahan tekanan . Konsumsi bahan bakar spesifik ini menunjukkan kemampuan bahan bakar mengasilkan daya (kW) dalam waktu satu jam. Dari grafik diatas dapat dilihat trendline grafik yang meningkat seiring peningkatan tekanan.

SFC tertinggi terdapat pada posisi $\dot{m}_{primary} = 0,025 \frac{kg}{s}$ dan $\dot{m}_{secondary} = 0,05 \frac{kg}{s}$, dan tekanan 0,2 bar yaitu sebesar 1,0592. Sedangkan SFC terendah terdapat pada posisi $\dot{m}_{primary} = 0,015 \frac{kg}{s}$ dan $\dot{m}_{secondary} = 0,06 \frac{kg}{s}$, dan tekanan 1 bar yaitu sebesar 0,9889.

Pada umumnya seluruh posisi perbandingan antara primary dan secondary mengalami peningkatan SFC. Pada grafik menunjukkan jika pembakaran terjadi besar semakin meningkatnya daya pembakaran. Hal ini menunjukkan bahwa konsumsi bahan bakar yang meningkat seiring dengan peningkatan tekanan. Semakin daya meningkat konsumsi bahan bakar juga meningkat dapat disimpulkan bahwa pembakaran ini terjadi dengan konsumsi bahan bakar yang tinggi.

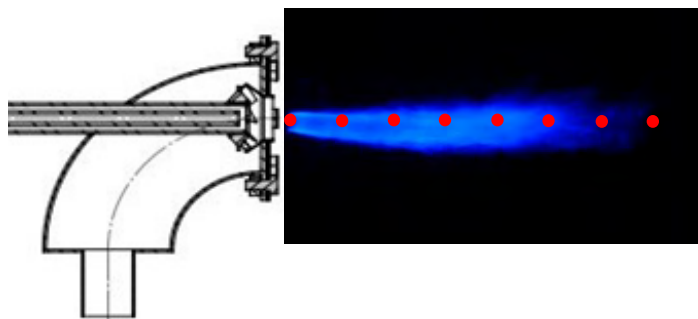
1.4 Visualisasi Nyala Api

Visualisasi nyala api dari setiap perubahan perbandingan udara dengan tekanan bahan bakar berbeda-beda. Berikut adalah visualisasi nyala api ditinjau berdasarkan posisi dari setiap perubahan perbandingan udara dan tekanan bahan bakar 1 bar, untuk tekanan 0,8; 0,6; 0,4 dan 0,2 bar (Gambar terlampir):

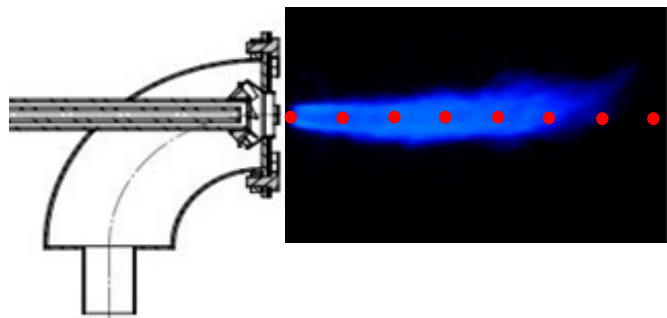


Gambar 4. 5 Pengukuran distribusi temperatur

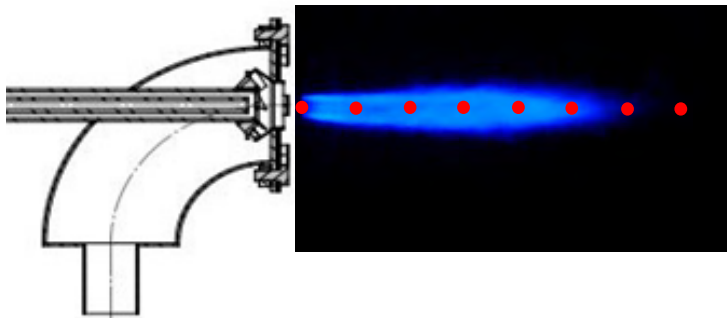
4.4.1 Visualisasi Nyala Api 0,01 kg/s *primary* dan 0,04-0,08 kg/s *secondary*



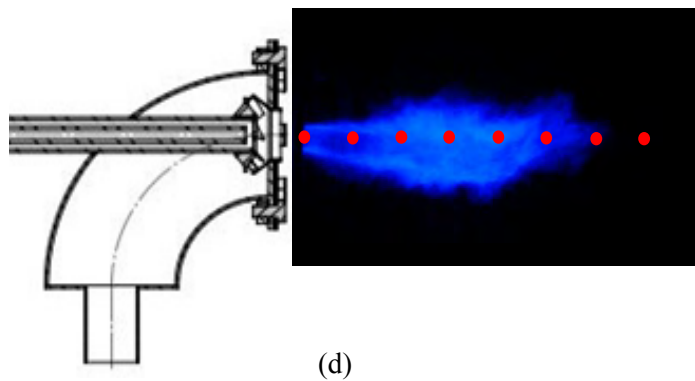
(a)



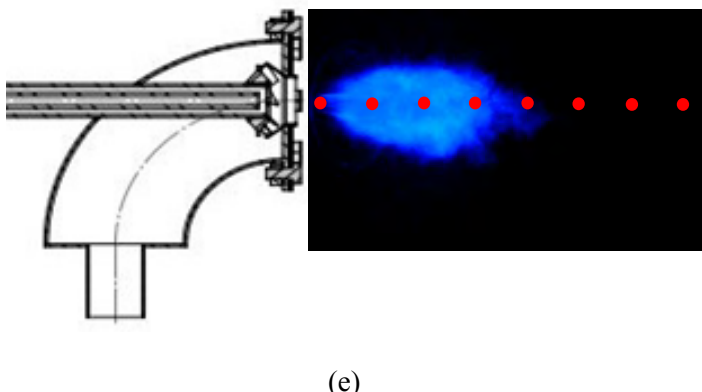
(b)



(c)



(d)

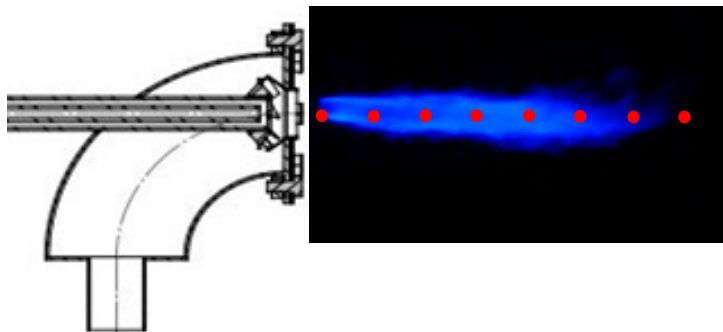


(e)

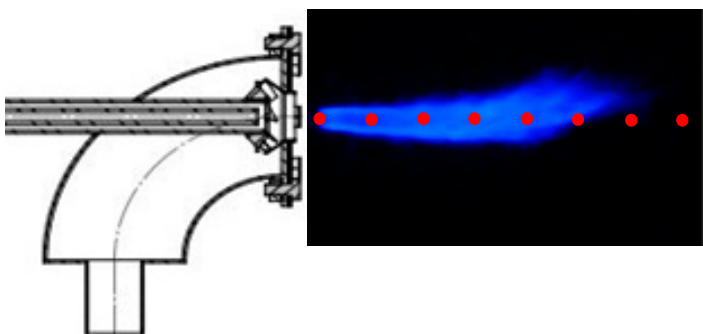
Gambar 4. 6 Visualisasi nyala api pada (a) 0,01 kg/s *primary* dan 0,04 kg/s *secondary* (b) 0,01 kg/s *primary* dan 0,05 kg/s *secondary* (c) 0,01 kg/s *primary* dan 0,06 kg/s *secondary* (d) 0,01 kg/s *primary* dan 0,07 kg/s *secondary* (e) 0,01 kg/s *primary* dan 0,08 kg/s *secondary*

Pada gambar diatas, terdapat 5 gambar visualisasi nyala api pada posisi 0,01 *primary* dan 0,04 sampai 0,08 *secondary*. Seiring dengan perubahan $\dot{m}_{secondary}$ yang semakin kecil, bentuk api semakin pendek dan diameter api semakin lebar. Hal ini dikarenakan jumlah udara yang disalurkan melalui *burner* semakin kecil sehingga api yang dihasilkan semakin pendek. Pada perbandingan udara 0,01 *primary* dan 0,04 *secondary* api terlihat paling panjang diantara yang lain. Jika jumlah udara *secondary* diperbanyak maka lama kelamaan api akan mati. Hal ini disebabkan kecepatan rambat api yang lebih kecil dibandingkan dengan jumlah udara *primary* dan *syngas*. Warna api yang terlihat cenderung berwarna biru, hal ini dikarenakan pencampuran antara udara dan bahan bakar yang baik.

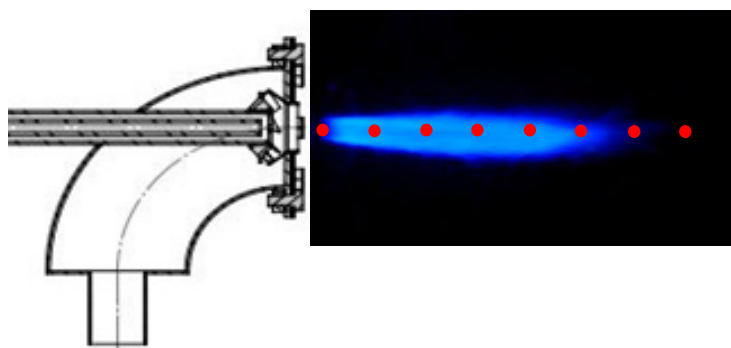
4.4.2 Visualisasi Nyala Api 0,015 kg/s *primary* dan 0,04-0,08 kg/s *secondary*



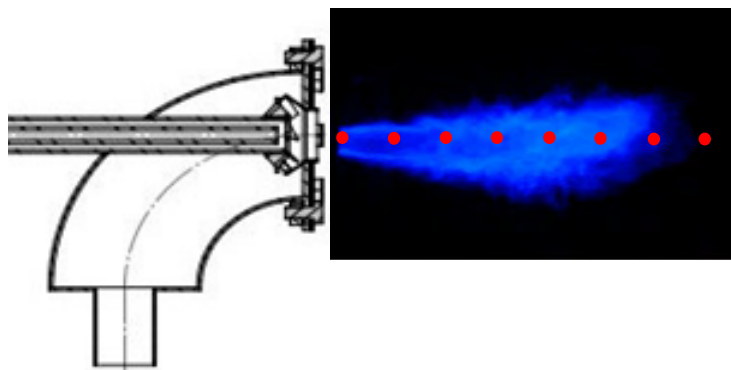
(a)



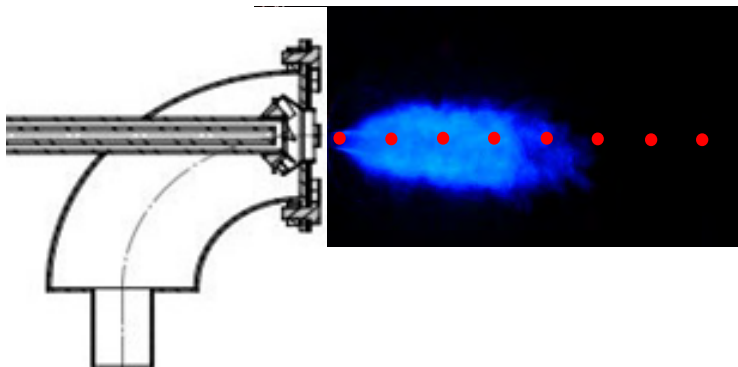
(b)



(c)



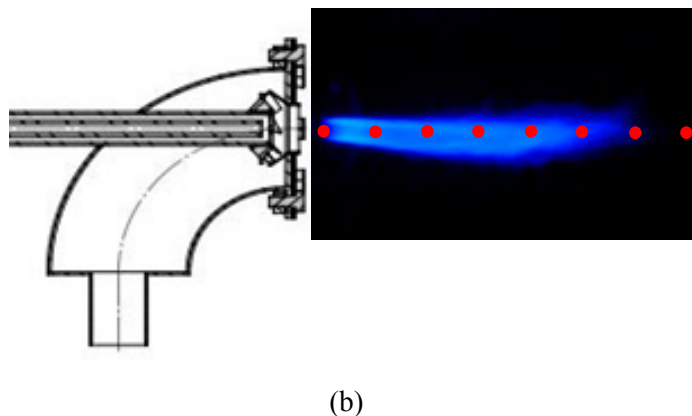
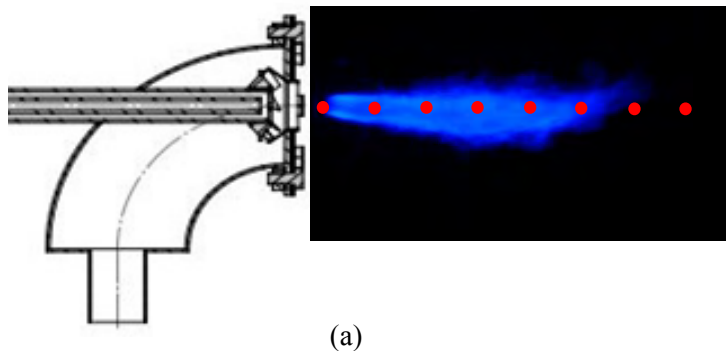
(d)

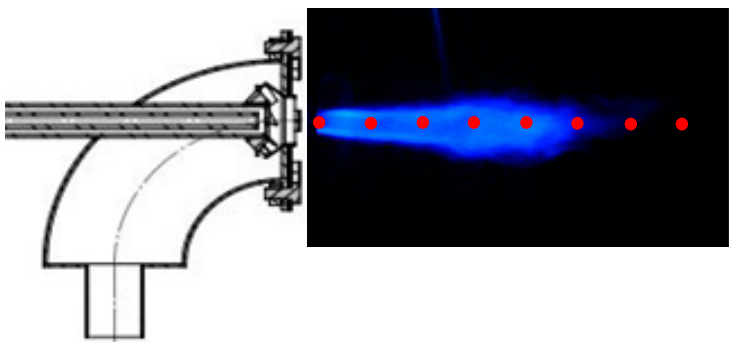


Gambar 4. 7 Visualisasi nyala api pada (a) 0,015 kg/s *primary* dan 0,04 kg/s *secondary* (b) 0,015 kg/s *primary* dan 0,05 kg/s *secondary* (c) 0,015 kg/s *primary* dan 0,06 kg/s *secondary* (d) 0,015 kg/s *primary* dan 0,07 kg/s *secondary* (e) 0,015 kg/s *primary* dan 0,08 kg/s *secondary*

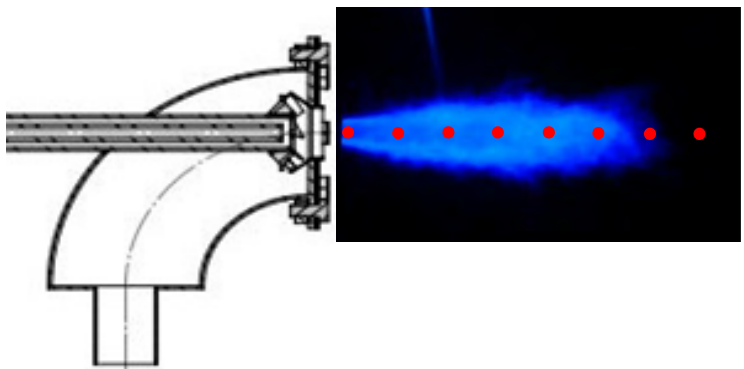
Pada gambar diatas, terdapat 5 gambar visualisasi nyala api pada posisi 0,015 *primary* dan 0,04 sampai 0,08 *secondary*. Seiring dengan perubahan $\dot{m}_{secondary}$ yang semakin kecil, bentuk api semakin pendek dan diameter api semakin lebar. Hal ini dikarenakan jumlah udara yang disalurkan melalui *burner* semakin kecil sehingga api yang dihasilkan semakin pendek. Pada perbandingan udara 0,015 *primary* dan 0,04 *secondary* api terlihat paling panjang diantara yang lain. Jika jumlah udara *secondary* diperbanyak maka lama kelamaan api akan mati. Hal ini disebabkan kecepatan rambat api yang lebih kecil dibandingkan dengan jumlah udara *primary* dan *syngas*. Warna api yang terlihat cenderung berwarna biru, hal ini dikarenakan pencampuran antara udara dan bahan bakar yang baik.

4.4.3 Visualisasi Nyala Api 0,02 kg/s *primary* dan 0,04-0,08 kg/s *secondary*

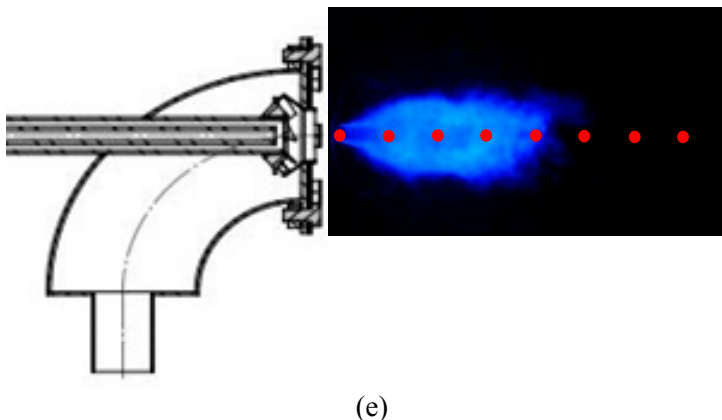




(c)



(d)

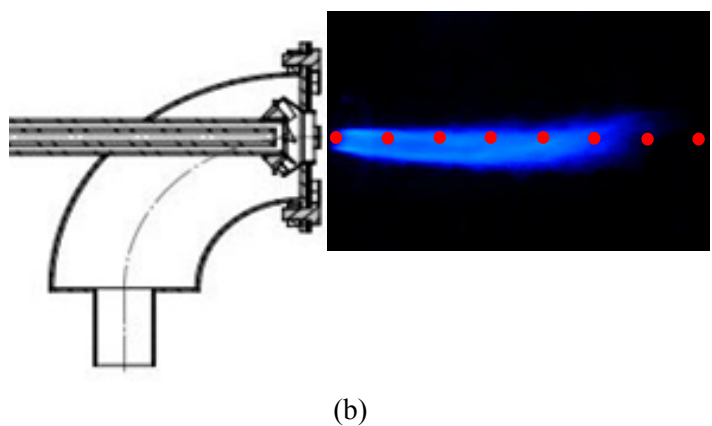
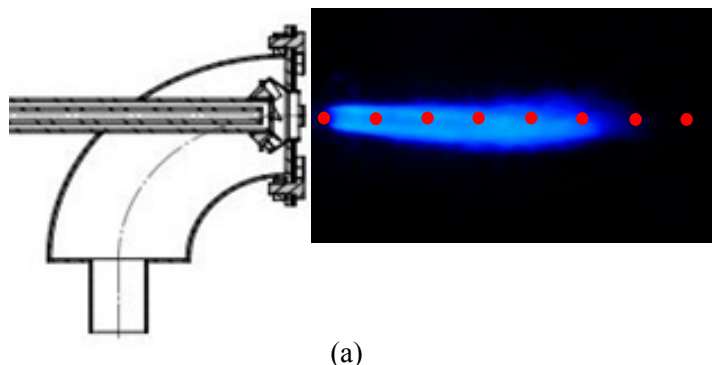


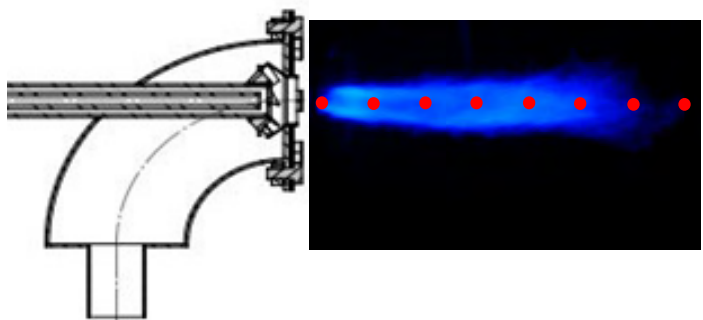
(e)

Gambar 4. 8 Visualisasi nyala api pada (a) 0,02 kg/s *primary* dan 0,04 kg/s *secondary* (b) 0,02 kg/s *primary* dan 0,05 kg/s *secondary* (c) 0,02 kg/s *primary* dan 0,06 kg/s *secondary* (d) 0,02 kg/s *primary* dan 0,07 kg/s *secondary* (e) 0,02 kg/s *primary* dan 0,08 kg/s *secondary*

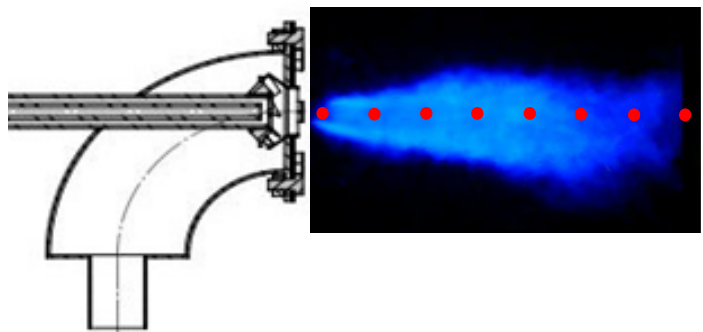
Pada gambar diatas, terdapat 5 gambar visualisasi nyala api pada posisi 0,02 *primary* dan 0,04 sampai 0,08 *secondary*. Seiring dengan perubahan $\dot{m}_{secondary}$ yang semakin kecil, bentuk api semakin pendek dan diameter api semakin lebar. Hal ini dikarenakan jumlah udara yang disalurkan melalui *burner* semakin kecil sehingga api yang dihasilkan semakin pendek. Pada perbandingan udara 0,02 *primary* dan 0,04 *secondary* api terlihat paling panjang diantara yang lain. Jika jumlah udara *secondary* diperbanyak maka lama kelamaan api akan mati. Hal ini disebabkan kecepatan rambat api yang lebih kecil dibandingkan dengan jumlah udara *primary* dan *syngas*. Warna api yang terlihat cenderung berwarna biru, hal ini dikarenakan pencampuran antara udara dan bahan bakar yang baik.

4.4.4 Visualisasi Nyala Api 0,025 kg/s *primary* dan 0,04-0,08 kg/s *secondary*

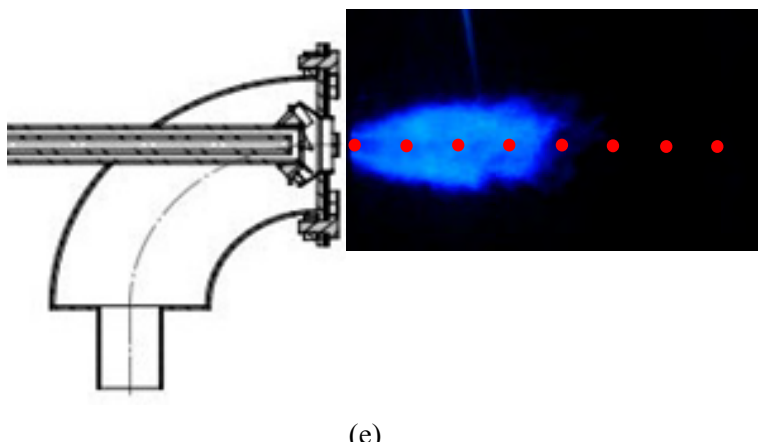




(c)



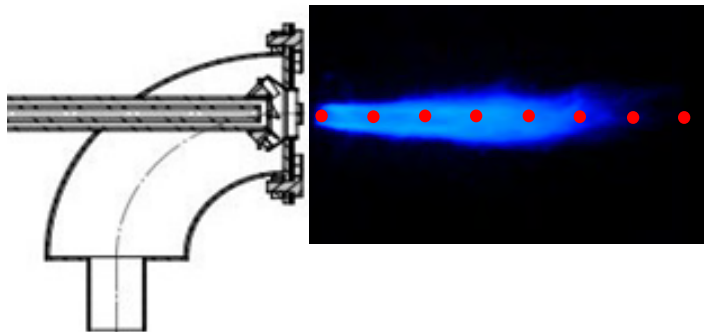
(d)



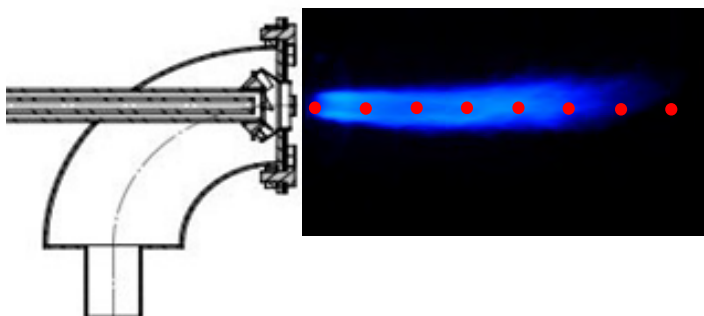
Gambar 4. 9 Visualisasi nyala api pada (a) 0,025 kg/s *primary* dan 0,04 kg/s *secondary* (b) 0,025 kg/s *primary* dan 0,05 kg/s *secondary* (c) 0,025 kg/s *primary* dan 0,06 kg/s *secondary* (d) 0,025 kg/s *primary* dan 0,07 kg/s *secondary* (e) 0,025 kg/s *primary* dan 0,08 *secondary*

Pada gambar diatas, terdapat 5 gambar visualisasi nyala api pada posisi 0,025 *primary* dan 0,04 sampai 0,08 *secondary*. Seiring dengan perubahan $\dot{m}_{\text{secondary}}$ yang semakin kecil, bentuk api semakin pendek dan diameter api semakin lebar. Hal ini dikarenakan jumlah udara yang disalurkan melalui *burner* semakin kecil sehingga api yang dihasilkan semakin pendek. Pada perbandingan udara 0,025 *primary* dan 0,04 *secondary* api terlihat paling panjang diantara yang lain. Jika jumlah udara *secondary* diperbanyak maka lama kelamaan api akan mati. Hal ini disebabkan kecepatan rambat api yang lebih kecil dibandingkan dengan jumlah udara *primary* dan *syngas*. Warna api yang terlihat cenderung berwarna biru, hal ini dikarenakan pencampuran antara udara dan bahan bakar yang baik.

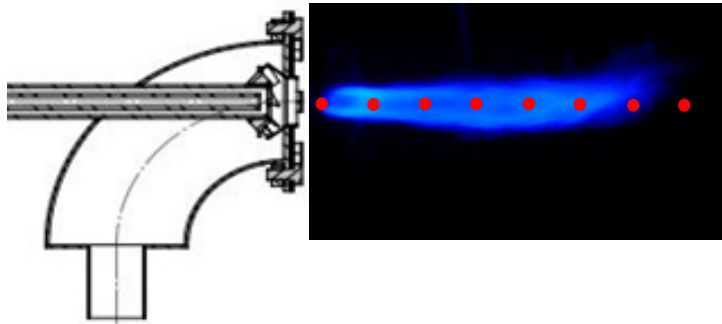
4.4.5 Visualisasi Nyala Api 0,03 kg/s *primary* dan 0,04-0,08 kg/s *secondary*



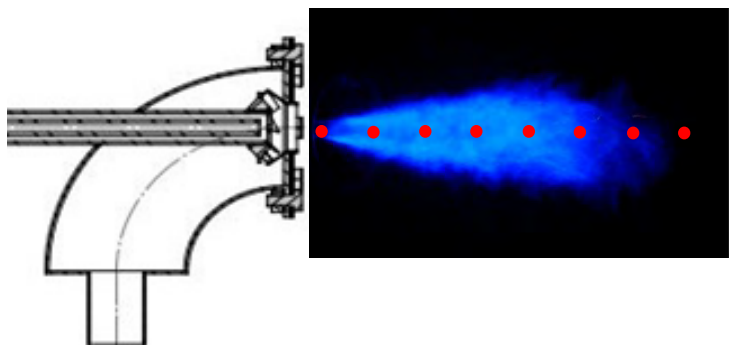
(a)



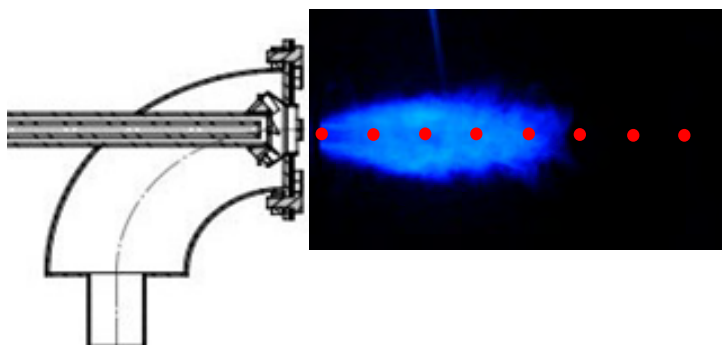
(b)



(c)



(d)



(e)

Gambar 4. Visualisasi nyala api pada (a) 0,03 kg/s *primary* dan 0,04 kg/s *secondary* (b) 0,03 kg/s *primary* dan 0,05 kg/s *secondary* (c) 0,03 kg/s *primary* dan 0,06 kg/s *secondary* (d) 0,03 kg/s *primary* dan 0,07 kg/s *secondary* (e) 0,03 kg/s *primary* dan 0,08 kg/s *secondary*

Pada gambar diatas, terdapat 5 gambar visualisasi nyala api pada posisi 0,03 *primary* dan 0,04 sampai 0,08 *secondary*. Seiring dengan perubahan $\dot{m}_{secondary}$ yang semakin kecil, bentuk api semakin pendek dan diameter api semakin lebar. Hal ini dikarenakan jumlah udara yang disalurkan melalui *burner* semakin kecil sehingga api yang dihasilkan semakin pendek. Pada perbandingan udara 0,03 *primary* dan 0,04 *secondary* api terlihat paling panjang diantara yang lain. Jika jumlah udara *secondary* diperbanyak maka lama kelamaan api akan mati. Hal ini disebabkan kecepatan rambat api yang lebih kecil dibandingkan dengan jumlah udara *primary* dan *syngas*. Warna api yang terlihat cenderung berwarna biru, hal ini dikarenakan pencampuran antara udara dan bahan bakar yang baik.

BAB V

KESIMPULAN DAN SARAN

5.1 Kesimpulan

Dari hasil pengujian yang telah dilakukan, maka dapat disimpulkan sebagai berikut:

1. Temperatur tertinggi yang dihasilkan pada *burner syngas* adalah 478°C dengan perbandingan udara $\dot{m}_{primary} = 0,015 \frac{\text{kg}}{\text{s}}$ dan $\dot{m}_{secondary} = 0,06 \frac{\text{kg}}{\text{s}}$ pada tekanan 1 bar.
2. Daya *burner* mengalami peningkatan berbanding lurus dengan peningkatan tekanan. Daya burner tertinggi terdapat pada posisi dengan tekanan syngas 1 bar pada perbandingan udara $\dot{m}_{primary} = 0,015 \frac{\text{kg}}{\text{s}}$ dan $\dot{m}_{secondary} = 0,07 \frac{\text{kg}}{\text{s}}$ sebesar $141,6452 \text{ kW}$.
3. SFC tertinggi terdapat pada posisi perbandingan udara $\dot{m}_{primary} = 0,025 \frac{\text{kg}}{\text{s}}$ dan $\dot{m}_{secondary} = 0,05 \frac{\text{kg}}{\text{s}}$, dan tekanan 1 bar yaitu sebesar $1,0592 \frac{\text{kg}}{\text{kW.h}}$.
4. Efisiensi *burner* tertinggi terdapat pada posisi perbandingan udara $\dot{m}_{primary} = 0,015 \frac{\text{kg}}{\text{s}}$ dan $\dot{m}_{secondary} = 0,06 \frac{\text{kg}}{\text{s}}$ dan tekanan 0,2 bar, yaitu sebesar 0,3930 atau 39,30%.
5. Variasi untuk unjuk kerja burner gas *type partially premixed* terbaik adalah dengan perbandingan udara $\dot{m}_{primary} = 0,015 \frac{\text{kg}}{\text{s}}$ dan $\dot{m}_{secondary} = 0,07 \frac{\text{kg}}{\text{s}}$ atau 17,6%.
6. Visualisasi api terbaik yang dihasilkan pada penelitian ini adalah pada posisi perbandingan udara $\dot{m}_{primary} = 0,015 \frac{\text{kg}}{\text{s}}$ dan $\dot{m}_{secondary} = 0,06 \frac{\text{kg}}{\text{s}}$ pada tekanan 1 bar. Seiring dengan perubahan $\dot{m}_{secondary}$ yang semakin kecil, bentuk api semakin pendek dan diameter api semakin

lebar. Hal ini dikarenakan jumlah udara yang disalurkan melalui burner semakin kecil sehingga api yang dihasilkan semakin pendek. Warna api yang terlihat cenderung berwarna biru, hal ini dikarenakan pencampuran antara udara dan bahan bakar yang baik.

5.2 Saran

1. Untuk penelitian selanjutnya, diharapkan dapat mendesign ulang rancangan *burner* agar mendapatkan unjuk kerja yang lebih baik.
2. Diberikan alat pengukur mistar pada termokopel agar jarak setiap titik termokopel lebih seragam dan visualisasi yang dihasilkan lebih jelas.
3. Mengkalibrasi ulang terhadap alat yang dipakai, agar hasil pengukuran lebih presisi dan akurat.
4. Melakukan pengukuran terhadap gas buang hasil pembakaran agar mendapatkan komposisi produk hasil pembakaran yang lebih akurat.

DAFTAR PUSTAKA

- [1] Badan Pusat Statistik. 2000
- [2] A. Ningsih.2004. Pengaruh Suhu Aktivasi terhadap kualitas karbon aktif serbuk gergaji kayu sembarang yang dimanfaatkan sebagai penjernihan air sumur ds. Sumber karya kec. Binjai Timur kota Binjai. Program Studi Fisika Universitas Sumatera Utara.
- [3] Susanto, Herri. 2012. Sekilas Teknologi Gasifikasi. Progam Studi Teknik Kimia, Institut Teknologi Bandung.
- [4] Karbon aktif, “Proses Pembuatan Karbon Aktif”, diakses di https://id.wikipedia.org/wiki/karbon_aktif, tanggal 31 Oktober 2015.
- [5] Malik, Usman. 2013. Alternatif Pemanfaatan Limbah Industri Pengolahan Kayu sebagai arang briket. Jurusan Fisika Fakultas MIPA Universitas Riau.
- [6] Baukal, C. E. 2003. Industrial Burners Handbook. CRC Press.
- [7] Pratama, Ryan. Diktat Furnace.
- [8] Sjustom, Eero. 1995. Kimia Kayu: Dasar-dasar Penggunaan. Gadjah Mada University Press.
- [9] Casey, J. P. 1980. Pulp and Paper Chemistry and Chemical Technology. John Wiley and Sons, New York.
- [10] Bahan Bakar, diakses di https://id.wikipedia.org/wiki/Bahan_bakar , tanggal 30 Oktober 2015
- [11] Energi Biomassa, “Energi dan Listrik Pertanian” diakses di <http://web.ipb.ac.id/~tepfeta/elearning/media/Energi%20dan%20Listrik%20Pertanian/MATERI%20WEB%20ELP/Bab%20III%20BIOMASSA/indexBIOMASSA.htm> tanggal 1 November 2015.

- [12] Michael J. Moran, Howard N. Shapiro. 2008. Fundamentals of Engineering Thermodynamics. Wiley.
- [13] Pandima, Mahatma. 2014. Studi Eksperimen Rancangan *Burner Type Partially Premixed* Dengan Bahan Bakar Syngas Biomassa Serbuk Kayu Dengan Variasi Dimensi *Mixed Chamber*. Jurusan Teknik Mesin Institut Teknologi Sepuluh Nopember.
- [14] Lieberman, N.P., *A Working Guide to Process Equipment*, 3rd edition, McGrawHill, 2008
- [15] Adi Surjosaty. 2010. Pembakaran Gas Hasil Gasifikasi Biomassa Di *Premixed Gas Burner* Dengan Metode 3D *Computional Fluid Dynamics*, Teknik Mesin Universitas Indonesia, Jakarta.
- [16] Liu, Yong. 2011. The influence of air distribution on the single-phase flow field of central fuel rich swirl burner, School of Energy Science and Engineering Harbin Institute of Technology, Harbin P. R. China.
- [17] Waldheim, Lars and T. Nilsson, *Heating Value Of Gases From Biomass Gasification*, TPS Termiska Processer AB, 2001.

Lampiran I: Tabel Perhitungan AFR, Efisiensi, SFC, dan Daya Burner

Diameter nozzle	m primary	m secondar	tekanan (bar)	m syngas (l/min)	m syngas (kg/s)	temperatur (Celcius)								temperatur		
						1	2	3	4	5	6	7	8	min	max	mean
10 mm	0,04	0,04	1	2,21	0,09757	265	303	354	204	165	190	149	149	354	233	
			0,8	1,89	0,03213	235	276	319	321	210	145	199	132	132	321	230
			0,6	1,65	0,02805	217	277	322	330	200	179	201	119	119	330	231
			0,4	1,32	0,02444	187	253	293	270	199	132	174	110	110	293	202
			0,2	0,98	0,01666	154	202	289	250	201	140	153	103	103	289	187
	0,05	0,05	1	2,23	0,09791	219	257	296	302	198	173	152	142	142	302	217
			0,8	1,92	0,03264	211	276	303	310	204	170	143	134	134	310	219
			0,6	1,58	0,02686	215	289	310	298	200	165	152	133	133	310	220
			0,4	1,3	0,0221	202	258	293	276	184	152	176	136	136	293	210
	0,01	0,01	0,2	1,1	0,0187	174	243	256	263	165	144	145	129	129	263	190
			1	2,23	0,09791	212	291	343	359	317	253	197	132	132	359	263
			0,8	1,9	0,0323	197	296	376	347	376	267	189	124	124	376	272
			0,6	1,64	0,02788	201	287	366	343	356	270	203	120	120	366	268
	0,06	0,06	0,4	1,4	0,0238	187	274	343	321	340	278	210	100	100	343	257
			0,2	0,92	0,01564	185	253	331	301	323	263	193	103	103	331	244
			1	2,22	0,09944	197	303	376	422	363	267	195	128	128	432	283
			0,8	1,87	0,03179	200	320	377	433	395	298	199	119	119	433	293
	0,07	0,07	0,6	1,62	0,02754	186	321	357	421	357	246	183	110	110	421	273
			0,4	1,41	0,02397	179	283	399	420	266	274	173	103	103	420	262
			0,2	1	0,017	164	264	387	416	361	219	169	98	98	416	260
			1	2,22	0,09774	197	287	390	353	287	190	153	119	119	390	247
	0,08	0,08	0,8	1,73	0,02941	207	298	403	363	288	209	142	106	106	403	252
			0,6	1,65	0,02805	157	284	396	365	284	201	150	103	103	396	243
			0,4	1,33	0,02661	142	271	389	351	243	198	143	109	109	389	231
			0,2	0,98	0,01632	139	251	378	342	213	188	181	102	102	378	214

afr	Φ	lhw	energi bahan bakar (kW)	efisiensi	sfc (kg/kWh)	h° RP (enthalpi Pembakaran) KJ/Kg	Qloss	DAYA BURNER (kW)
1,33	73,45	9262,9681	348,0097	0,3789	1,0257	5753,259022	216,1499415	131,8598
1,56	62,82	9262,9681	297,6192	0,3790	1,0254	5752,237328	184,8193854	112,7998
1,78	54,84	9262,9681	259,8263	0,3762	1,0330	5777,990327	162,0726287	97,7536
2,23	43,87	9262,9681	207,8610	0,3721	1,0443	5815,823785	130,5070957	77,3539
3,00	32,57	9262,9681	154,3210	0,3717	1,0456	5819,884563	96,95927679	57,3618
1,32	74,12	9262,9681	351,1591	0,3731	1,0416	5806,662603	220,1305792	131,0285
1,53	63,81	9262,9681	302,3433	0,3740	1,0391	5798,498004	189,2629749	113,0803
1,86	52,51	9262,9681	248,8033	0,3740	1,0391	5798,498004	155,7476564	93,0557
2,26	43,21	9262,9681	204,7116	0,3721	1,0443	5815,823785	128,5297057	76,1819
2,67	36,56	9262,9681	173,2175	0,3689	1,0536	5846,165593	109,3232966	63,8942
1,58	61,76	9262,9681	351,1591	0,3795	1,0242	5748,083916	217,9098613	133,2493
1,86	52,62	9262,9681	299,1939	0,3814	1,0191	5730,413496	185,0923559	114,1015
2,15	45,42	9262,9681	258,2516	0,3802	1,0221	5740,79974	160,0535033	98,1980
2,52	38,78	9262,9681	220,4586	0,3777	1,0291	5764,607978	137,1976699	83,2610
3,84	25,48	9262,9681	144,8728	0,3763	1,0327	5776,963295	90,3517093	54,5211
1,77	55,08	9262,9681	365,3315	0,3877	1,0024	5671,558088	223,686251	141,6452
2,20	44,39	9262,9681	294,4693	0,3878	1,0021	5670,496611	180,2650873	114,2047
2,54	38,46	9262,9681	255,1021	0,3865	1,0057	5683,197734	156,5152656	98,5869
2,92	33,47	9262,9681	222,0333	0,3863	1,0059	5684,253255	136,2515505	85,7818
4,12	23,74	9262,9681	157,4705	0,3859	1,0071	5688,470884	96,70400503	60,7665
2,12	46,12	9262,9681	349,5844	0,3895	0,9978	5654,860968	213,4144529	136,1700
2,72	35,94	9262,9681	272,4239	0,3904	0,9954	5646,452588	166,0621706	106,3617
2,85	34,27	9262,9681	259,8263	0,3901	0,9963	5649,489489	158,4681802	101,3581
3,54	27,63	9262,9681	209,4357	0,3828	1,0152	5716,811372	129,2571051	80,1786
4,90	19,94	9262,9681	151,1716	0,3816	1,0185	5728,32795	93,48631215	57,6853

Diameter nozzle	m primary	m secundar	tekanan (bar)	m syngas (l/min)	m syngas (kg/s)	temperatur (Celcius)								temperatur		
						1	2	3	4	5	6	7	8	min	max	mean
						0,04	0,05	0,06	0,07	0,08						
10 mm	0,015	0,02244	1	2,21	0,03757	216	267	305	356	206	167	192	151	151	356	233
			0,8	1,89	0,03213	237	278	321	323	212	147	201	134	134	323	232
			0,6	1,65	0,02805	219	279	324	332	202	181	203	121	121	332	233
			0,4	1,32	0,02244	189	255	295	272	201	134	176	112	112	295	204
			0,2	0,98	0,01666	156	204	291	252	203	142	155	105	105	291	189
	0,02244	0,02244	1	2,23	0,03791	217	295	348	364	322	258	202	137	137	364	268
			0,8	1,92	0,03264	202	301	381	352	381	272	194	129	129	381	277
			0,6	1,58	0,02686	206	292	371	348	361	275	208	125	125	371	273
			0,4	1,3	0,0221	192	279	348	326	345	283	215	105	105	348	262
			0,2	1,1	0,0187	190	258	336	306	328	268	198	108	108	336	249
20 mm	0,015	0,02244	1	2,23	0,03791	202	308	381	478	368	272	200	133	133	478	293
			0,8	1,9	0,0323	205	325	382	459	400	303	204	124	124	459	300
			0,6	1,64	0,02788	191	326	362	426	362	251	188	115	115	426	278
			0,4	1,4	0,0238	184	288	404	425	271	279	178	108	108	425	267
			0,2	0,92	0,01564	169	269	392	421	366	224	174	103	103	421	265
	0,02244	0,02244	1	2,32	0,03944	219	257	296	302	198	173	152	142	142	302	217
			0,8	1,87	0,03179	211	276	303	310	204	170	143	134	134	310	219
			0,6	1,62	0,02754	215	289	310	298	200	165	152	133	133	310	220
			0,4	1,41	0,02397	202	258	293	276	184	152	176	136	136	293	210
			0,2	1	0,017	174	243	256	263	165	144	145	129	129	263	190
30 mm	0,015	0,02244	1	2,22	0,03774	245	302	322	309	287	196	153	121	121	322	242
			0,8	1,73	0,02941	254	307	388	314	296	205	149	100	100	381	251
			0,6	1,65	0,02805	231	312	361	319	271	201	154	98	98	361	243
			0,4	1,33	0,02261	202	301	345	308	245	192	143	95	95	345	229
			0,2	0,96	0,01632	200	289	328	296	234	173	123	99	99	328	218
	0,02244	0,02244	1	2,23	0,03791	202	308	381	478	368	272	200	133	133	478	293
			0,8	1,9	0,0323	205	325	382	459	400	303	204	124	124	459	300
			0,6	1,64	0,02788	191	326	362	426	362	251	188	115	115	426	278
			0,4	1,4	0,0238	184	288	404	425	271	279	178	108	108	425	267
			0,2	0,92	0,01564	169	269	392	421	366	224	174	103	103	421	265

afr	Φ	Ihv	energi bahan bakar (kW)	efisiensi	sfc (kg/kWh)	h° RP (entalphi Pembakaran) KJ/Kg	Q loss	DAYA BURNER (kW)
1,46	66,77	9262,9681	348,0097	0,3780	1,0281	5761,197015	216,4481718	131,5615
1,71	57,11	9262,9681	297,6192	0,3776	1,0292	5765,181799	185,2352912	112,3830
1,96	49,85	9262,9681	259,8263	0,3764	1,0324	5775,936381	162,0190155	97,8112
2,45	39,88	9262,9681	207,8610	0,3724	1,0437	5813,794038	130,4615382	77,3995
3,30	29,61	9262,9681	154,3210	0,3719	1,0450	5817,85396	96,92544698	57,3956
1,32	74,12	9262,9681	351,1591	0,3800	1,0227	5742,880452	217,7125979	133,4465
1,53	63,81	9262,9681	302,3433	0,3819	1,0176	5725,185603	186,8700581	115,4732
1,86	52,51	9262,9681	248,8033	0,3808	1,0206	5735,604633	154,0583404	94,7450
2,26	43,21	9262,9681	204,7116	0,3782	1,0275	5759,448066	127,2838023	77,4278
2,67	36,56	9262,9681	173,2175	0,3769	1,0312	5771,829916	107,9332194	65,2843
1,58	61,76	9262,9681	351,1591	0,3903	0,9557	5647,540757	214,0982701	137,6069
1,86	52,62	9262,9681	299,1939	0,3908	0,9944	5642,853474	182,2641672	116,9297
2,15	45,42	9262,9681	258,2516	0,3903	0,9558	5647,92397	157,4640764	100,7875
2,52	38,78	9262,9681	220,4586	0,3869	1,0045	5678,97716	135,1596564	85,2990
3,84	25,48	9262,9681	144,8728	0,3865	1,0057	5683,197734	88,8852155	55,9876
1,77	55,08	9262,9681	365,3315	0,3731	1,0416	5806,662601	229,014773	136,3167
2,20	44,39	9262,9681	294,4698	0,3740	1,0391	5798,498004	184,3342516	110,1355
2,54	38,46	9262,9681	255,1021	0,3740	1,0391	5798,498004	159,690635	95,4115
2,92	33,47	9262,9681	222,0333	0,3721	1,0443	5815,823785	139,4052961	82,6280
4,12	23,74	9262,9681	157,4705	0,3689	1,0536	5846,165593	99,38481509	58,0856
2,12	46,12	9262,9681	349,5844	0,3807	1,0208	5736,209506	216,4845467	133,0998
2,72	35,94	9262,9681	272,4239	0,3819	1,0176	5725,185603	168,3777086	104,0462
2,85	34,27	9262,9681	259,8263	0,3795	1,0242	5748,127571	161,2349784	98,5913
3,54	27,63	9262,9681	209,4357	0,3779	1,0284	5762,543748	130,2911141	79,1446
4,90	19,94	9262,9681	151,1716	0,3760	1,0336	5780,044746	94,33033026	56,8413

Diameter nozzle	m primary	m secondar	tekanan (bar)	m syngas (L/min)	m syngas (kg/s)	temperatur (Celsius)								temperatur			
						1	2	3	4	5	6	7	8	min	max	mean	
						1	2,21	0,03757	220	298	351	367	325	261	205	140	367
10 mm	0,04	0,05	0,8	1,89	0,03213	205	304	384	355	384	275	197	132	132	384	280	
			0,6	1,65	0,02805	209	295	374	351	364	278	211	128	128	374	276	
			0,4	1,38	0,02244	195	282	351	329	348	286	218	108	108	351	265	
			0,2	0,98	0,01666	193	261	339	309	331	271	201	111	111	339	252	
			1	2,23	0,03791	276	301	332	289	243	203	167	132	132	332	243	
			0,8	1,92	0,03264	287	298	330	278	267	190	156	143	143	330	244	
	0,02	0,06	0,6	1,58	0,02686	267	287	298	287	253	198	154	125	125	298	234	
			0,4	1,3	0,0221	289	267	297	298	250	178	134	123	123	298	230	
			0,2	1,1	0,0187	243	277	276	265	249	167	132	110	110	277	215	
			1	2,23	0,03791	289	333	321	290	275	197	145	123	123	333	247	
			0,8	1,9	0,0323	288	321	322	286	276	187	123	118	118	322	240	
			0,6	1,64	0,02788	278	320	318	281	267	173	119	121	119	320	235	
15 mm	0,07	0,08	0,4	1,4	0,0238	280	319	313	273	256	165	120	119	119	319	231	
			0,2	0,98	0,01564	284	323	301	269	245	154	122	113	113	323	226	
			1	2,32	0,03944	287	331	319	288	273	195	143	121	121	331	245	
			0,8	1,87	0,03179	286	319	320	284	274	185	121	116	116	320	238	
			0,6	1,62	0,02754	276	318	316	279	265	171	117	119	117	318	233	
			0,4	1,41	0,02397	278	317	311	271	254	163	118	117	117	317	229	
	0,08	0,09	0,2	1	0,017	282	321	299	267	243	152	120	111	111	321	224	
			1	2,22	0,03974	276	301	297	276	256	197	134	114	114	301	231	
			0,8	1,73	0,02941	276	298	297	275	259	187	124	102	102	298	227	
			0,6	1,65	0,02805	273	294	293	273	243	188	122	101	101	294	223	
			0,4	1,33	0,02261	276	297	290	271	231	192	120	100	100	297	222	
			0,2	0,96	0,01632	265	275	292	275	222	167	115	102	102	292	214	

afr	Φ	lhv	energi bahan bakar (kW)	efisiensi	sfc (kg/kWh)	$h^+ RP$ (entalphi Pembakaran) KJ/Kg	Q loss	DAYA BURNER (kW)
1,60	61,21	9262,9681	348,0097	0,3804	1,0218	5739,75993	215,6427806	132,3669
1,87	52,35	9262,9681	297,6192	0,3823	1,0167	5722,044482	183,8492892	113,7699
2,14	45,70	9262,9681	259,8263	0,3811	1,0197	5732,489955	160,7963319	99,0299
2,67	36,56	9262,9681	207,8610	0,3786	1,0266	5756,352928	129,1725609	75,6884
3,60	27,14	9262,9681	154,3210	0,3772	1,0303	5768,737907	96,10717353	58,2139
1,32	74,12	9262,9681	351,1591	0,3764	1,0324	5775,936381	218,9657482	132,1994
1,53	63,81	9262,9681	302,3433	0,3762	1,0330	5777,990327	188,5936043	113,7497
1,86	52,51	9262,9681	248,8033	0,3727	1,0428	5810,744008	156,076586	92,7267
2,26	43,21	9262,9681	204,7116	0,3727	1,0428	5810,744008	128,4174442	76,2942
2,67	36,56	9262,9681	173,2175	0,3704	1,0493	5832,057635	109,0594778	64,1580
1,58	61,76	9262,9681	351,1591	0,3766	1,0321	5774,909586	218,9268224	132,2323
1,86	52,62	9262,9681	299,1939	0,3765	1,0322	5775,209506	186,539267	112,6546
2,15	45,42	9262,9681	258,2516	0,3751	1,0361	5788,265266	161,3768356	96,8747
2,52	38,78	9262,9681	220,4586	0,3750	1,0364	5789,293319	137,785181	82,6733
3,84	25,48	9262,9681	144,8728	0,3739	1,0393	5799,181799	90,6992033	54,1736
1,77	55,08	9262,9681	365,3315	0,3763	1,0327	5776,963295	227,8434324	137,4880
2,20	44,39	9262,9681	294,4698	0,3765	1,0322	5775,265266	183,5956828	110,8741
2,54	38,46	9262,9681	255,1021	0,3749	1,0367	5790,321486	159,4654537	95,6367
2,92	33,47	9262,9681	222,0333	0,3748	1,0370	5791,349767	138,8186539	83,2147
4,12	23,74	9262,9681	157,4705	0,3740	1,0390	5798,237328	98,57003458	58,9004
2,12	46,12	9262,9681	349,5844	0,3730	1,0419	5807,682807	219,1819491	130,4025
2,72	35,94	9262,9681	272,4239	0,3727	1,0428	5810,744008	170,8939834	101,5299
2,85	34,27	9262,9681	259,8263	0,3718	1,0452	5818,808858	163,2175885	96,6087
3,54	27,63	9262,9681	209,4357	0,3715	1,0461	5821,764721	131,6301003	77,8056
4,90	19,94	9262,9681	151,1716	0,3707	1,0483	5828,838819	95,12664953	56,0450

Diameter nozzle	\dot{m} primary	\dot{m} secundar	tekanan (bar)	\dot{m} syngas (l/min)	\dot{m} syngas (kg/s)	temperatur (Celcius)								temperatur		
						1	2	3	4	5	6	7	8	min	max	mean
10 mm	0,04	1	2,21	0,03757	218	366	411	297	175	168	167	143	143	411	243	
		0,8	1,89	0,03213	207	358	381	252	166	162	160	132	132	381	227	
		0,6	1,65	0,02805	195	343	354	216	159	158	150	135	135	354	214	
		0,4	1,32	0,02244	190	328	332	215	164	156	145	133	133	332	208	
		0,2	0,98	0,01666	173	263	256	172	150	149	142	123	123	263	178	
	0,05	1	2,23	0,03791	199	370	406	289	178	158	156	125	125	406	235	
		0,8	1,92	0,03264	190	314	360	259	162	155	152	129	129	360	215	
		0,6	1,58	0,02686	182	302	333	224	157	154	152	119	119	333	203	
		0,4	1,3	0,0221	169	289	292	186	152	152	146	117	117	292	188	
		0,2	1,1	0,0187	163	245	236	168	152	150	144	112	112	245	171	
0,025	0,06	1	2,23	0,03791	232	345	257	200	178	168	134	118	118	345	204	
		0,8	1,9	0,0323	234	351	267	211	174	154	121	107	107	351	202	
		0,6	1,64	0,02788	230	347	259	206	177	155	119	109	109	347	200	
		0,4	1,4	0,0238	224	333	224	203	163	154	121	103	103	333	191	
		0,2	0,92	0,01564	202	321	201	197	166	153	113	101	101	321	182	
	0,07	1	2,32	0,03944	234	347	259	202	180	170	136	120	120	347	206	
		0,8	1,87	0,03179	236	353	269	213	176	156	123	109	109	353	204	
		0,6	1,62	0,02754	232	349	261	208	179	157	121	111	111	349	202	
		0,4	1,41	0,02397	226	335	226	205	165	156	123	105	105	335	193	
		0,2	1	0,017	204	323	203	199	168	155	115	103	103	323	184	
0,08	0,08	1	2,22	0,03774	230	343	255	198	176	166	132	116	116	343	202	
		0,8	1,73	0,02941	232	349	265	209	172	152	119	105	105	349	200	
		0,6	1,65	0,02805	228	345	257	204	175	153	117	107	107	345	198	
		0,4	1,33	0,02261	222	331	222	201	161	152	119	101	101	331	189	
		0,2	0,96	0,01632	200	319	199	195	164	151	111	99	99	319	180	

afr	Φ	lhv	energi bahan bakar (kW)	efisiensi	sfc (kg/kWh)	h^* RP (entalphi Pembakaran) KJ/kg	Q loss	DAYA BURNER (kW)
1,73	56,50	9262,9681	348,0097	0,3853	1,0085	5693,483804	213,9041865	134,1055
2,02	48,32	9262,9681	297,6192	0,3819	1,0176	5725,308233	183,9541535	113,6550
2,32	42,18	9262,9681	259,8263	0,3788	1,0259	5753,769791	161,3932426	98,4330
2,90	33,75	9262,9681	207,8610	0,3765	1,0323	5775,724639	129,6072609	78,2537
3,90	25,06	9262,9681	154,3210	0,3689	1,0353	5845,80988	97,39119259	56,9299
1,32	74,12	9262,9681	351,1591	0,3848	1,0100	5698,506976	216,0309995	135,1287
1,53	63,81	9262,9681	302,3433	0,3796	1,0239	5746,864338	187,577652	114,7656
1,86	52,51	9262,9681	248,8033	0,3765	1,0322	5775,266017	155,1236452	93,6797
2,26	43,21	9262,9681	204,7116	0,3720	1,0446	5816,692949	128,5489142	76,1627
2,67	36,56	9262,9681	173,2175	0,3669	1,0592	5864,22557	109,6510182	63,5565
1,58	61,76	9262,9681	351,1591	0,3779	1,0284	5762,543748	218,4580335	132,7011
1,86	52,62	9262,9681	299,1939	0,3786	1,0266	5756,35298	185,9302013	113,2637
2,15	45,42	9262,9681	258,2516	0,3781	1,0278	5760,48001	160,6021827	97,6494
2,52	38,78	9262,9681	220,4586	0,3766	1,0321	5774,909586	137,4428481	83,0158
3,84	25,48	9262,9681	144,8728	0,3752	1,0358	5787,237328	90,51239181	54,3604
1,77	55,08	9262,9681	365,3315	0,3781	1,0278	5760,48001	227,1933316	138,1381
2,20	44,39	9262,9681	294,4698	0,3788	1,0260	5754,292015	182,9288859	111,5409
2,54	38,46	9262,9681	255,1021	0,3783	1,0272	5758,416246	158,5867834	96,5154
2,92	33,47	9262,9681	222,0333	0,3768	1,0315	5772,856353	138,3753668	83,6580
4,12	23,74	9262,9681	157,4705	0,3755	1,0351	5785,181799	98,34809058	59,1224
2,12	46,12	9262,9681	349,5844	0,3777	1,0291	5764,607978	217,5563051	132,0281
2,72	35,94	9262,9681	272,4239	0,3783	1,0272	5758,416246	169,3550218	103,0689
2,85	34,27	9262,9681	259,8263	0,3779	1,0284	5762,543748	161,6393521	98,1869
3,54	27,63	9262,9681	209,4357	0,3763	1,0327	5776,963295	130,6171401	78,8186
4,90	19,94	9262,9681	151,1716	0,3750	1,0364	5789,293319	94,48126696	56,6904

Diameter nozzle	m primary	m secondar	tekanan (bar)	m syngas (L/min)	m syngas (kg/s)	temperatur (Celcius)								temperatur		
						1	2	3	4	5	6	7	8	min	max	mean
10 mm	0,04	0,04	1	2,21	0,03757	387	297	257	233	187	145	113	109	109	387	216
			0,8	1,89	0,03213	388	312	289	279	182	167	115	98	98	388	229
			0,6	1,65	0,02805	372	302	290	303	172	166	114	99	99	372	227
			0,4	1,32	0,02244	361	281	234	190	160	178	117	97	97	361	202
			0,2	0,98	0,01666	315	245	201	178	134	163	109	100	100	315	181
	0,05	0,05	1	2,23	0,03791	445	309	299	301	278	193	113	108	108	445	256
			0,8	1,92	0,03264	417	316	284	254	165	130	98	99	98	417	220
			0,6	1,58	0,02686	404	317	273	294	164	139	100	95	95	404	223
			0,4	1,3	0,0221	386	325	275	282	140	135	99	93	93	386	217
	0,03	0,03	0,2	1,1	0,0187	349	288	251	274	146	107	95	97	95	349	201
			1	2,23	0,03791	415	319	283	271	253	200	154	107	107	415	250
			0,8	1,9	0,0323	424	323	291	261	172	137	105	106	105	424	227
			0,6	1,64	0,02788	411	324	280	301	171	146	107	102	102	411	230
	0,06	0,06	0,4	1,4	0,0238	393	332	282	289	147	142	106	100	100	393	224
			0,2	0,92	0,01564	356	295	258	281	153	114	102	104	102	356	208
			1	2,32	0,03944	401	322	257	246	172	145	112	101	101	401	220
			0,8	1,87	0,03179	422	321	289	259	170	135	103	104	103	422	225
	0,07	0,07	0,6	1,62	0,02754	409	322	278	299	169	144	105	100	100	409	228
			0,4	1,41	0,02397	391	330	280	287	145	140	104	98	98	391	222
			0,2	1	0,017	354	293	256	279	151	112	100	102	100	354	206
			1	2,22	0,03774	365	288	276	201	187	154	113	98	98	365	210
	0,08	0,08	0,8	1,73	0,02941	386	310	287	277	180	165	113	96	96	386	227
			0,6	1,65	0,02805	370	300	288	301	170	164	112	97	97	370	225
			0,4	1,33	0,02261	359	279	232	188	158	176	115	95	95	359	200
			0,2	0,96	0,01632	313	243	199	176	132	161	107	98	98	313	179

afr	Φ	Ihv	energi bahan bakar (kW)	efisiensi	sfc (kg/kWh)	h° RP (entalphi Pembakaran) KJ/Kg	Q loss	DAYA BURNER (kW)
1,86	52,47	9262,9681	348,0097	0,3826	1,0158	5718,904597	214,8592457	133,1505
2,18	44,87	9262,9681	297,6192	0,3827	1,0155	5717,857915	183,7147748	113,9044
2,50	39,17	9262,9681	259,8263	0,3809	1,0203	5734,566139	160,8545802	98,9717
3,12	31,34	9262,9681	207,8610	0,3795	1,0242	5748,127571	128,9879827	78,8730
4,20	23,27	9262,9681	154,3210	0,3746	1,0376	5793,391556	96,5190332	57,8031
1,32	74,12	9262,9681	351,1591	0,3892	0,9986	5657,768441	214,4860016	136,6731
1,53	63,81	9262,9681	302,3433	0,3860	1,0068	5687,42072	185,6374123	116,7059
1,86	52,51	9262,9681	248,8033	0,3845	1,0107	5701,082023	153,1310631	95,6723
2,26	43,21	9262,9681	204,7116	0,3825	1,0161	5719,951087	126,410919	78,3007
2,67	36,56	9262,9681	173,2175	0,3783	1,0272	5758,416246	107,6823838	65,5351
1,58	61,76	9262,9681	351,1591	0,3858	1,0074	5689,521197	215,6897486	135,4694
1,86	52,62	9262,9681	299,1939	0,3868	1,0048	5680,032076	183,4650361	115,7288
2,15	45,42	9262,9681	258,2516	0,3853	1,0086	5693,731697	158,7412397	99,5103
2,52	38,78	9262,9681	220,4586	0,3833	1,0140	5712,626595	135,960513	84,4981
3,84	25,48	9262,9681	144,6728	0,3791	1,0251	5751,197015	89,94872131	54,9241
1,77	55,08	9262,9681	365,3315	0,3842	1,0116	5704,236325	224,9750807	140,3564
2,20	44,39	9262,9681	294,4698	0,3866	1,0054	5682,142363	180,6353057	113,8345
2,54	38,46	9262,9681	255,1021	0,3851	1,0092	5695,826185	156,8630531	98,2391
2,92	33,47	9262,9681	222,0333	0,3831	1,0146	5714,718704	136,9818073	85,0515
4,12	23,74	9262,9681	157,4705	0,3789	1,0257	5753,259022	97,80540337	59,6651
2,12	46,12	9262,9681	349,5844	0,3801	1,0224	5741,840148	216,6970472	132,8874
2,72	35,94	9262,9681	272,4239	0,3825	1,0161	5719,951087	168,2237615	104,2001
2,85	34,27	9262,9681	259,8263	0,3807	1,0209	5736,643259	160,9128434	98,9134
3,54	27,63	9262,9681	209,4357	0,3795	1,0242	5748,083916	129,9641773	79,4715
4,90	19,94	9262,9681	151,1716	0,3743	1,0382	5795,433797	94,58147957	56,5902

Lampiran II: Tabel Perhitungan Reaktan

Diameter nozzle outlet	\dot{m} primary air (kg/s)	\dot{m} secondary air (kg/s)	tekanan (bar)	temperatur max (kelvin)	\dot{h}_{CO_2}	\dot{h}_{CO}	\dot{h}_{O_2}	\dot{h}_{N_2}	\dot{h}_{CH_4}	\dot{h}_{H_2}	\dot{h}_{NH_3} reactan
10 mm	0,04	1	627	23566	18435	18798	18377	53.694	17557,939	29,367	9603,012
		0,8	594	21996	17429	1737	17382	51,794	15227,552	29,338	8625,247
		0,6	603	22422	18020	17653	52,315	15851,474	29,345	8891,587	-5944,85
		0,4	566	20685	16580	16844	16542	50,165	13343,906	29,315	7797,895
		0,2	562	20500	16459	16717	16423	49,931	13082,033	29,312	7679,835
	0,05	1	575	21104	16852	17131	16812	50,690	13939,768	29,322	8063,642
		0,8	583	21478	17094	17386	17052	51,156	14477,090	29,329	8300,005
		0,6	583	21478	17094	17386	17052	51,156	14477,090	29,329	8300,005
		0,4	566	20685	16580	16844	16542	50,165	13343,906	29,315	-6291,15
		0,2	536	19303	15677	15896	15647	48,410	11424,783	29,293	6913,089
0,01	0,06	1	632	23805	18588	18950	18529	53,979	17921,113	29,372	9751,470
		0,8	649	24626	19110	19512	19045	54,943	19175,162	29,390	10256,948
		0,6	639	24142	18802	19187	18742	54,377	18433,907	29,379	9999,469
		0,4	616	23040	18099	18443	18045	53,064	16768,189	29,357	-4517,96
		0,2	604	22770	17733	18057	17683	52,373	15221,343	29,346	-5249,11
	0,07	1	705	27374	20846	21349	20758	58,041	23506,681	29,461	11931,625
		0,8	706	27423	20877	21382	20789	58,095	23586,689	29,462	11961,686
		0,6	694	26829	20503	20986	20420	57,443	22632,554	29,445	11601,346
		0,4	693	26779	20472	20953	20389	57,388	22553,635	29,444	-2750,42
		0,2	689	26582	20347	20821	20266	57,169	22238,882	29,438	-2782,79
0,08	1	663	25306	19542	19968	19472	55,729	20229,778	29,405	10674,142	-3749,66
	0,8	676	25942	19944	20393	19869	56,453	21226,266	29,421	11062,361	-3331,51
	0,6	669	25599	19727	20164	19655	56,064	20887,664	29,413	10853,217	-3556,94
	0,4	662	25258	19511	19935	19441	55,673	20153,805	29,404	10644,312	-3781,76
0,2	651	24723	19172	19577	19106	55,056	19324,626	29,392	10316,494	-4134,41	

Diameter nozzle outlet	\dot{m} primary air (kg/s)	\dot{m} secondary air (kg/s)	temperatur u rmax (kelvin)	\dot{h} CO2	\dot{h} CO	\dot{h} O2	\dot{h} N2	\dot{h} CH4	\dot{h} H2	\dot{h} H2	\dot{m} reactan	
10 mm	0.04	1	629	23661	18496	18863	18438	53.808	17702.896	29.369	9662.384	-4836.35
		0.8	566	22091	17489	17801	17443	51.910	15365.336	29.339	8684.415	-5881.73
		0.6	605	22517	17763	18900	17714	52.431	15991.321	29.347	8950.804	-5597.45
		0.4	568	20777	16641	16908	16602	50.282	13475.526	29.317	7836.936	-6762.50
		0.2	564	20592	16520	16781	16483	50.048	13212.741	29.314	7738.861	-6887.38
	0.05	1	637	24046	18741	19122	18681	54.264	18286.380	29.377	9900.021	-4518.45
		0.8	654	24868	19264	19674	19197	55.225	19549.573	29.395	10405.845	-4038.30
		0.6	644	24384	18956	19349	18893	54.661	18803.265	29.384	10108.157	-4358.08
		0.4	621	23279	18252	18604	18196	53.351	17125.583	29.361	9424.979	-5090.46
		0.2	609	22707	17885	18218	17834	52.661	16272.314	29.350	9069.273	-5470.99
0.015	0.06	1	751	29680	22290	22877	22180	60.480	27276.643	29.537	13321.217	-890.92
		0.8	732	28722	21691	22244	21591	59.485	25697.728	29.503	12745.509	-1514.03
		0.6	699	27076	20659	21151	20573	57.716	23028.522	29.452	11751.384	-2588.46
		0.4	698	27026	20628	21118	20543	57.661	22949.146	29.451	11721.365	-2620.36
		0.2	694	26829	20503	20986	20420	57.443	22632.554	29.445	11601.346	-2750.42
	0.07	1	575	21104	16852	17131	16812	50.690	13939.768	29.322	8063.642	-6542.34
		0.8	583	21478	17094	17386	17052	51.156	14477.090	29.329	8300.005	-6291.45
		0.6	583	21478	17094	17386	17052	51.156	14477.090	29.329	8300.005	-6291.45
		0.4	566	20685	16580	16844	16542	50.165	13343.906	29.315	7797.895	-6825.25
		0.2	536	19303	15677	15886	15647	48.410	11424.783	29.293	6913.089	-7762.09
0.08	1	595	23044	17459	17769	17413	51.852	15796.439	29.338	8654.830	-5913.29	
	0.8	654	24868	19264	19674	19197	55.225	19549.573	29.395	10405.845	-4038.30	
	0.6	634	23901	18649	19025	18590	54.093	18067.710	29.374	9810.879	-4677.09	
	0.4	618	23136	18160	18508	18106	53.179	16910.829	29.359	9336.009	-5185.67	
	0.2	601	22327	17641	17593	17593	52.200	15712.060	29.343	8832.381	-5723.35	

Diameter nozzle outlet	\dot{m} primary air (kg/s)	\dot{m} secondary air (kg/s)	tekanan (bar)	temperatur max (kelvin)	\dot{m} CO2	\dot{m} CO	\dot{m} O2	\dot{m} N2	\dot{m} CH4	\dot{m} H2	\dot{m} H2	Σ nh reactan	
10 mm	0.04	0.04	1	640	24190	18833	19219	18772	54,434	18507,575	29,380	9985,198	-4485,76
			0,8	657	25014	19357	19772	19289	55,393	19775,418	29,398	10495,356	-3942,15
			0,6	647	24529	19049	19447	18884	54,830	19026,100	29,387	10197,419	-4262,28
			0,4	624	23422	18343	18701	18287	53,522	17341,288	29,364	9513,980	-4995,20
			0,2	612	22849	17976	18314	17924	52,834	16484,190	29,353	9158,157	-5375,97
	0.05	0.05	1	605	22517	17673	18090	17714	52,431	15991,321	29,347	8950,804	-5597,66
			0,8	608	22422	17702	18025	17653	52,315	15851,474	29,345	8891,587	-5660,66
			0,6	571	20917	16731	17003	16692	50,457	13673,808	29,319	7945,512	-6668,55
			0,4	571	20917	16731	17003	16692	50,457	13673,808	29,319	7945,512	-6668,55
			0,2	550	19945	16097	16338	16064	49,230	12307,422	29,303	7325,823	-7325,87
	0.06	0.06	1	666	22564	17973	18122	17744	52,488	16061,408	29,348	8980,417	-5565,84
			0,8	595	22044	17459	17769	17413	51,852	15296,439	29,338	8654,830	-5913,29
			0,6	593	21949	17398	17705	17352	51,736	15158,776	29,337	8595,667	-5976,41
			0,4	592	21902	17368	17673	17322	51,678	15090,109	29,336	8566,090	-6007,96
			0,2	586	22091	17489	17801	17443	51,910	15365,436	29,339	8684,415	-5881,73
	0.07	0.07	1	604	22470	17733	18057	17683	52,373	15921,343	29,346	8921,194	-5629,05
			0,8	593	21949	17398	17705	17352	51,736	15158,776	29,337	8595,667	-5976,41
			0,6	591	21854	17337	17641	17292	51,620	15021,553	29,335	8536,515	-6039,52
			0,4	590	21807	17307	17609	17262	51,562	14953,107	29,334	8506,943	-6071,06
			0,2	594	21956	17429	17737	17382	51,794	15227,552	29,338	8625,247	-5944,85
	0.08	0.08	1	574	21057	16822	17099	16782	50,632	13873,109	29,322	8034,107	-6574,35
			0,8	571	20917	16731	17003	16692	50,457	13673,808	29,319	7945,512	-6668,55
			0,6	567	20731	16610	16876	16572	50,223	13409,659	29,316	7827,415	-6793,93
			0,4	570	20870	16701	16971	16662	50,399	13607,601	29,318	7915,985	-6799,95
			0,2	565	20639	16550	16813	16513	50,107	13278,267	29,315	7768,377	-6856,57

Diameter nozzle outlet	\dot{m} primary air (kg/s)	\dot{m} secondary air (kg/s)	temperatur max (kelvin)	\dot{m} CO ₂	\dot{m} CO	\dot{m} O ₂	\dot{m} N ₂	\dot{m} CH ₄	\dot{m} H ₂	\dot{m} H ₂ O	Σ nh reactant
10 mm	0.04	1	684	26346	20199	20664	20120	56,907	28653,666	29,432	11308,534
		0.8	654	24863	19261	19671	19193	55,218	19540,776	29,395	10402,357
		0.6	627	23542	18420	18782	18362	53,666	17522,102	29,367	9588,310
		0.4	605	22527	17769	18096	17720	52,442	16005,765	29,347	8856,910
		0.2	536	19319	15688	15908	15638	48,431	11446,812	29,293	6923,518
	0.05	1	679	26111	20051	20506	19974	56,644	21493,444	29,426	11165,532
		0.8	633	23862	18624	18998	18564	54,046	18006,589	29,373	9786,271
		0.6	606	22548	17783	18110	17733	52,468	16037,065	29,347	8970,136
		0.4	565	20645	16554	16817	16517	50,115	13287,692	29,315	7772,619
		0.2	518	18486	15137	15332	15113	47,357	10323,744	29,279	6382,809
0.025	0.06	1	618	23136	18160	18508	18106	53,179	16910,829	29,359	9336,009
		0.8	624	23422	18343	18701	18287	53,522	17341,288	29,364	9515,980
		0.6	620	23231	18221	18572	18166	53,293	17053,892	29,360	9395,319
		0.4	606	22564	17793	18122	17744	52,488	16061,408	29,348	8880,417
		0.2	590	21996	17429	17737	17382	51,794	15227,552	29,338	8625,247
	0.07	1	620	23231	18221	18572	18166	53,293	17053,892	29,360	9395,319
		0.8	626	23518	18405	18766	18347	53,637	17485,617	29,366	9573,331
		0.6	622	23327	18282	18637	18226	53,408	17197,379	29,362	9454,643
		0.4	608	22659	17854	18186	17804	52,604	16201,904	29,350	9039,951
		0.2	596	22091	17489	17801	17443	51,910	15365,436	29,339	8684,415
0.08	0.8	1	616	23040	18099	18443	18005	53,064	16768,189	29,357	9276,712
		0.6	618	23136	18160	18508	18106	53,408	17197,379	29,362	9454,643
	0.4	604	22470	17733	18057	17683	52,373	15921,343	29,346	8821,194	-5629,095
		0.2	592	21902	17368	17673	17322	51,678	15090,109	29,336	8366,090

Diameter nozzle outlet	\dot{m} primary air (kg/s)	\dot{m} secondary air (kg/s)	tekanan (bar)	temperatur max (kelvin)	\dot{m} CO2	\dot{m} CO	\dot{m} O2	\dot{m} N2	\dot{m} CH4	\dot{m} H2	\dot{m} H2	Σnh reactant
10 mm	0.03	1	660	25160	19449	19870	19280	55,562	20002,154	29,402	10584,668	-3845,96
		0.8	661	25209	19480	19903	19411	55,618	20077,931	29,403	10614,488	-3813,87
		0.6	645	24432	18987	18924	54,717	18877,442	29,385	10137,907	-4326,15	
		0.4	634	23901	18649	19025	18590	54,093	18667,110	29,374	9810,879	-4677,09
		0.2	588	21713	17246	17545	17202	51,446	14816,547	29,333	8447,806	-6134,05
		1	718	28021	21729	21758	21158	58,741	24553,711	29,481	12322,506	-1970,99
	0.06	0.8	690	26631	20378	20854	20297	57,224	22317,432	29,440	11481,418	-2879,90
		0.6	677	25991	19975	20426	19899	56,508	21303,592	29,422	11092,260	-3299,40
		0.4	659	25111	19418	19837	19350	55,506	19926,477	29,401	10554,853	-3878,03
		0.2	622	23327	18282	18637	18226	53,408	17197,379	29,362	9454,643	-5058,71
		1	688	26532	20316	20788	20236	57,115	22160,426	29,437	11421,488	-2944,50
		0.8	697	26977	20596	21085	20512	57,607	22869,861	29,449	11691,351	-2653,25
	0.08	0.6	684	26335	20192	20556	20113	56,895	21847,533	29,431	11301,693	-3073,65
		0.4	666	25453	19634	20066	19563	55,897	20458,282	29,409	10763,657	-3653,32
		0.2	629	23661	18496	18863	18438	53,808	17702,896	29,369	9662,384	-4836,35
		1	674	25844	19882	20328	19807	56,342	21071,889	29,419	11002,281	-3396,03
		0.8	695	26878	20534	21019	20451	57,498	22711,564	29,446	11631,342	-2718,03
		0.6	682	26237	20130	20590	20052	56,784	21691,649	29,429	11241,829	-3138,20
0.08	0.08	0.4	664	25355	19573	20001	19502	55,785	20305,848	29,407	10703,975	-3717,55
		0.2	627	23566	18435	18798	18377	53,694	17557,939	29,367	9603,012	-4899,90
		1	638	24094	18772	19154	18711	54,321	18360,342	29,378	9929,743	-4549,56
		0.8	659	25111	19418	19837	19350	55,506	19926,477	29,401	10554,853	-3878,03
0.10	0.10	0.6	643	24335	18925	19317	18863	56,604	18729,190	29,383	10078,111	-4390,01
		0.4	632	23805	18588	18960	18529	53,979	17921,113	29,372	9751,470	-4740,84
		0.2	586	21619	17195	17481	17142	51,330	14580,430	29,331	8338,678	-6197,02

Lampiran II: Tabel Perhitungan ΣM

komposisi	Koefisien Reaktan	Mi	ΣM
CO	0.1957	28.01	5.48
H2	0.0534	2.106	0.11
CH4	0.0181	16.04	0.29
N2	0.4926	28.01	13.80
CO2	0.1123	44.01	4.94
O2	0.1279	32	4.09
Total			28.72

Lampiran III: Tabel A1 *Thermodynamics*

TABLE A-1 Atomic or Molecular Weights and Critical Properties of Selected Elements and Compounds

Substance	Chemical Formula	M (kg/kmol)	T_c (K)	p_c (bar)	$Z_c = \frac{p_c v_c}{RT_c}$
Acetylene	C_2H_2	26.04	309	62.8	0.274
Air (equivalent)	—	28.97	133	37.7	0.284
Ammonia	NH_3	17.03	406	112.8	0.242
Argon	Ar	39.94	151	48.6	0.290
Benzene	C_6H_6	78.11	563	49.3	0.274
Butane	C_4H_{10}	58.12	425	38.0	0.274
Carbon	C	12.01	—	—	—
Carbon dioxide	CO_2	44.01	304	73.9	0.276
Carbon monoxide	CO	28.01	133	35.0	0.294
Copper	Cu	63.54	—	—	—
Ethane	C_2H_6	30.07	305	48.8	0.285
Ethyl alcohol	C_2H_5OH	46.07	516	63.8	0.249
Ethylene	C_2H_4	28.05	283	51.2	0.270
Helium	He	4.003	5.2	2.3	0.300
Hydrogen	H ₂	2.016	33.2	13.0	0.304
Methane	CH ₄	16.04	191	46.4	0.290
Methyl alcohol	CH ₃ OH	32.04	513	79.5	0.220
Nitrogen	N ₂	28.01	126	33.9	0.291
Octane	C_8H_{18}	114.22	569	24.9	0.258
Oxygen	O ₂	32.00	154	50.5	0.290
Propane	C_3H_8	44.09	370	42.7	0.276
Propylene	C_3H_6	42.08	365	46.2	0.276
Refrigerant 12	CCl_2F_2	120.92	385	41.2	0.278
Refrigerant 22	$CHClF_2$	86.48	369	49.8	0.267
Refrigerant 134a	CF_3CH_2F	102.03	374	40.7	0.260
Sulfur dioxide	SO ₂	64.06	431	78.7	0.268
Water	H ₂ O	18.02	647.3	220.9	0.233

Sources: Adapted from *International Critical Tables* and L. C. Nelson and E. F. Obert, Generalized Compressibility Charts, *Chem. Eng.*, 61: 203 (1954).

Lampiran IV: Tabel A21 *Thermodynamics*

TABLE A-21 Variation of \bar{c}_p , with Temperature for Selected Ideal Gases

Gas	T is in K, equations valid from 300 to 1000 K				
	α	$\beta \times 10^3$	$\gamma \times 10^6$	$\delta \times 10^9$	$\varepsilon \times 10^{12}$
CO	3.710	-1.619	3.692	-2.032	0.240
CO ₂	2.401	8.735	-6.607	2.002	0
H ₂	3.057	2.677	-5.810	5.521	-1.812
H ₂ O	4.070	-1.108	4.152	-2.964	0.807
O ₂	3.626	-1.878	7.055	-6.764	2.156
N ₂	3.675	-1.208	2.324	-0.632	-0.226
Air	3.653	-1.337	3.294	-1.913	0.2763
SO ₂	3.267	5.324	0.684	-5.281	2.559
CH ₄	3.826	-3.979	24.558	-22.733	6.963
C ₂ H ₂	1.410	19.057	-24.501	16.391	-4.135
C ₂ H ₄	1.426	11.383	7.989	-16.254	6.749
Monatomic gases ^a	2.5	0	0	0	0

^aFor monatomic gases, such as He, Ne, and Ar, \bar{c}_p is constant over a wide temperature range and is very nearly equal to $5/2 \frac{R}{M}$.

Source: Adapted from K. Wark, *Thermodynamics*, 4th ed., McGraw-Hill, New York, 1983, as based on NASA SP-273, U.S. Government Printing Office, Washington, DC, 1971.

Lampiran V: Tabel A23 Thermodynamics

Table A-23

T	Carbon Monoxide, CO ($\bar{R}_g = -363520 \text{ kJ/Kmol}$)			Water, Liquid, H ₂ O ($\bar{R}_g = -241.30 \text{ kJ/Kmol}$)			Oxygen, O ₂ ($\bar{R}_g = 0 \text{ kJ/Kmol}$)			Nitrogen, N ₂ ($\bar{R}_g = 0 \text{ kJ/Kmol}$)			
	T	n	p	T	n	p	T	n	p	T	n	p	
0	230	6.01	0	10	0	0	10	0	0	10	0	0	
230	6.01	4.972	20.2966	6.391	-4.962	188.683	7.295	5.466	178.576	6.484	-45.75	196.171	
230	6.038	50.126	20.4364	6.633	4.771	189.940	7.628	5.773	190.054	6.694	-47.92	192.461	
240	5.280	52.885	21.5321	6.728	4.979	191.471	5.961	5.963	191.479	6.984	-49.09	193.936	
250	7.627	53.486	21.7357	7.206	5.188	192.411	8.284	6.215	182.831	5.197	-19.885	195.180	
260	7.979	53.117	20.8717	7.554	5.386	194.130	6.466	6.466	194.130	7.566	-54.985	197.370	
270	8.325	53.011	21.0162	7.949	5.648	194.655	6.716	6.716	201.214	7.859	-54.514	198.614	
280	8.667	53.069	21.1378	8.141	5.812	195.173	7.298	6.966	195.173	8.159	-53.22	199.673	
290	9.003	56.551	21.2660	8.432	6.020	196.325	7.791	7.219	197.791	8.443	-6.132	204.218	
290	9.341	65.865	21.3685	8.669	6.199	197.543	8.041	7.425	198.730	8.692	-205.533	206.695	
300	9.687	60.39	21.3015	8.723	6.229	198.723	9.966	7.472	198.925	8.736	-6.422	205.213	
310	10.030	6.947	73.80	21.54.51	9.114	6.847	198.676	10.902	7.725	199.030	9.030	-6.453	206.177
320	10.370	10.186	75.26	21.63.51	9.316	6.945	199.643	11.679	7.979	199.196	9.645	-10.562	201.310
330	10.709	13.755	75.54	21.80.94	9.597	6.854	201.900	11.979	8.232	202.136	9.621	-6.777	201.712
340	11.040	8.31	21.8604	9.639	7.002	201.371	11.304	8.487	195.144	9.916	-10.326	200.580	
350	11.381	8.491	21.9531	10.181	7.271	202.217	11.652	8.742	194.125	10.213	-19.765	201.873	
350	11.726	57.752	22.0486	10.473	7.680	203.090	11.992	9.098	195.081	10.511	-10.034	201.695	
370	12.168	90.068	22.3144	10.765	7.669	203.945	12.331	9.285	196.012	10.899	-7.733	214.245	
380	12.502	93.912	22.3122	11.159	7.799	204.622	12.672	9.513	196.920	11.109	-7.949	217.222	
390	12.940	97.18	22.4182	11.551	8.418	205.383	13.014	9.771	197.807	11.409	-8.166	210.075	
400	13.379	100.46	22.5325	11.644	8.319	206.100	13.366	10.030	198.673	11.711	-8.344	213.376	
410	13.326	10.296	22.6250	11.584	8.520	206.580	13.699	10.290	199.521	12.012	-8.523	214.264	
420	13.714	14.232	22.7256	12.233	8.589	207.589	14.048	11.551	200.340	12.314	-8.524	212.255	
430	14.062	11.185	22.8252	12.528	8.581	208.252	14.389	11.861	201.160	12.618	-9.045	213.549	
440	15.085	11.380	22.9254	12.521	9.165	208.459	14.756	11.075	201.085	12.923	-9.268	212.968	
450	15.483	11.782	23.0194	13.116	9.375	209.303	15.090	11.879	202.754	13.226	-9.487	213.523	
460	15.916	12.091	23.1144	13.412	9.887	210.245	15.428	11.003	203.497	13.535	-9.710	218.16	
470	16.351	12.444	23.2080	13.708	9.900	210.880	15.777	11.909	204.207	13.842	-9.935	216.76	
480	16.720	12.900	23.3014	14.015	10.115	21.504	16.126	12.135	204.982	14.151	-10.103	215.988	
490	17.232	13.158	23.3916	14.310	10.226	21.117	16.477	12.407	205.705	14.490	-10.396	216.033	
500	17.678	13.321	23.4814	14.610	10.443	21.719	16.828	12.671	206.413	14.770	-10.642	216.630	
510	18.126	13.385	23.5700	14.915	10.498	21.310	17.181	12.940	207.112	15.052	-10.856	217.216	
520	18.576	14.255	23.6575	15.317	10.854	21.390	17.534	13.211	207.769	15.395	-11.071	217.812	
530	19.029	14.622	23.7439	15.697	11.000	21.446	17.889	13.462	208.475	15.708	-11.302	222.049	
540	19.489	14.906	23.8293	15.977	11.387	21.5120	18.248	13.785	209.159	16.032	-11.596	228.358	
550	19.948	15.272	23.9185	16.015	11.524	21.582	18.627	14.041	209.795	16.388	-11.875	234.914	
560	20.407	15.647	24.0062	16.349	11.743	21.615	18.949	14.303	210.449	16.654	-12.162	240.461	
570	20.857	16.311	24.0789	16.731	12.061	21.648	19.216	14.564	211.075	16.971	-12.453	246.990	
580	21.337	16.515	24.1610	17.001	12.381	21.717	19.478	14.826	211.705	17.284	-12.743	252.562	
590	21.897	16.945	24.2405	17.307	12.401	21.747	19.678	15.134	212.403	17.595	-13.048	258.990	

Table A-25 (Continued)

τ	Carbon Brook, CO ($R = 39.5(2)$ km/hour)			Carbon Monoxide, CO ($R = -11(5.3)$ km/hour)			Water Vapor, H ₂ O ($R = -2(1.20)$ km/hour)			Oxygen, O ₂ ($R = 0$ km/hour)			Nitrogen, N ₂ ($R = 0$ km/hour)		
	\bar{R}	\bar{B}	\bar{P}	\bar{R}	\bar{B}	\bar{P}	\bar{R}	\bar{B}	\bar{P}	\bar{R}	\bar{B}	\bar{P}	\bar{R}	\bar{B}	\bar{P}
0.00	32.90	17.291	12.622	21.394	20.402	15.413	212.950	17.929	120.00	226.346	17.503	12.006	12.574	212.066	0.00
0.10	22.74	17.683	20.368	17.915	12.845	21.706	15.693	213.529	18.290	13.17	18.166	12.701	213.055	12.504	610
0.20	23.23	18.076	18.221	13.066	21.730	15.095	214.122	18.579	21.400	13.794	12.006	12.504	12.504	12.504	610
0.30	23.70	18.471	24.552	18.527	13.289	21.049	21.489	16.287	214.707	18.805	13.657	227.918	18.368	12.006	610
0.40	24.19	18.869	24.025	18.533	13.152	21.919	21.585	17.219	216.419	19.219	13.490	214.018	18.418	12.006	610
0.50	24.74	19.270	24.702	19.441	13.736	23.065	22.380	16.326	215.886	18.544	14.140	228.932	19.075	12.006	610
0.60	25.60	19.672	24.773	19.449	13.902	22.660	21.600	17.112	216.419	19.870	14.383	214.954	21.493	12.006	610
0.70	26.18	20.078	24.897	19.755	14.187	21.127	21.600	17.389	216.976	20.197	14.626	216.920	19.695	14.114	570
0.80	26.49	20.480	24.923	20.106	14.414	21.527	21.600	17.600	217.527	20.517	14.877	215.806	21.543	14.114	570
0.90	26.81	20.884	24.952	20.475	14.641	22.045	21.543	17.800	217.527	20.971	14.991	216.390	21.614	14.114	640
1.00	27.25	21.286	25.081	20.860	14.870	22.222	21.543	17.974	218.071	21.384	15.110	216.385	21.450	14.114	640
1.10	27.62	21.719	25.108	21.007	15.099	21.890	21.466	18.265	218.610	21.184	15.346	211.158	21.014	14.114	640
1.20	28.11	22.134	25.126	21.315	15.328	22.033	21.683	18.854	219.666	21.611	15.714	210.917	15.008	21.192	710
1.30	28.62	22.575	25.150	21.628	15.558	22.105	21.816	19.185	220.189	22.177	16.017	212.200	15.234	21.624	720
1.40	29.14	23.049	25.389	21.943	15.789	22.602	21.944	19.444	22.510	22.510	16.357	23.246	15.460	21.809	730
1.50	29.65	23.593	25.411	22.258	16.032	22.115	21.977	19.741	22.619	22.844	16.607	23.364	15.913	218.899	750
1.60	30.15	23.887	25.477	22.573	16.255	22.533	21.974	20.059	221.730	23.178	16.959	23.049	22.460	16.141	750
1.70	30.64	24.242	25.567	22.873	16.461	22.935	21.974	20.476	221.730	23.513	17.277	23.528	22.770	16.370	770
1.80	31.15	24.669	25.611	23.180	16.723	23.337	21.974	20.859	222.717	23.850	17.614	23.960	23.075	16.599	780
1.90	31.665	25.076	25.672	23.526	16.937	23.700	21.974	21.241	226.762	17.618	18.387	24.630	23.512	16.830	780
2.00	32.179	25.497	25.746	23.844	17.148	23.980	21.974	21.626	223.693	24.428	18.722	25.831	21.714	17.207	800
2.10	32.694	25.949	25.868	24.164	17.365	24.072	21.974	21.895	224.174	24.861	19.126	24.012	17.502	22.121	800
2.20	33.112	26.344	25.863	24.483	17.565	24.277	21.974	21.895	225.653	24.126	19.534	24.664	17.539	22.164	810
2.30	33.531	26.729	25.811	24.693	17.764	24.473	21.974	21.895	226.135	25.570	19.834	24.705	17.577	22.207	820
2.40	33.951	27.076	25.811	24.813	17.964	24.664	21.974	22.070	226.625	25.977	20.134	24.747	17.616	22.247	820
2.50	34.291	27.407	25.847	25.013	18.160	24.874	21.974	22.470	227.126	26.383	20.434	24.783	17.656	22.287	820
2.60	34.773	27.706	26.055	25.446	18.379	25.090	21.974	22.877	228.607	26.781	20.734	24.824	17.794	22.327	820
2.70	35.296	28.125	26.164	25.768	18.617	25.382	21.974	23.099	230.109	27.180	21.034	24.865	17.934	22.366	820
2.80	35.521	28.587	26.170	26.091	18.838	25.656	21.974	23.402	23.593	26.899	21.406	25.928	18.695	22.427	870
2.90	36.347	29.031	26.271	26.415	19.099	28.127	21.974	23.715	23.742	27.424	19.225	23.015	18.931	23.927	880
3.00	36.876	29.456	26.298	26.740	19.341	28.193	21.974	24.029	23.875	27.584	20.185	23.439	19.388	24.238	890
3.10	37.416	29.822	26.359	27.086	19.585	28.397	21.974	24.468	23.826	27.926	20.584	23.825	19.648	24.647	900
3.20	37.955	30.169	26.446	27.292	19.826	28.137	21.974	24.662	23.225	28.173	20.874	24.050	19.847	25.047	900
3.30	38.497	30.511	26.526	27.513	19.963	28.385	21.974	24.862	23.462	28.421	21.163	24.241	20.151	25.447	900
3.40	38.935	30.851	26.614	27.727	20.107	28.635	21.974	25.062	23.662	28.667	21.453	24.439	20.446	25.846	900
3.50	39.375	31.190	26.704	27.941	20.251	28.885	21.974	25.262	23.862	28.912	21.744	24.638	20.735	26.245	900
3.60	39.815	31.526	26.794	28.155	20.386	29.137	21.974	25.462	24.062	29.157	22.034	24.837	21.024	26.644	900
3.70	40.255	31.857	26.884	28.369	20.521	29.385	21.974	25.662	24.262	29.401	22.323	25.036	21.313	27.043	900
3.80	40.695	32.196	26.974	28.583	20.656	29.633	21.974	25.862	24.462	29.645	22.582	25.235	21.602	27.442	900
3.90	41.135	32.537	27.064	28.797	20.786	29.882	21.974	26.062	24.662	29.887	22.841	25.434	21.890	27.841	900
4.00	41.576	32.876	27.154	29.001	20.921	30.131	21.974	26.262	24.862	30.130	23.119	25.633	22.179	28.239	900
4.10	42.016	33.217	27.244	29.215	21.056	30.379	21.974	26.462	25.062	30.379	23.398	25.832	22.468	28.638	900
4.20	42.226	33.495	27.313	29.426	21.191	30.627	21.974	26.662	25.262	30.627	23.617	26.031	22.757	29.037	900

Table A-25

Table A-24

(Continued)

γ	δ	Cation Ionsite, CO_3^{2-}		Cation Micaite, CO_3^{2-}		Water Specie H_2O		Oxygen, O_2		Nitrogen, N_2	
		$\overline{W} = -9.53(10 \text{ kbar})$	$\overline{W} = -11.5(10 \text{ kbar})$	\overline{W}	\overline{W}	\overline{W}	\overline{W}	\overline{W}	\overline{W}	\overline{W}	\overline{W}
1.000	42.769	346.55	269.15	319.19	22.161	310.55	22.161	234.01	35.682	27.568	235.97
1.020	43.859	353.78	270.93	22.540	310.55	22.161	36.707	26.225	32.088	32.088	241.64
1.040	44.953	36.936	271.54	31.688	23.041	235.725	37.542	28.895	23.232	32.769	24.142
1.060	46.051	37.38	272.01	31.325	23.540	236.364	38.380	25.567	25.030	34.496	24.848
1.080	47.153	38.1	273.30	31.327	24.049	236.992	39.223	30.243	25.596	34.513	24.977
1.100	48.258	39.1	274.44	31.327	24.489	237.640	40.017	31.028	25.744	34.514	25.288
1.120	49.360	40.07	275.54	31.327	24.965	238.217	41.023	31.611	25.754	34.514	25.390
1.140	50.464	41.016	276.59	31.514	25.075	238.747	41.791	32.310	25.754	34.514	25.490
1.160	51.566	41.95	277.63	31.514	25.075	239.267	42.044	32.999	25.754	34.514	25.587
1.180	52.678	42.913	278.66	31.616	25.075	239.893	43.019	33.668	25.754	34.514	25.684
1.200	53.788	43.871	279.40	31.718	25.075	240.663	44.393	34.403	26.333	34.487	26.799
1.220	54.977	44.834	281.02	31.780	25.075	241.637	45.256	35.112	26.407	34.487	27.115
1.240	56.108	45.799	281.15	31.846	25.420	241.128	46.157	35.827	241.779	36.077	26.618
1.260	57.244	46.766	282.066	31.914	25.675	242.289	47.022	36.546	242.452	40.994	27.819
1.280	58.381	47.730	282.62	31.984	25.675	242.780	47.912	37.270	243.185	41.512	28.219
1.300	59.522	48.713	283.25	32.116	243.216	48.807	38.000	243.777	42.073	31.254	28.726
1.320	60.666	49.691	284.72	31.266	30.251	243.644	49.707	38.732	34.554	42.753	31.772
1.340	61.813	50.672	285.589	31.219	30.776	244.366	50.612	39.470	34.554	43.506	32.306
1.360	62.943	51.56	286.49	31.261	31.306	244.880	51.521	40.213	34.554	44.106	32.847
1.380	64.116	52.45	287.83	31.328	31.888	245.888	52.454	41.090	34.554	44.990	33.449
1.400	65.271	53.631	288.10	31.327	32.807	248.889	53.381	41.711	35.721	45.016	34.554
1.420	66.427	54.621	289.34	31.327	32.807	249.054	54.327	42.266	35.847	45.016	34.554
1.440	67.579	55.614	290.42	31.327	32.807	249.265	55.195	43.226	35.847	45.016	34.554
1.460	68.738	56.609	291.42	31.410	34.018	246.876	56.128	43.990	35.847	45.016	34.554
1.480	69.911	57.600	291.33	34.613	34.598	247.930	57.062	44.796	36.847	46.556	35.543
1.500	71.078	58.600	292.14	47.517	35.046	248.312	57.099	45.526	36.847	47.073	36.077
1.520	72.236	59.600	292.88	48.222	35.384	248.770	58.042	46.804	37.014	47.771	36.135
1.540	73.417	61.615	293.28	48.928	36.124	249.241	59.088	47.164	37.169	48.370	36.195
1.560	74.590	61.621	294.41	49.638	36.965	249.695	61.035	47.966	35.235	51.490	36.197
1.580	76.767	62.631	294.51	50.444	37.207	249.147	61.792	48.655	35.235	52.238	36.197
1.600	78.944	63.710	295.01	51.053	37.780	250.592	62.765	49.405	35.513	53.961	36.676
1.620	80.123	64.663	296.83	51.163	38.293	251.043	63.700	50.442	36.237	54.071	37.206
1.640	80.303	65.668	297.15	51.215	38.637	251.420	64.675	51.029	36.434	54.179	37.304
1.660	80.496	66.582	297.32	51.334	39.482	251.840	65.643	51.841	36.830	54.382	37.506
1.680	81.679	67.312	297.57	51.335	39.985	252.229	66.614	52.668	35.673	54.333	37.428
1.700	82.856	68.721	298.93	54.069	37.751	67.389	53.855	46.452	36.717	54.099	36.985
1.720	84.043	69.742	301.77	53.533	41.023	253.169	55.567	43.019	36.197	54.007	36.589
1.740	85.231	70.764	301.63	56.039	41.572	253.882	60.590	55.083	36.335	54.516	36.890

1730

(Continued)

T	Carbon Dioxide, CO ₂ (R ₀ = -9.5520 kJ/kmol)			Carbon Monoxide, CO (R ₀ = -11.0530 kJ/kmol)			Water Vapor, H ₂ O (R ₀ = -24.130 kJ/kmol)			Oxygen, O ₂ (R ₀ = 0 kJ/kmol)			Nitrogen, N ₂ (R ₀ = 0 kJ/kmol)		
	T	\bar{n}	\bar{u}	\bar{p}	T	\bar{n}	\bar{u}	T	\bar{n}	\bar{u}	T	\bar{n}	\bar{u}	\bar{p}	
1760	96.420	71.737	301.543	567.356	52.129	253.991	55.042	288.151	50.000	44.247	263.661	50.227	41.994	247.396	1760
1780	87.612	728.12	30.2271	57.477	52.073	254.386	54.825	288.078	50.024	44.825	262.833	50.313	42.139	247.798	1780
1800	88.900	739.40	30.2586	58.101	43.225	254.797	52.513	289.262	60.371	45.045	267.011	57.651	42.665	248.195	1800
1820	90.000	748.68	30.3544	58.910	44.331	255.184	57.507	289.311	61.118	45.936	43.231	268.399	51.920	43.231	1820
1840	91.186	758.97	30.4198	59.620	44.531	255.576	74.306	289.357	61.896	46.568	265.521	59.075	43.777	268.079	1840
1860	92.364	769.29	30.4645	60.345	44.666	255.976	74.306	290.098	62.016	47.151	265.925	59.290	44.234	268.365	1860
1880	93.593	779.62	30.5157	61.052	45.441	256.386	74.306	290.480	62.395	47.734	265.126	60.804	44.973	268.768	1880
1900	94.793	789.96	30.6132	61.7104	45.997	256.793	74.311	291.261	63.119	48.677	61.220	55.423	50.128	1900	
1920	95.995	800.31	30.6251	62.386	46.527	257.122	75.327	291.949	63.988	49.204	61.158	55.975	50.502	1920	
1940	97.197	810.67	301.754	63.238	47.108	257.497	75.340	293.022	65.020	49.790	61.699	56.575	50.940	1940	
1960	98.401	821.05	307.992	63.901	47.665	257.868	80.393	293.542	66.374	50.370	62.545	57.075	51.252	1960	
1980	99.606	831.44	308.064	64.634	48.231	258.266	81.573	294.011	67.127	50.865	62.675	57.490	51.690	1980	
2000	100.804	841.85	309.210	65.408	48.780	258.640	82.593	294.485	67.881	51.283	63.090	58.161	52.000	2000	
2020	103.835	861.79	310.701	67.234	50.179	259.494	85.106	295.838	69.772	52.727	66.538	66.612	54.937	2020	
2100	106.964	884.04	312.600	69.044	51.384	260.370	87.785	297.081	71.668	54.208	71.018	68.417	58.957	2100	
2150	110.086	902.73	313.589	70.646	52.088	261.226	90.381	298.301	72.551	55.947	73.139	69.576	59.758	2150	
2200	112.999	946.89	314.988	72.638	54.386	262.065	92.948	299.500	75.849	57.192	72.278	72.940	63.349	2200	
2250	115.964	972.77	316.556	74.562	56.887	262.887	77.655	299.703	77.397	58.285	74.149	75.422	64.290	2250	
2300	119.035	999.12	317.995	76.345	57.222	263.692	96.199	300.109	77.189	59.116	76.076	75.533	57.027	2300	
2350	22.091	1025.52	31.9011	81.386	58.400	264.490	78.760	300.572	81.243	59.381	76.946	75.956	57.056	2350	
2400	125.152	108.097	320.012	810.15	60.000	265.285	103.306	301.356	83.455	70.048	83.174	76.562	59.366	2400	
2450	128.219	107.590	321.066	81.852	61.462	266.012	106.183	301.841	84.045	70.464	84.42	76.979	59.852	2450	
2500	131.366	109.904	322.066	83.002	62.446	266.795	106.896	302.405	84.605	70.897	86.271	77.017	60.198	2500	
2550	134.966	113.066	323.066	85.537	64.335	267.486	111.565	303.064	87.345	72.456	87.486	78.261	61.415	2550	
2600	137.449	115.832	325.222	87.385	65.296	268.202	114.723	303.495	87.956	73.177	88.562	79.434	62.590	2600	
2650	140.539	118.500	326.936	89.230	67.197	268.945	116.991	304.098	94.098	79.441	92.916	80.888	63.688	2650	
2700	143.620	211.172	327.549	91.077	68.628	269.596	119.717	304.597	94.289	79.481	74.33	81.219	63.926	2700	
2750	146.713	231.869	328.684	92.930	70.166	270.285	122.483	305.196	94.559	80.464	90.852	75.947	65.577	2750	
2800	149.808	26.259	329.000	94.244	71.394	270.943	125.198	305.743	101.917	82.453	95.826	75.546	66.241	2800	
2850	152.908	29.212	330.96	96.639	72.345	271.602	127.952	306.256	104.266	83.429	101.988	77.112	28.237	2850	
2900	156.000	31.398	331.975	98.495	74.383	272.249	130.717	306.965	106.045	84.390	104.203	78.593	26.538	2900	
2950	159.112	34.580	333.986	100.342	76.473	272.884	133.489	307.598	108.049	85.388	104.783	79.125	26.028	2950	
3000	162.229	37.588	334.984	102.210	77.267	273.486	136.286	308.211	111.221	86.277	106.780	80.644	26.500	3000	
3100	165.341	39.682	335.514	104.407	78.713	274.123	138.126	308.942	113.562	86.945	108.260	77.742	26.444	3100	
3150	168.450	42.661	336.326	105.639	80.165	274.730	141.566	309.612	116.022	88.010	109.713	78.341	26.847	3150	
3200	171.576	45.385	337.724	107.020	81.612	275.326	144.668	309.990	96.011	86.675	109.792	80.762	26.641	3200	
3250	177.822	54.050	338.109	109.667	83.060	275.914	147.057	310.651	280.884	114.939	88.210	86.830	26.196	3250	
3300	177.820	54.050	339.069	111.534	84.513	276.494	150.277	313.280	280.756	116.837	89.004	26.714	3300		

Source: Table 202 is available for IAPAC Thermal Database, Issue 2003, Vol. 1, Part 1.

Table A-23 is available for IAPAC Thermal Database, Issue 2003, Vol. 1, Part 1.

Table A-23

Lampiran VI: Tabel A25 Thermodynamics

TABLE A-25 Thermochemical Properties of Selected Substances at 298K and 1 atm

Substance	Formula	Molar Mass, <i>M</i> (kg/kmol)	Enthalpy of Formation, \bar{H}_f° (kJ/kmol)	Gibbs Function of Formation, \bar{G}_f° (kJ/kmol)	Absolute Entropy, S° (kJ/kmol · K)	Heating Values	
						Higher, HHV (kJ/kg)	Lower, LHV (kJ/kg)
Carbon	C(s)	12.01	0	0	5.74	32,770	32,770
Hydrogen	H(g)	2.016	0	0	130.57	141,780	119,990
Nitrogen	N ₂ (g)	28.01	0	0	191.50	—	—
Oxygen	O ₂ (g)	32.00	0	0	205.03	—	—
Carbon monoxide	CO(g)	28.01	-110,530	-157,150	197.54	—	—
Carbon dioxide	CO ₂ (g)	44.01	-393,320	-394,380	213.69	—	—
Water	H ₂ O(l)	18.02	-241,420	-228,990	188.72	—	—
Water	H ₂ O(g)	18.02	-285,830	-237,180	69.98	—	—
Hydrogen peroxide	H ₂ O ₂ (g)	34.02	-136,310	-105,600	232.63	—	—
Ammonia	NH ₃ (g)	17.03	-46,390	-46,390	192.33	—	—
Oxygen	O(g)	16.00	249,170	231,770	160.95	—	—
Hydrogen	H(g)	1.008	238,000	203,200	114.61	—	—
Nitrogen	N(g)	14.01	472,680	455,510	153.19	—	—
Hydroxyl	OH(g)	17.01	39,460	34,280	183.75	—	—
Methane	CH ₄ (g)	16.04	-74,850	-50,790	186.16	45,510	50,020
Acetylene	C ₂ H ₂ (g)	26.04	226,730	209,170	200.85	49,910	48,220
Ethylene	C ₂ H ₄ (g)	28.05	52,280	68,120	219.83	56,300	47,160
Ethane	C ₂ H ₆ (g)	30.07	-84,680	-32,890	229.49	51,870	47,490
Propylene	C ₃ H ₆ (g)	42.08	20,410	62,720	266.94	48,920	45,780
Propane	C ₃ H ₈ (g)	44.09	-103,850	-23,490	269.91	58,350	46,360
Butane	C ₄ H ₁₀ (g)	56.12	-126,150	-15,710	310.03	49,500	45,720
Pentane	C ₅ H ₁₂ (g)	72.15	-146,440	-8,200	348.40	49,010	45,250
Octane	C ₈ H ₁₈ (g)	114.22	-208,450	17,320	463.67	48,260	44,790
Octane	C ₈ H ₁₈ (l)	114.22	-249,910	6,610	360.79	47,900	44,630
Benzene	C ₆ H ₆ (g)	78.11	82,930	129,660	269.20	42,270	40,580
Methyl alcohol	CH ₃ OH(g)	32.04	-200,890	-162,140	239.70	23,850	21,110
Methyl alcohol	CH ₃ OH(l)	32.04	-238,810	-166,290	126.80	22,670	19,920
Ethyl alcohol	C ₂ H ₅ OH(g)	46.07	-235,310	-168,570	282.59	30,590	27,720
Ethyl alcohol	C ₂ H ₅ OH(l)	46.07	-277,690	-174,690	160.70	29,670	26,800

Source: Based on JANAF Thermochemical Tables, NBSNS-NBS-IT, 1971; Selected Values of Chemical Thermodynamic Properties, NBS Tech. Note 270-3, 1968; and API Research Project 44, Carnegie Press, 1953. Heating values calculated.

Lampiran VII: Tabel Low Heating Value

tps

Appendix 1 30

2. Which components do you take into account when you estimate the heating value of a gas?

Please give the value and the corresponding unit for the heating value you use for these components. The source of the data, if available, can be entered as a number referring to the source reference list below the tables.

Component	H ₂	CO	CH ₄	C ₂ H ₆	C ₃ H ₈	C ₄ H ₁₀
HHV	141878	10110	55534	51909	50328	49945
LHV	119484	10110	49815	47413	47150	48214
Unit	kJ/kg	kJ/kg	kJ/kg	kJ/kg	kJ/kg	kJ/kg
Data source #	1	1	1	1	1	1

Component	C ₂ H ₆	C ₃ H ₈	CH ₃ OH	1-C ₂ H ₅	1-C ₃ H ₇	n-C ₄ H ₁₀
HHV	50378	48849			48556	
LHV	46290	45736			45679	
Unit	kJ/kg	kJ/kg	kJ/kg	kJ/kg	kJ/kg	kJ/kg
Data source #	1	1			1	

Component	C ₂ H ₆	CH ₃ C ₂ H ₅	(CH ₃) ₂ C ₂ H ₅	C ₃ H ₈	CH ₃ C ₃ H ₇	C ₄ H ₉ OH
HHV	42293	42875		40826		33256
LHV	40582	40918		39420		31819
Unit	kJ/kg	kJ/kg	kJ/kg	kJ/kg	kJ/kg	kJ/kg
Data source #	1	1		1		1

Component	BTX	tar	light tar	heavy tar	black tar	Carbon
HHV			40826	47194		
LHV			39420	43811		
Unit	kJ/kg	kJ/kg	kJ/kg	kJ/kg	kJ/kg	kJ/kg
Data source #						

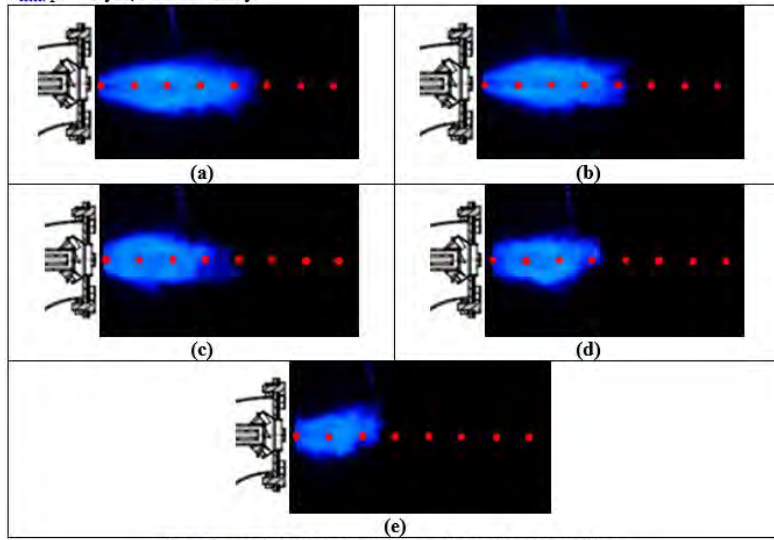
Component	NH ₃	H ₂ S	NO	N ₂ O	H ₂ S	CO ₂	CS ₂	S _i
HHV	22497	24880			16524	9142		1388
LHV	19528	23848			15201	9142		771
Unit	kJ/kg	kJ/kg			kJ/kg	kJ/kg		kJ/kg
Data source #	1	1			1	1		1

List of references

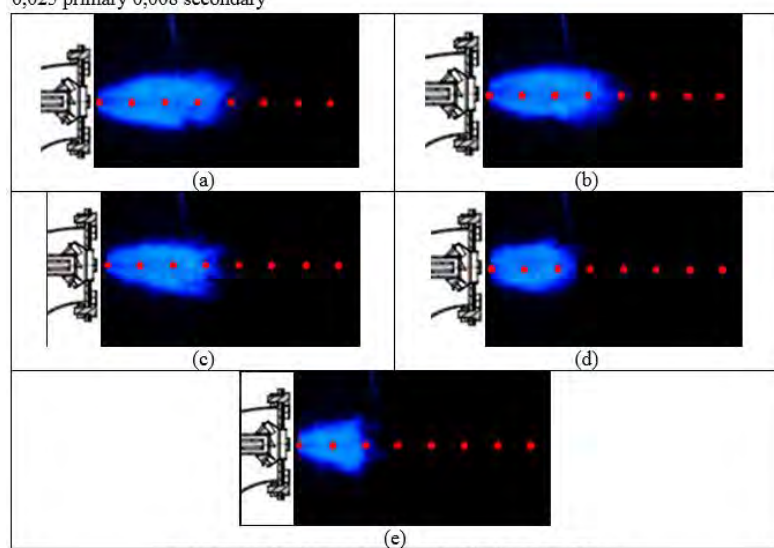
Data source # 1	Perry, Green, Maloney: Perry's Chemical Engineers' Handbook 6 th Ed. New York, McGraw-Hill Book Company (1984)
Data source # 2	
Data source # 3	
Data source # 4	
Data source # 5	

Lampiran VIII: Visualisasi Nyala Api

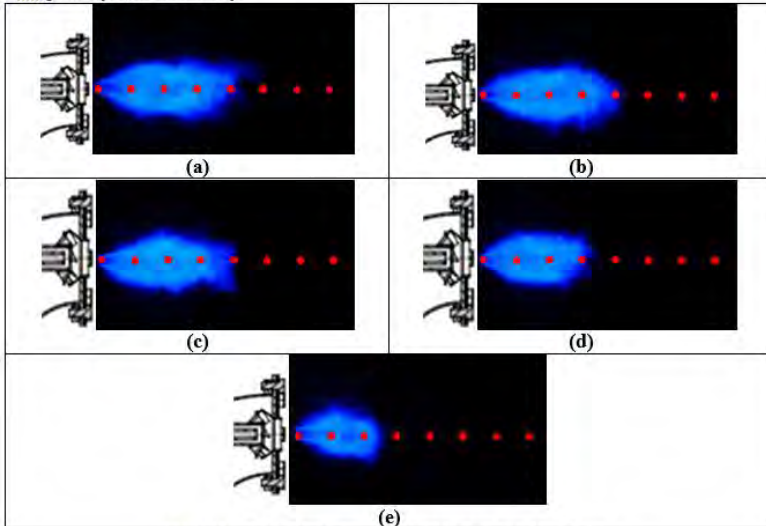
0,03 primary 0,008 secondary



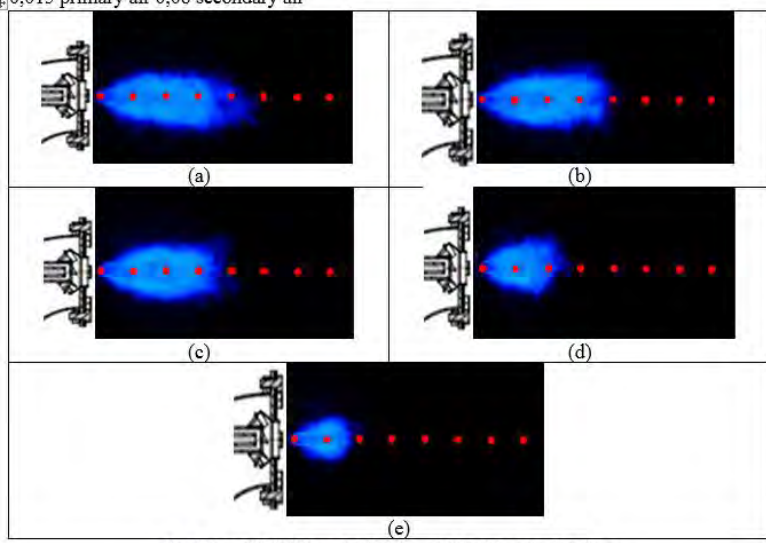
0,025 primary 0,008 secondary



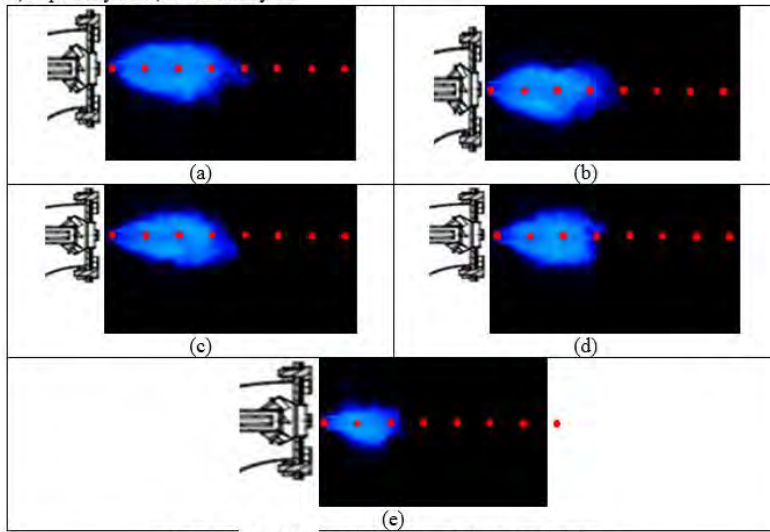
0,02 primary 0,08 secondary



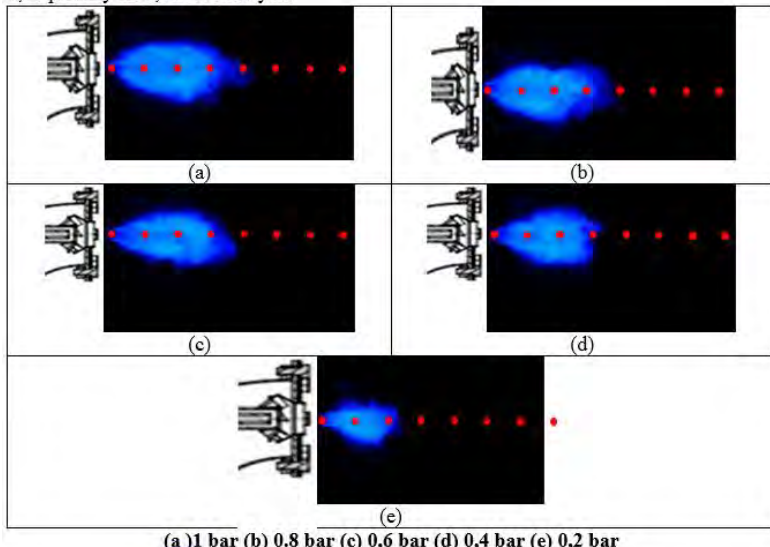
0,015 primary air 0,08 secondary air



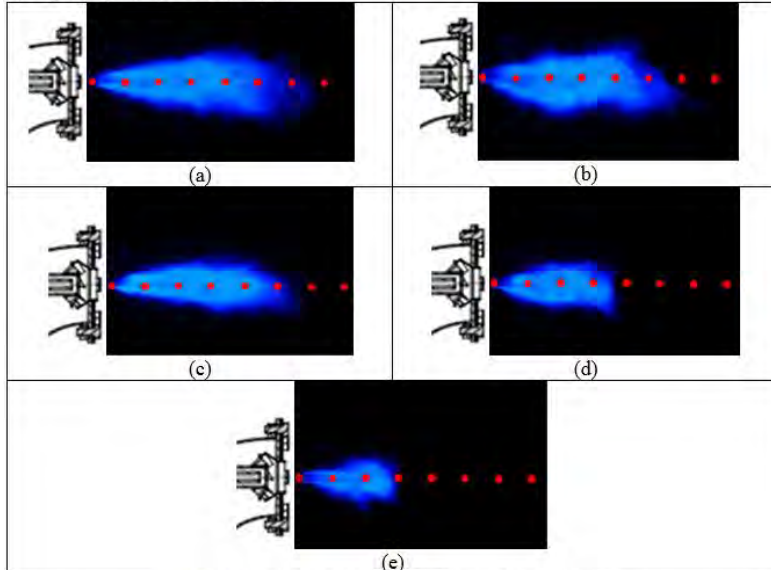
0,01 primary air 0,08 secondary air



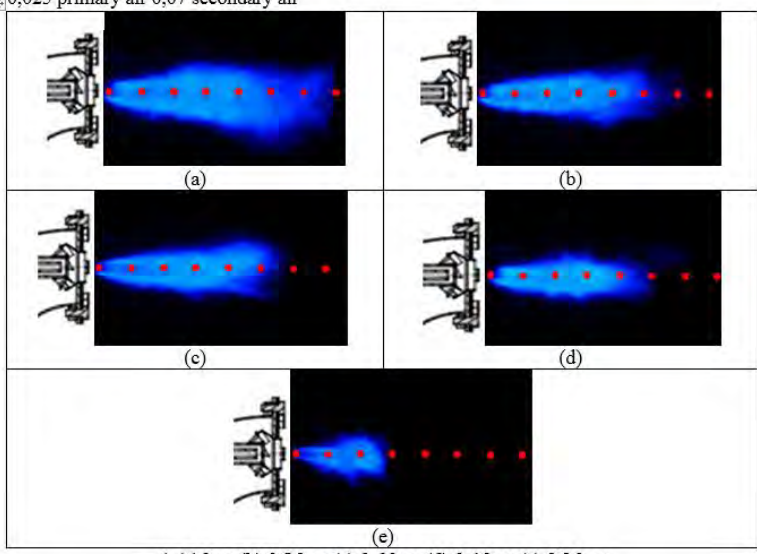
0,01 primary air 0,08 secondary air



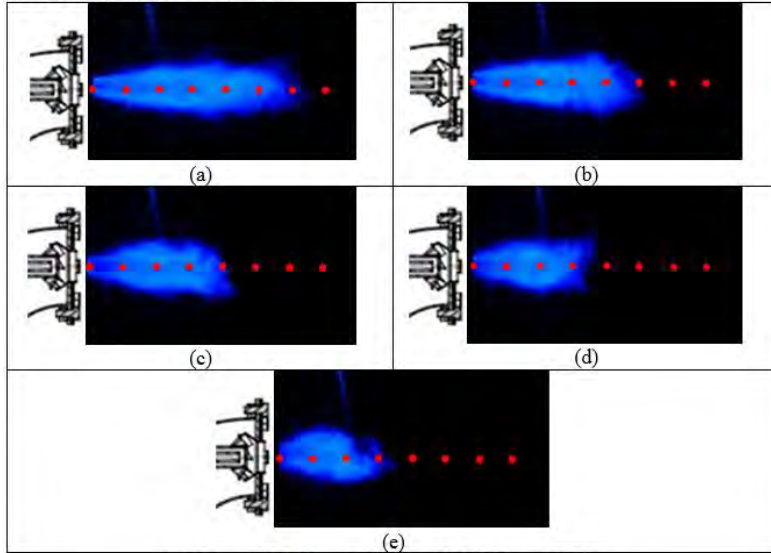
0,03 primary air 0,07 secondary air



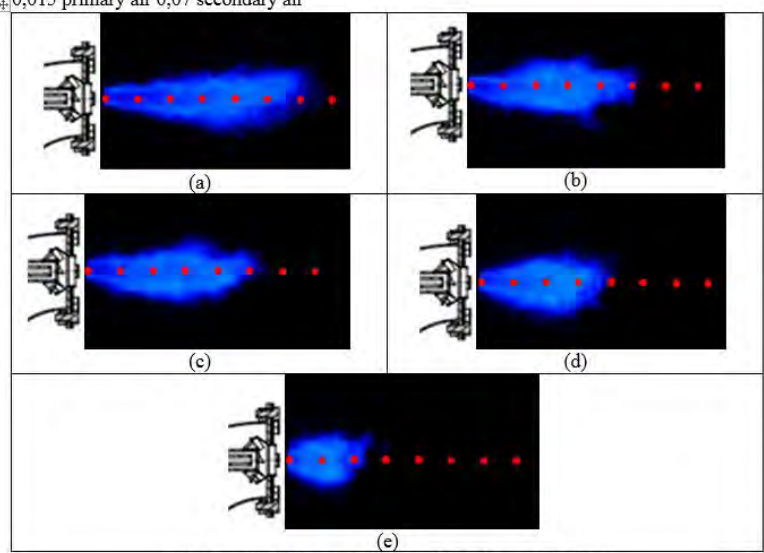
0,025 primary air 0,07 secondary air



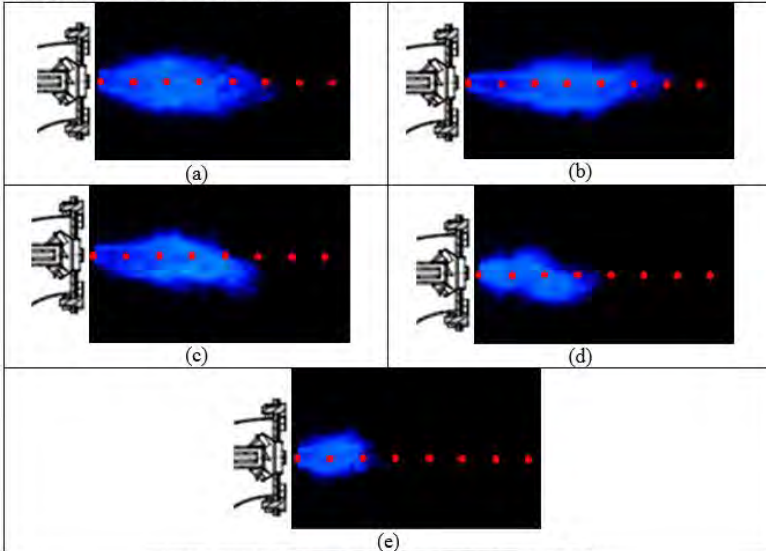
0,02 primary air 0,07 secondary air



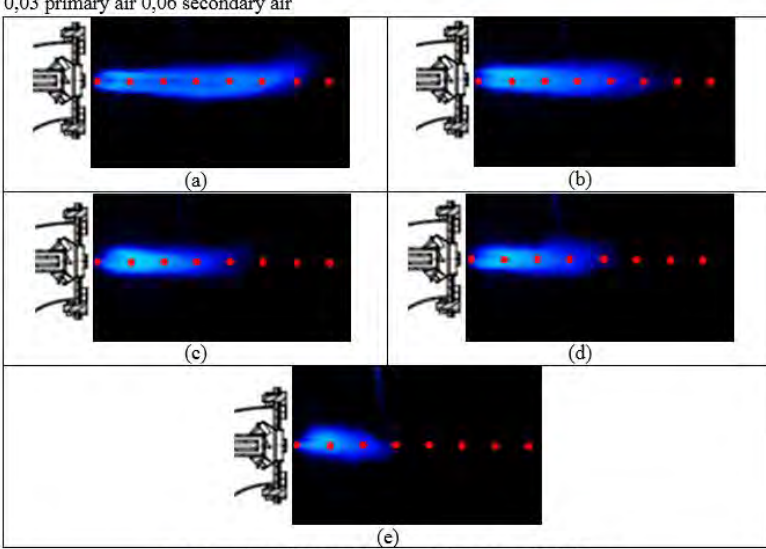
0,015 primary air 0,07 secondary air



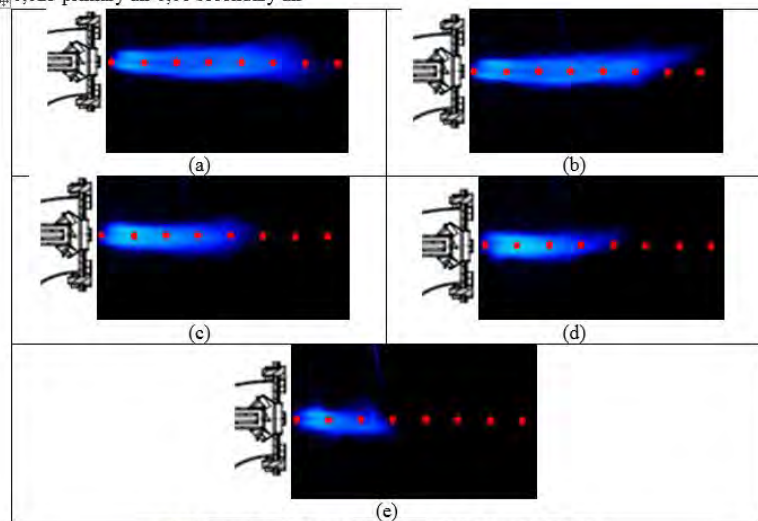
0,01 primary air 0,07 secondary air



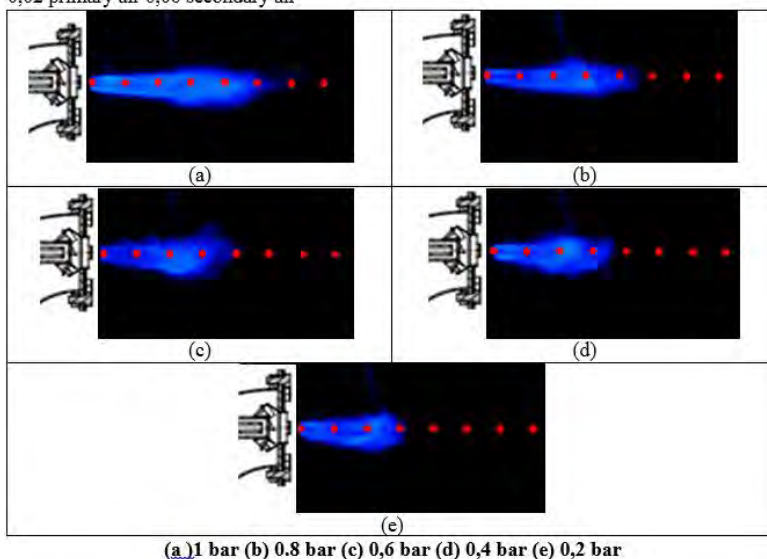
0,03 primary air 0,06 secondary air



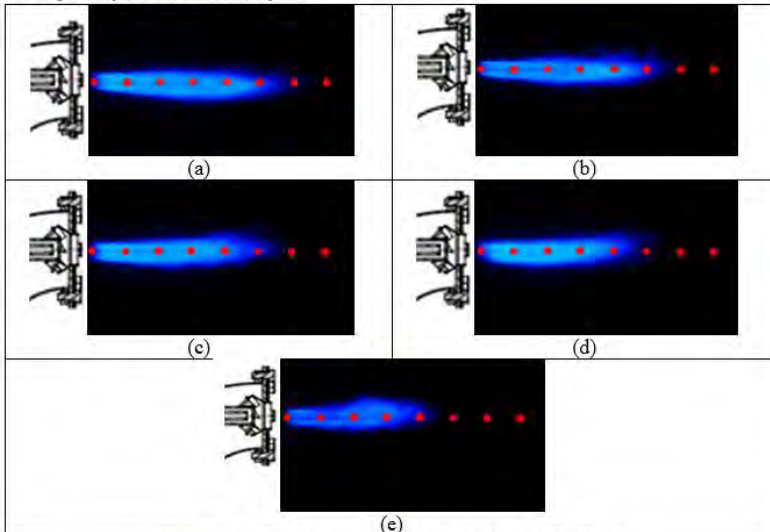
0,025 primary air 0,06 secondary air



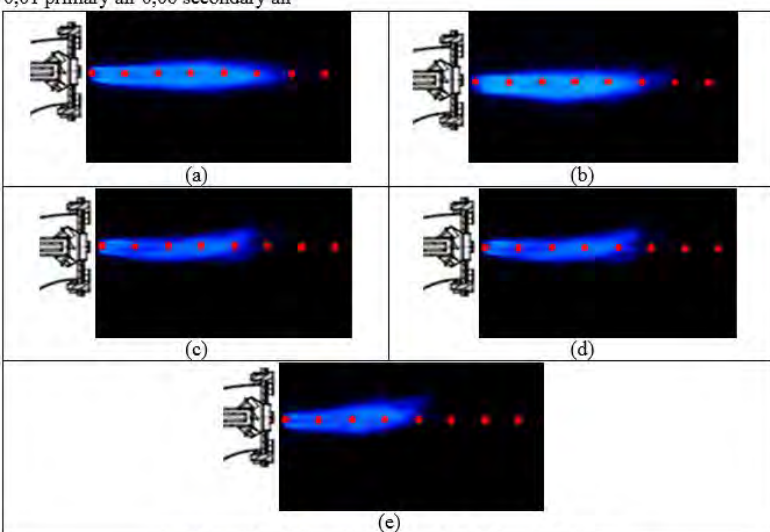
0,02 primary air 0,06 secondary air



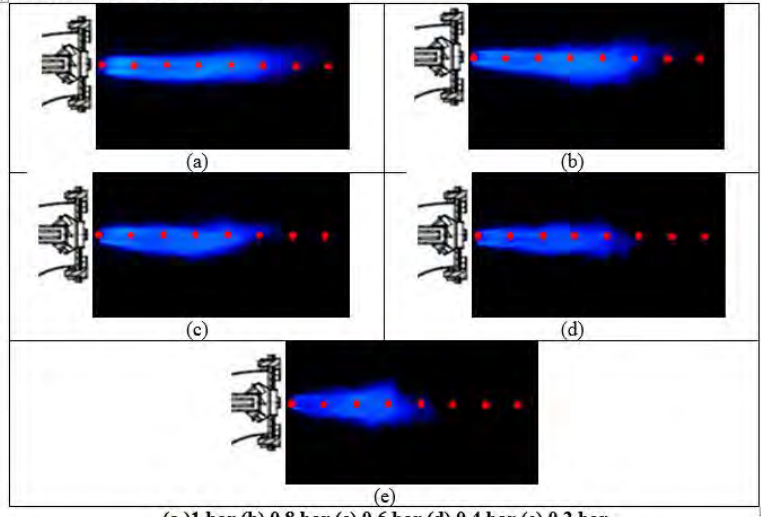
0,015 primary air 0,06 secondary air



0,01 primary air 0,06 secondary air

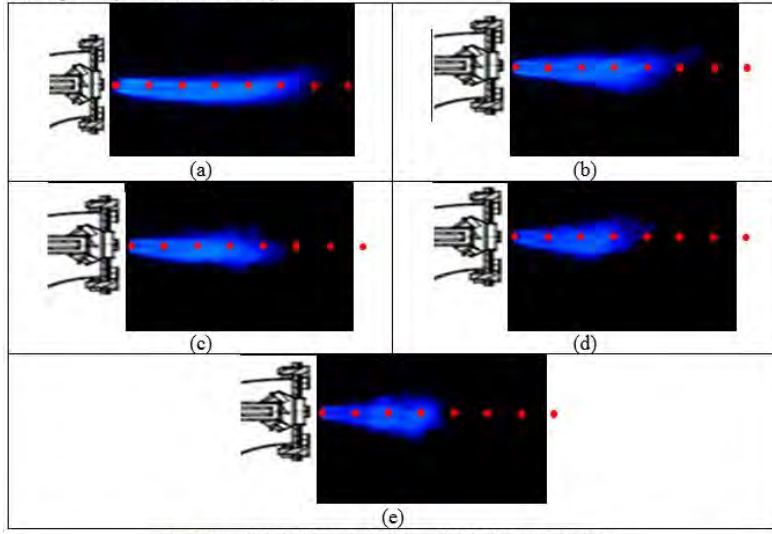


\pm 0,03 primary air 0,05 secondary air



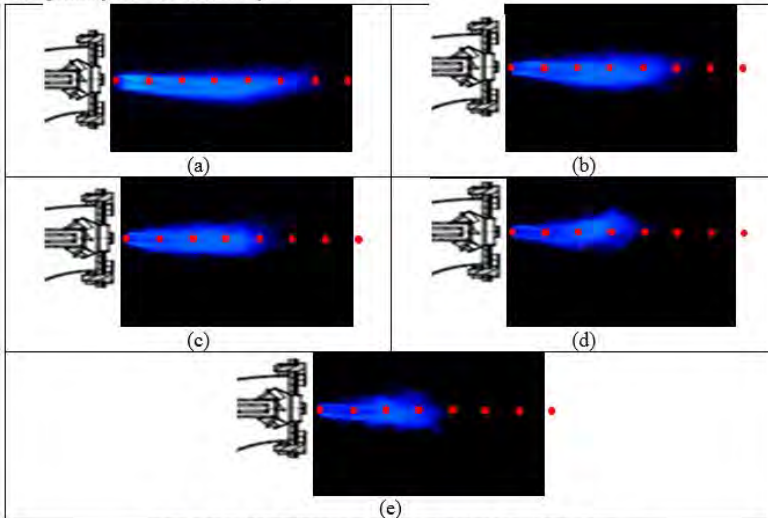
(a) 1 bar (b) 0.8 bar (c) 0,6 bar (d) 0,4 bar (e) 0,2 bar

0,025 primary air 0,05 secondary air

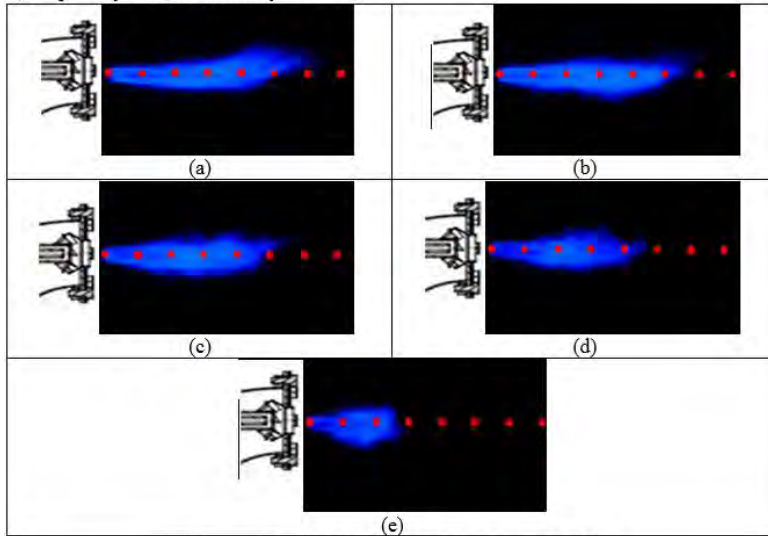


(a) 1 bar (b) 0.8 bar (c) 0,6 bar (d) 0,4 bar (e) 0,2 bar

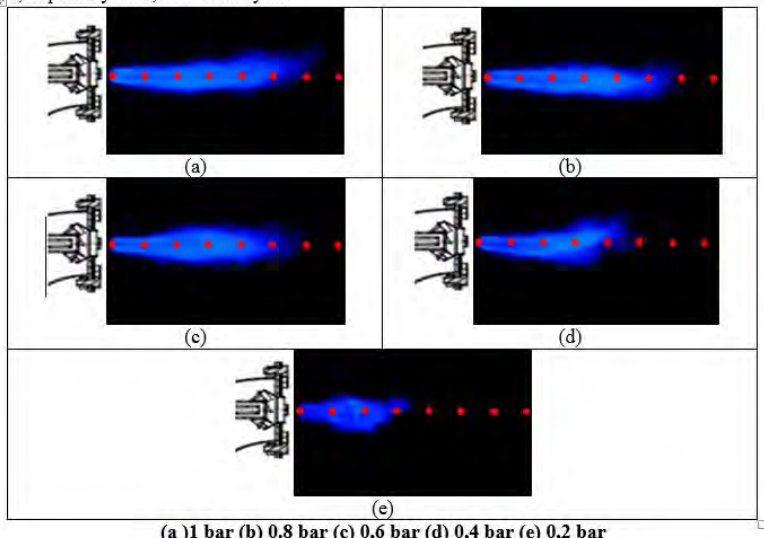
0,02 primary air 0,05 secondary air



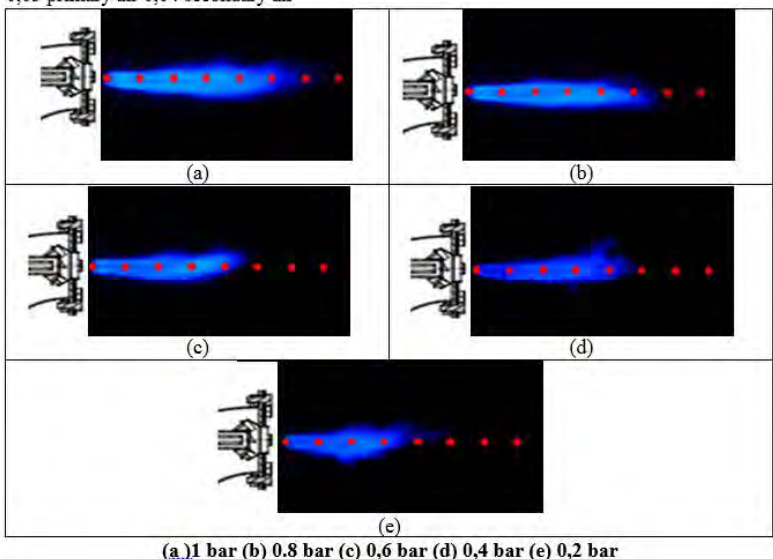
0,015 primary air 0,05 secondary air



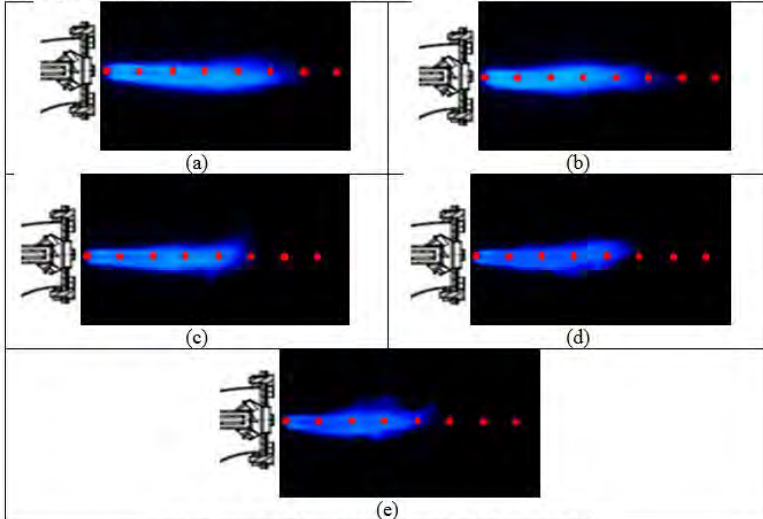
\pm 0,01 primary air 0,05 secondary air



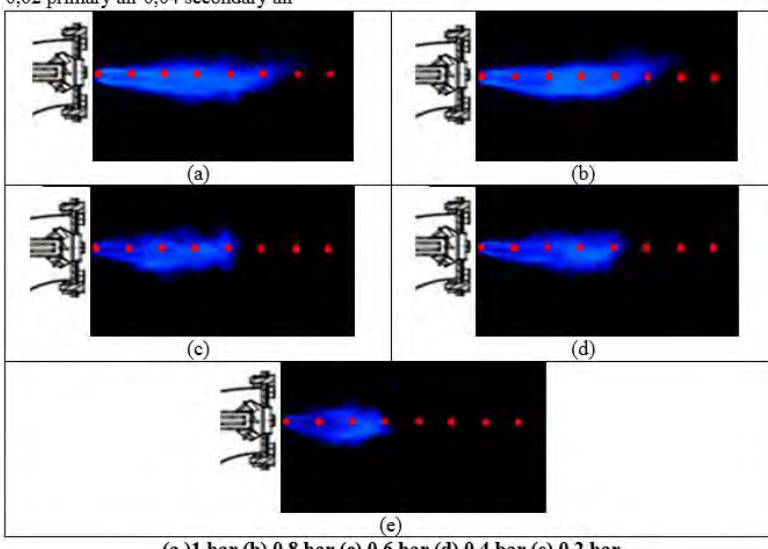
0,03 primary air 0,04 secondary air



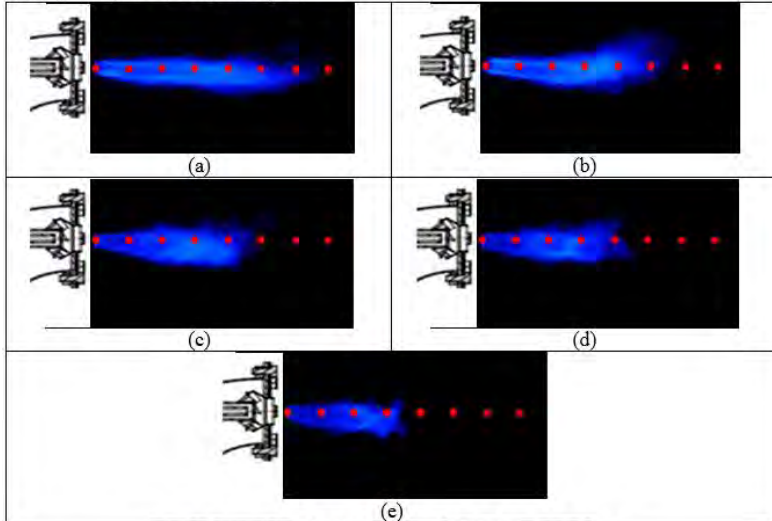
0,025 primary air 0,04 secondary air



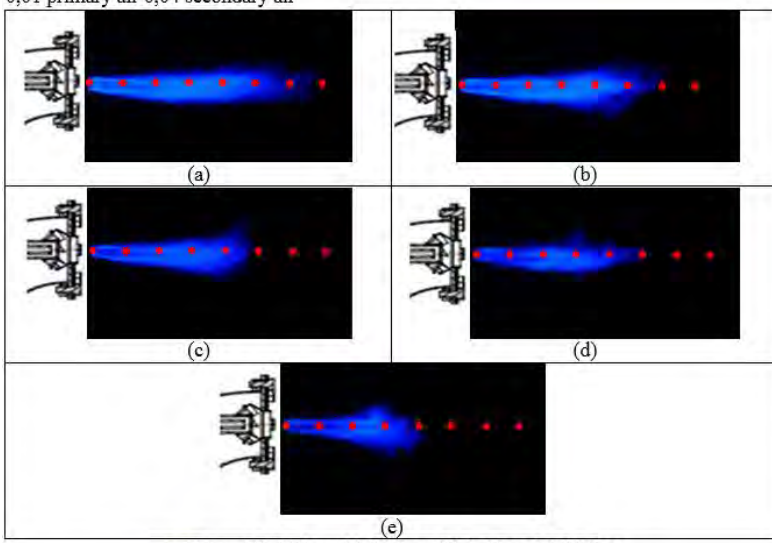
0,02 primary air 0,04 secondary air



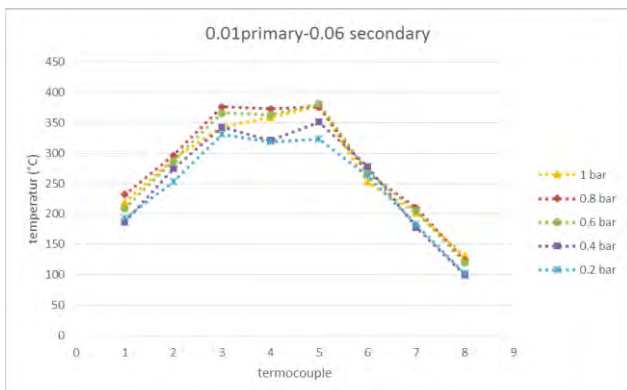
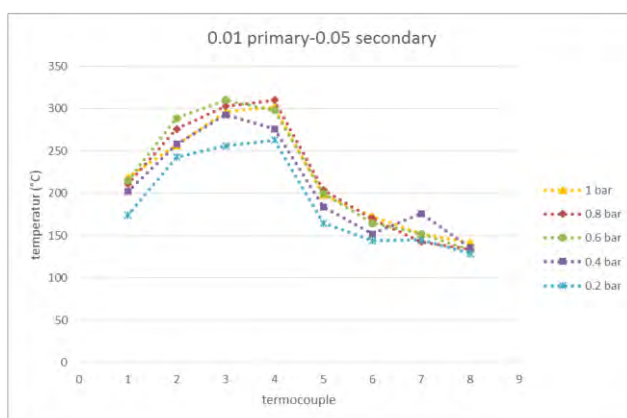
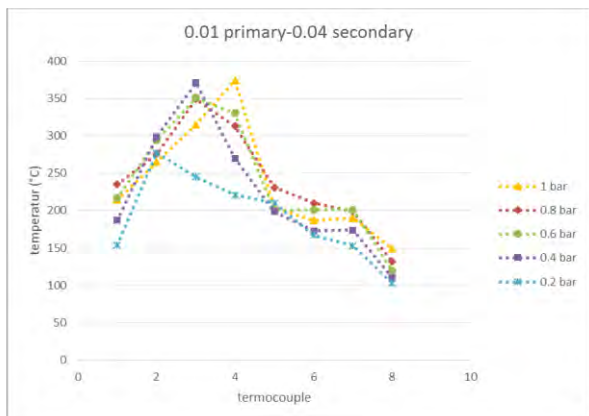
0,015 primary air 0,04 secondary air

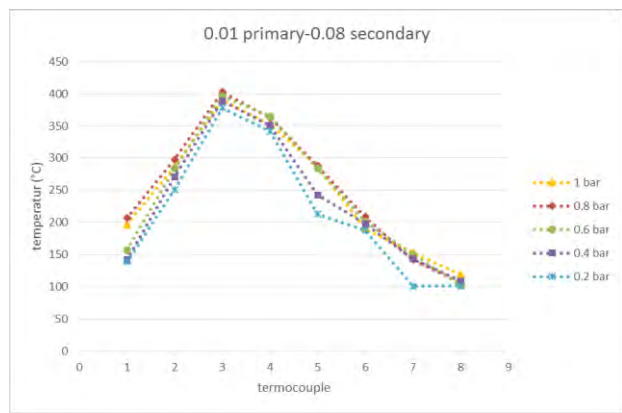
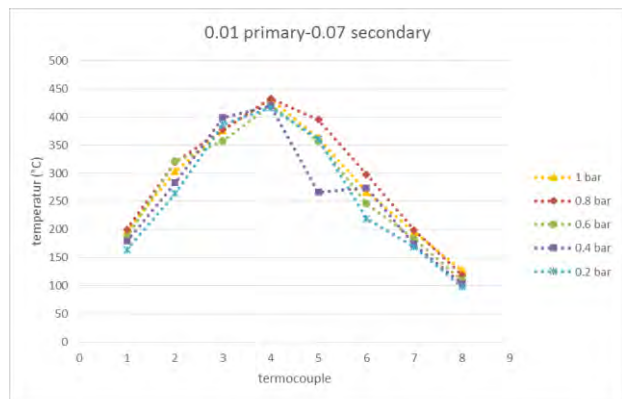


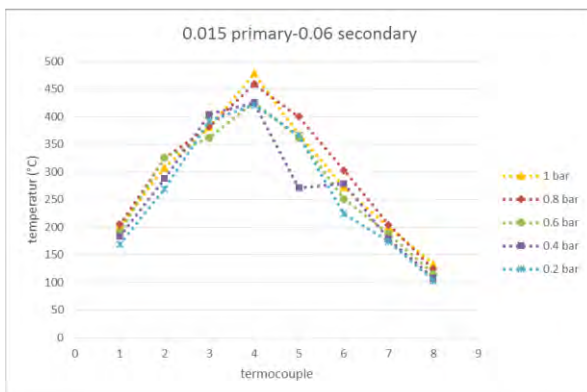
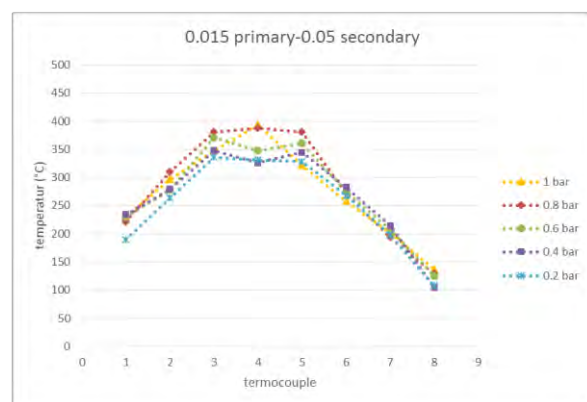
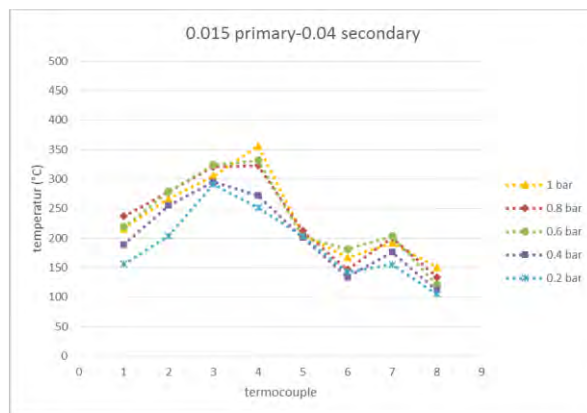
0,01 primary air 0,04 secondary air

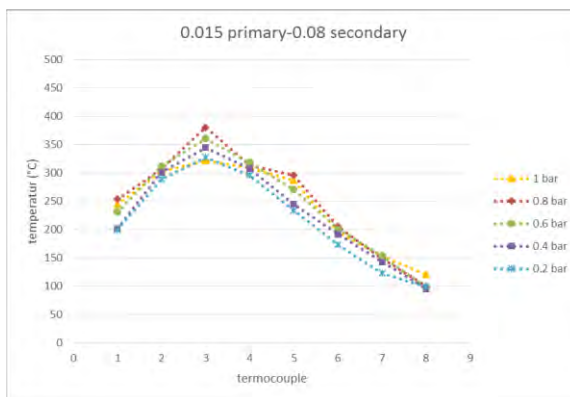
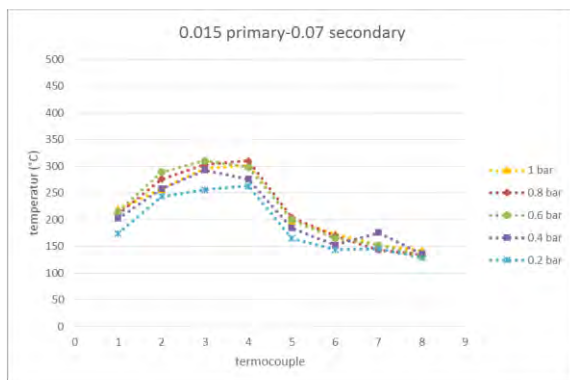


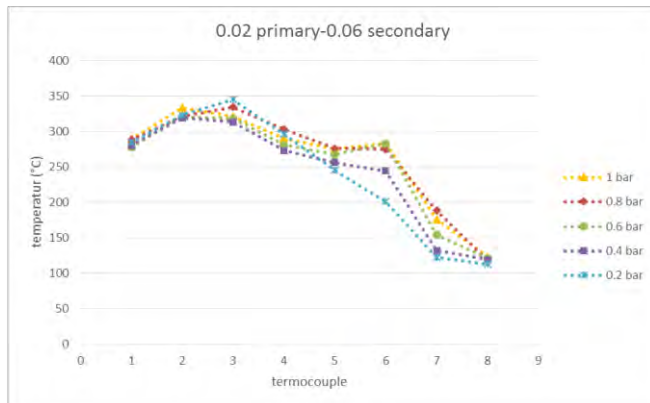
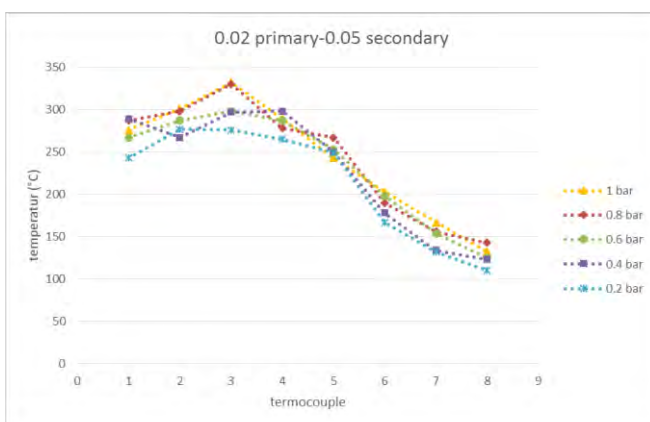
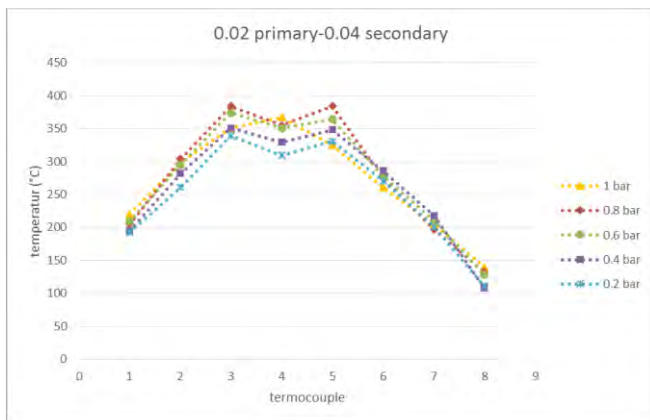
Lampiran IX: Grafik temperatur burner

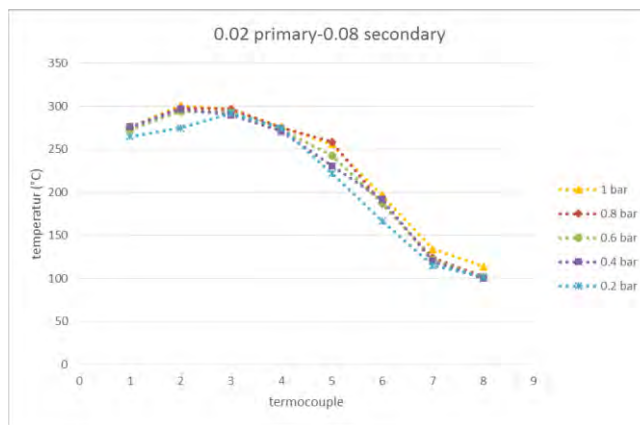
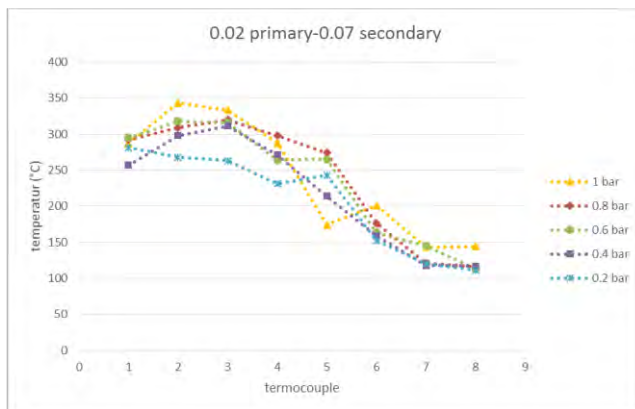


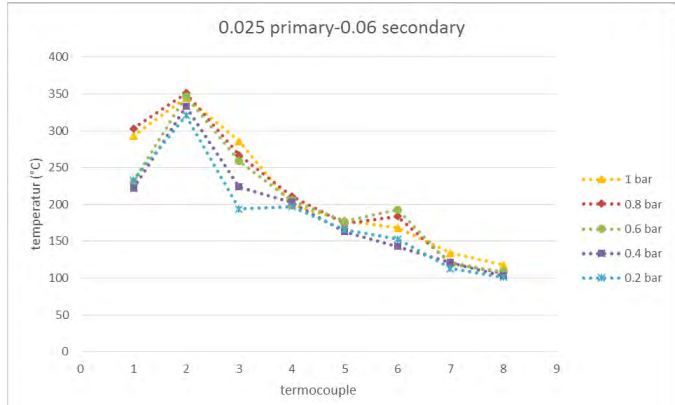
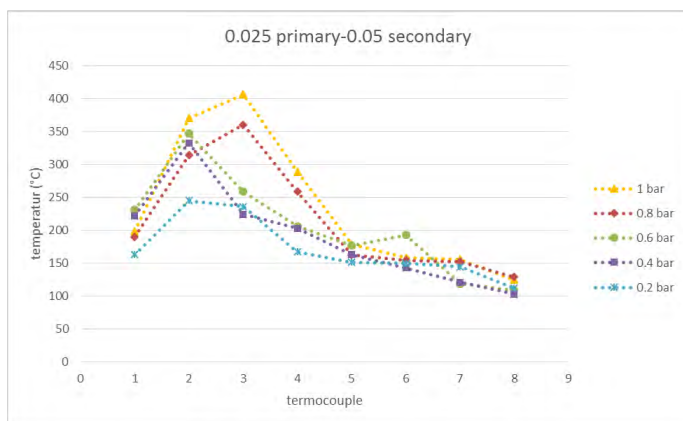
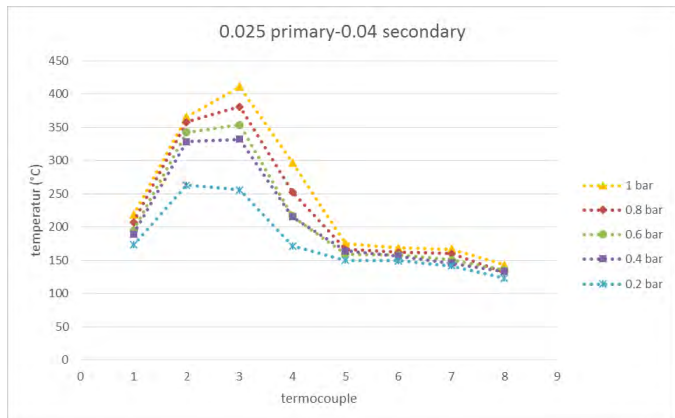


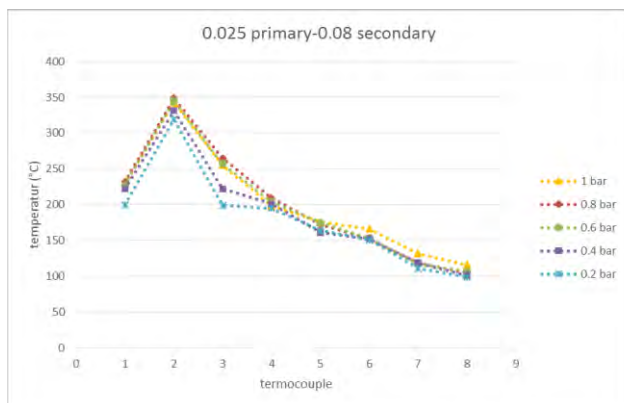
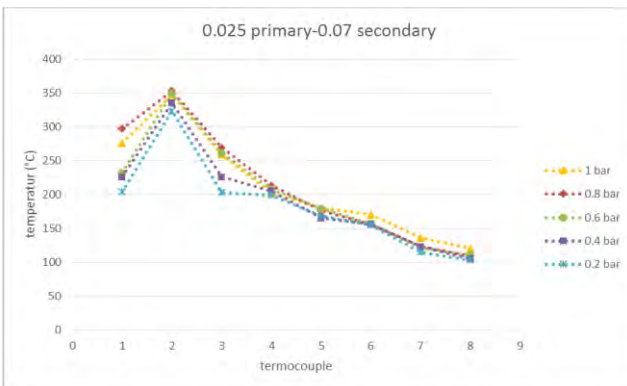


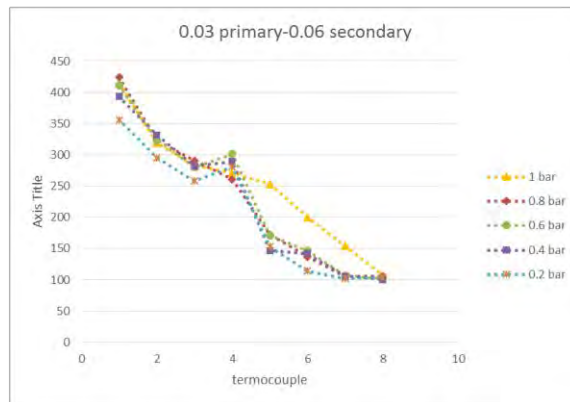
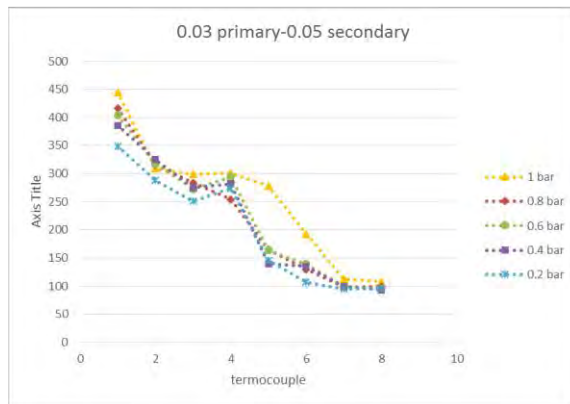
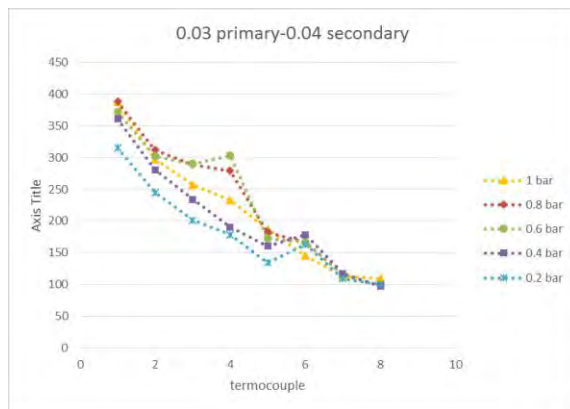


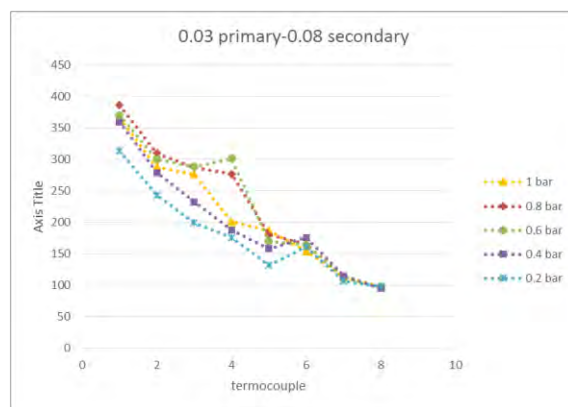
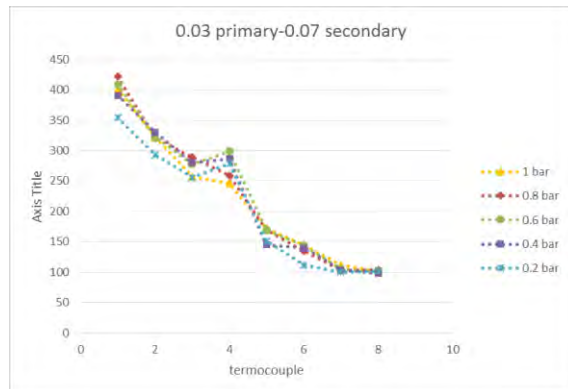




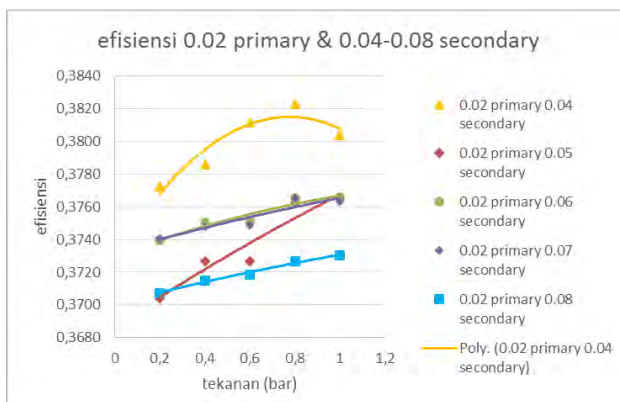
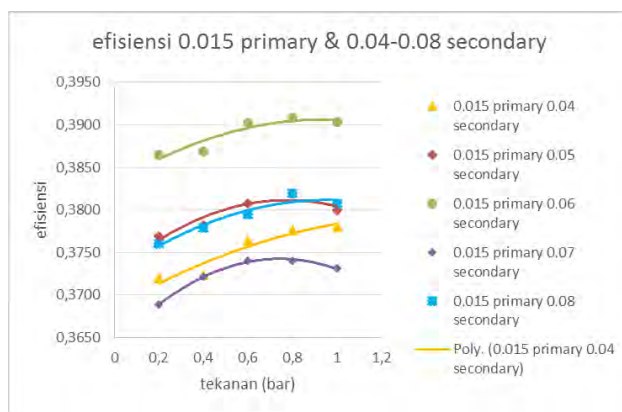
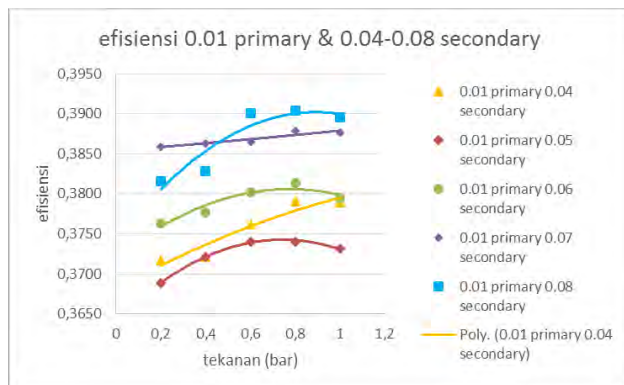




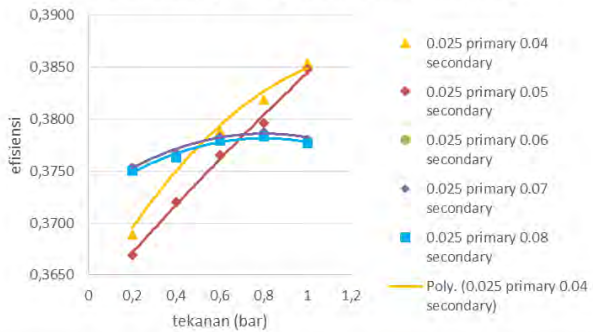




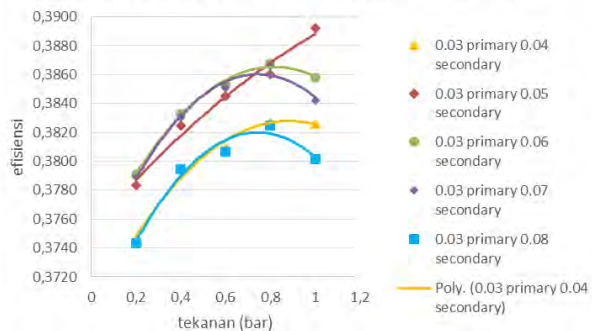
Lampiran X: Grafik efisiensi tiap burner



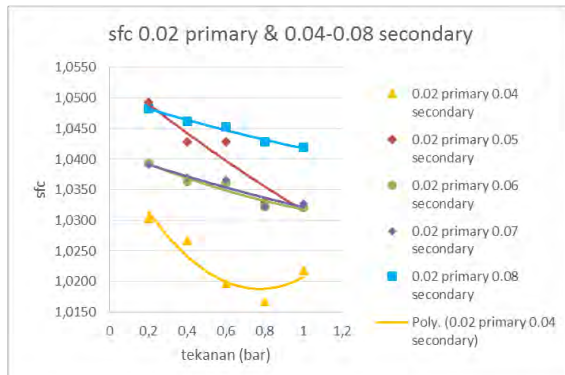
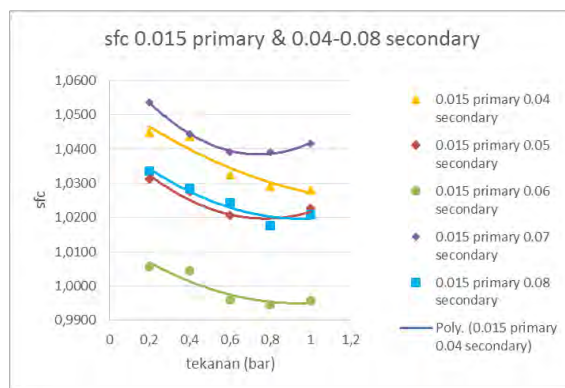
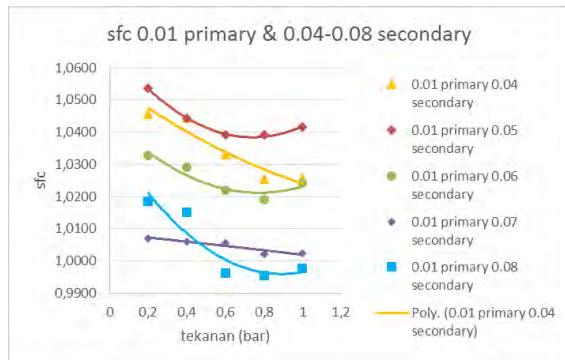
efisiensi 0.025 primary & 0.04-0.08 secondary



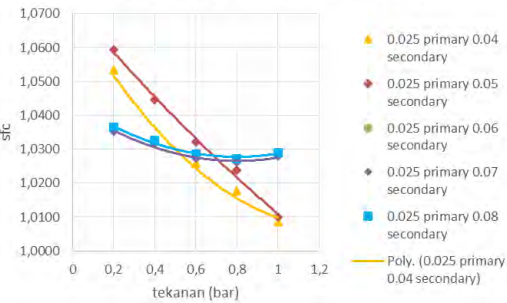
efisiensi 0.03 primary & 0.04-0.08 secondary



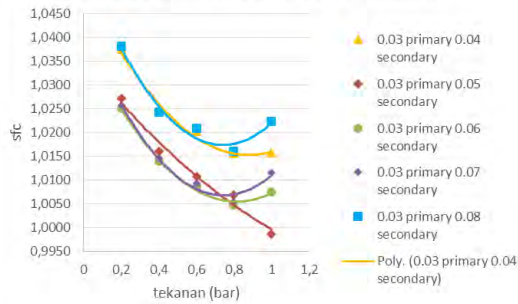
Lampiran XI: Grafik sfc tiap burner



sfc 0.025 primary & 0.04-0.08 secondary



sfc 0.03 primary & 0.04-0.08 secondary



BIOGRAFI PENULIS



Berikut data diri penulis bernama Fitria Rachmawati, lahir di Nganjuk tanggal 4 April 1993, putri dari pasangan Bapak Drs. Moch. Syahroji dan Ibu Dra. Endang Iriani. Penulis merupakan anak pertama dari dua bersaudara. Jenjang pendidikan yang pernah di tempuh adalah SDN Penjaringan Sari I/271 Surabaya, SMP Negeri 23 Surabaya dan SMA Negeri 14 Surabaya.

Pada tahun 2013 penulis lulus dari Program D3 Teknik Mesin, Fakultas Teknologi Industri, ITS Surabaya. Kemudian penulis melanjutkan perkuliahan lintas jalur Jurusan S1 Teknik Mesin, Fakultas Teknologi Industri, ITS Surabaya tahun 2013. Penulis mengambil bidang keahlian Konversi Energi dan mengambil Tugas Akhir dibidang Teknik Pembakaran dan Bahan Bakar, yaitu - Karakterisasi Unjuk Kerja *Burner Gas Type Partially Premixed* Berbahan Bakar *Syngas Biomassa Serbuk Kayu Dengan Variasi Primary Dan Secondary Air*.

Selain itu penulis juga aktif di bidang keorganisasian di Himpunan Mahasiswa D3 Teknik Mesin, Fakultas Teknologi Industri - ITS. Di Himpunan Mahasiswa D3 Teknik Mesin penulis mendapat amanah sebagai Anggota Departemen Pengembangan Sumber Daya Mahasiswa 2011-2012 dan aktif dalam Laboratorium Teknik Pembakaran dan Bahan bakar 2014 – 2016 di Jurusan S1 Teknik Mesin, ITS.

Semoga laporan Tugas Akhir penelitian ini bermanfaat bagi banyak masyarakat sekitar akan pentingnya sumber energi terbarukan, semoga dengan ini ilmu yang kita tempuh semoga bermanfaat seterusnya, mohon maaf apabila ada salah kata dalam penulisan laporan penelitian tugas akhir ini. Salam.

Alamat email : fitriar.rachmawati105@gmail.com